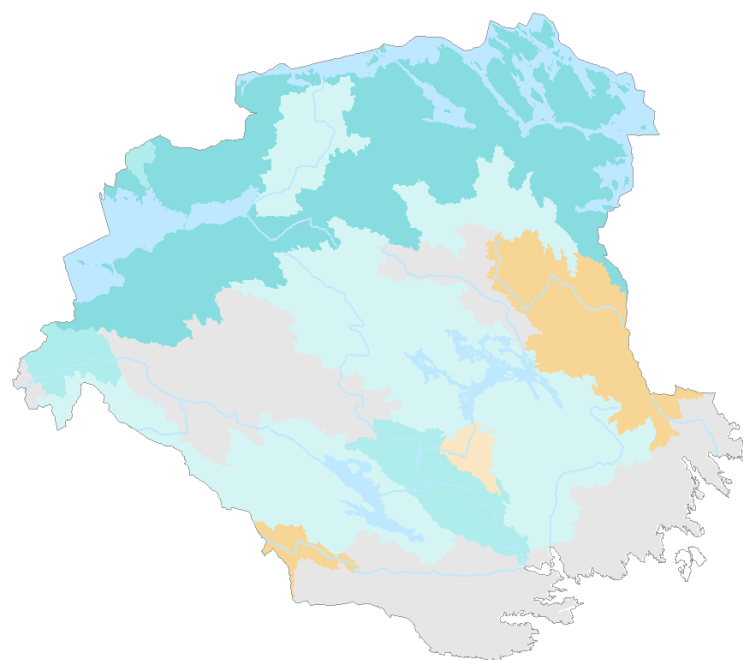


# **Framtidsklimat i Södermanlands län**

– enligt RCP-scenarier

Magnus Asp, Steve Berggreen-Clausen, Gitte Berglöv, Emil Björck, Anna Johnell, Jenny Axén Mårtensson, Linda Nylén, Alexandra Ohlsson, Håkan Persson, Elin Sjökvist



Pärbilden visar antal dagar då tillrinningen är lägre än medelvärdet av årets lägsta tillrinning för perioden 2069-2098, jämfört med 1963-1992 med RCP4.5.

**KLIMATOLOGI Nr 22, 2015**

## **Framtidsklimat i Södermanlands län**

– enligt RCP-scenarier

Magnus Asp, Steve Berggreen-Clausen, Gitte Berglöt, Emil Björck, Anna Johnell, Jenny Axén Mårtensson, Linda Nylén, Alexandra Ohlsson, Håkan Persson, Elin Sjökvist



## **Sammanfattning**

Hur klimatet i Södermanlands län utvecklas beror på hur användningen av fossila bränslen blir i framtiden, dvs. hur mycket mängden växthusgaser ökar i atmosfären. Rapporten beskriver dagens och framtidens klimat i Södermanlands län baserat på observationer och beräkningar utifrån två olika utvecklingsvägar, begränsade utsläpp (RCP4.5) respektive höga utsläpp (RCP8.5).

Geografiskt detaljerade klimatdata har framtagits och använts för hydrologisk modellering. Resultaten beskrivs i form av olika klimatindex, dvs. medelvärden, säsongsvariationer och mer extrema förhållanden, baserade på statistiska bearbetningar av modelldata.

Uppvärmningen för Södermanlands län beräknas till ca 3 grader enligt RCP4.5 och ca 5 grader enligt RCP8.5 till slutet av seklet. Störst uppvärmning sker vintertid med upp mot 6 grader enligt RCP8.5. Vegetationsperioden ökar med upp till 100 dagar och antalet varma dagar blir fler. RCP8.5 visar ett årsmedelvärde på drygt 20 dagar i följd med dygnsmedeltemperaturer på över 20°C i slutet av seklet.

Årsmedelnederbördens ökar med 15-25 %. Nederbördens ökar mest under vinter och vår, upp till 30 %. Den kraftiga nederbördens ökar också, maximal dygnsnederbörd kan öka med 20-30 % och 1-timmesnederbördens upp till 35 %.

För länet beräknas en ökning av den totala årsmedeltillrinningen för Nyköpingså, Kolsnaren och Varbo med ca 5 % i slutet av seklet. Av diagrammen framgår att Mälaren, Nyköpingså, Båven samt mynning och Kilaån uppvisar oförändrade förhållanden i slutet av seklet. Eskilstunaån och Trosaån uppvisar en svag minskning med 5-10 % beroende på scenario. Den största förändringen av tillrinningen sker för vinterperioden eftersom nederbördens ökar och vintrarna blir mildare. Ökningen är störst för Mälaren och Kilaån. Där visar RCP 8.5 på en ökning med ca 60 % och RCP4.5 på en ökning med ca 40 % i slutet av seklet. Under vår och sommar väntas minskad tillrinning i de flesta av de analyserade vattendragen. Höstperioden väntas ha minskade tillrinningar för Eskilstunaån, Trosaån och Nyköpingsåns mynning.

För tillrinning med återkomsttid 10 år är de beräknade framtida förhållandena i länet lite blandade. Mot slutet av seklet ökar 10-års tillrinning enligt RCP8.5 förutom i de sydliga delarna där den minskar. RCP4.5 visar liknande förhållanden.

Vattendragen har under referensperioden haft tydliga årstidsförlopp, med vårflödestopp. Framtidsscenarierna visar på högre vinterflöden och vårflödestopparna har förvunnit. Antalet dagar då tillrinningen är låg väntas öka. Störst är ökningen för Kilaån som ökar från 15 dagar till 40-50 dagar beroende på scenario.

## **Summary**

The report describes todays and future climate in Södermanland County based on observations and climate modelling. Regional modelled RCP4.5 and RCP8.5 scenarios have been further downscaled to  $4 \times 4 \text{ km}^2$  resolution. The results are presented as meteorological and hydrological indices based on statistically processed model data.



## Ordlista

<b>Avrinningsområde</b>	Det landområde från vilket nederbördens förr eller senare kommer ut som vatten i vattendraget vid en angiven plats.
<b>DBS-metoden</b>	"Distribution Based Scaling" är ett verktyg för att korrigera klimatmodellernas utdata så att de kan användas som indata till hydrologisk modellering. Med DBS-skalering fås en högre rumslig upplösning av data.
<b>Flöde</b>	Här avses vattenflöde dvs. hur mycket vatten som rinner i vattendragen.
<b>Global klimatmodell (GCM)</b>	På engelska "Global Circulation Model" eller "Global Climate Model". En global klimatmodell beskriver hela jordklotet och de processer som sker i atmosfären, havet, havsisen och marken.
<b>Gridbox</b>	I en klimatmodell delas atmosfären upp i tredimensionella lådor, så kallade gridboxar. I varje gridbox räknas alla klimatologiska variabler ut som beskriver klimatet i den boxen.
<b>HBV</b>	En hydrologisk modell som beräknar markfuktighet, snöackumulation, snösmältning, avdunstning och avrinning/tillrinning samt beskriver vattnets väg i avrinningsområdet.
<b>IPCC</b>	Intergovernmental Panel on Climate Change. Även benämnd FN:s klimatpanel.
<b>Klimatindex</b>	Bearbetade utdata från klimatmodeller. De kan beskriva medelvärden, säsongsvariationer men också mer extrema förhållanden.
<b>Klimatscenario</b>	En beskrivning av en tänkbar klimatutveckling i framtiden med hjälp av antaganden om framtida utsläpp av växthusgaser, en global och en regional klimatmodell.
<b>Osäkerhet</b>	Det finns olika källor till osäkerheter i frågan om framtidens klimat. Den största osäkerheten ligger i hur mycket växthusgaser människan kommer släppa ut i framtiden. Det finns även osäkerheter i klimatmodellerna, t.ex. beroende på begränsad upplösning i både tid och rum.
<b>RCA</b>	Rossby Centre Regional Climate model (RCA) är en regional klimatmodell som utvecklas och används av SMHI:s klimatforskningsenhet.
<b>RCP</b>	RCP:er är möjliga utvecklingsvägar för strålningsbalansen med det gemensamma namnet "representativa koncentrationsutvecklingsbanor" från engelskans "Representative Concentration Pathways (RCP)". RCP:erna är namngivna efter den nivå av strålningsdrivning i $\text{W/m}^2$ som uppnås år 2100. RCP-scenarier låg till grund för IPCC:s rapport 2013.
<b>Referensperiod</b>	SMHI använder referensperioden 1961-1990 för att definiera dagens klimat. Nya observationer jämförs med medelvärdet för 1961-1990 för att säga hur de avviker från det normala. Meteorologiska världsorganisationen, WMO, definierar referensperioderna och nästa period blir 1991-2020.
<b>Regional klimatmodell (RCM)</b>	Beskriver klimatet för en del av jordklotet, en region. En regional klimatmodell använder alltid indata från en global klimatmodell.
<b>SRES</b>	Scenarier som beskriver framtida utsläpp av växthusgaser, baserade på antaganden om den framtida utvecklingen av världen. SRES-scenarier användes i de beräkningar av

	framtidens klimat som låg till grund för arbetet med IPCC:s rapporter från år 2000 och 2007. SRES= Special Report on Emission Scenarios.
<b>Strålningsdrivning</b>	Strålningsdrivningen är skillnaden mellan hur mycket energi solstrålningen som träffar jorden innehåller och hur mycket energi som jorden strålar ut i rymden igen. Denna energi mäts i enheten watt per kvadratmeter, W/m <sup>2</sup> . Strålningsdrivningen ökar då mängden växthusgaser ökar i atmosfären, vilket resulterar i en global ökning av temperaturen på jorden. För att studera framtida klimat finns ett antal strålningsdrivningsscenarier att utgå ifrån, se "RCP".
<b>Trend</b>	Här används begreppet som "en förändring över tid".
<b>Upplösning</b>	Upplösningen är storleken på gridboxarna i klimatmodellen. Låg upplösning (stora gridboxar) ger mindre detaljerad information, men kostar mindre datorkraft. Hög upplösning (små gridboxar) ger mer detaljerad information, men kostar mer datorkraft.
<b>Variabilitet</b>	Variabilitet är en viktig faktor inom klimatologin. Klimatet är inte bara genomsnittliga värden utan klimat kännetecknas av variationer i tid och rum som kan hänga ihop med till exempel växelverkan mellan atmosfären och havet.
<b>Växthusgaser</b>	Atmosfären som omger jorden har förmågan att bevara energin från solen så att jordytan blir varmare än vad den skulle varit om atmosfären inte fanns. Den s.k. naturliga växthuseffekten bygger på naturlig förekomst av en viss mängd vattenånga och koldioxid i atmosfären. Vattenånga och koldioxid är de viktigaste växthusgaserna. Atmosfärens sammansättning har sedan den förindustriella tiden successivt förändrats på grund av mänsklig aktivitet. De vanligaste växthusgaserna som vi människor släpper ut är koldioxid, metan, dikväveoxid (lustgas) och ozon, men även en rad industrigaser spelar roll.
<b>Återkomsttid</b>	Ett mått på hur ofta förekomsten av extrema naturliga händelser kan förväntas. Med en händelses återkomsttid menas att händelsen i genomsnitt inträffar eller överträffas en gång under denna tid. Ett värde som har en återkomsttid på 100 år uppnås eller överträffas i genomsnitt en gång på 100 år. Det innebär att sannolikheten är en (1) procent varje enskilt år. Eftersom man exponerar sig för risken under flera år blir den ackumulerade risken avsevärt större. För en konstruktion vars livslängd beräknas till 100 år blir den ackumulerade risken hela 63 % att 100-årsvärdet överskrids någon gång under 100 år. Om säkerhetsnivån väljs till 100-årsvärdet är risken att det värdet överskrids större än att det underskrids. Det är alltså troligare att konstruktionen, under sin livslängd, kommer att utsättas för förhållanden utöver den nivå som valts än att den nivån aldrig inträffar. För 10-årsvärdet är sannolikheten 65 % att det överskrids någon gång under 10 år.

## Innehållsförteckning

1	<b>INLEDNING .....</b>	1
2	<b>BAKGRUND .....</b>	1
3	<b>METOD OCH PRESENTATION .....</b>	1
3.1	Antaganden, modeller och databearbetning.....	1
3.2	Osäkerheter .....	2
3.3	Generella resultat för Sverige .....	3
3.4	Jämförelse SRES-RCP.....	3
3.5	Läsanvisningar.....	5
3.5.1	Kartor .....	5
3.5.2	Diagram .....	5
4	<b>TEMPERATUR .....</b>	7
4.1	Årsmedeltemperatur .....	7
4.2	Medeltemperatur vinter.....	9
4.3	Medeltemperatur vår .....	11
4.4	Medeltemperatur sommar .....	13
4.5	Medeltemperatur höst.....	15
4.6	Vegetationsperiodens längd .....	17
4.7	Vegetationsperiodens starttidpunkt .....	19
4.8	Värmebölja.....	21
4.9	Graddagar för uppvärmning.....	23
4.10	Graddagar för kylining.....	25
5	<b>NEDERBÖRD .....</b>	27
5.1	Årsmedelnederbörd .....	27
5.2	Medelnederbörd vinter.....	29
5.3	Medelnederbörd vår .....	31
5.4	Medelnederbörd sommar .....	33
5.5	Medelnederbörd höst.....	35
5.6	Antal dagar med mer än 10 mm nederbörd.....	37
5.7	Maximal dygnsnederbörd.....	39
5.8	Maximal 7-dygnsnederbörd.....	41
5.9	Förändring av korttidsnederbörd.....	43
6	<b>TOTAL MEDELTILLRINNING .....</b>	44
6.1	Förändrad total medeltillrinning för år och säsonger.....	44
6.2	Förändrad total 10-årstillrinning .....	51
6.3	Förändrad total 100-årstillrinning .....	53

<b>7</b>	<b>LOKAL MEDELTILLRINNING.....</b>	<b>55</b>
7.1	Förändrad lokal årsmedeltillrinning.....	55
7.2	Förändrad lokal medeltillrinning vinter .....	57
7.3	Förändrad lokal medeltillrinning vår.....	58
7.4	Förändrad lokal medeltillrinning sommar .....	59
7.5	Förändrad lokal medeltillrinning höst .....	60
7.6	Antal dagar med lågflöde .....	61
<b>8</b>	<b>TILLRINNINGENS ÅRSDYNAMIK.....</b>	<b>63</b>
<b>9</b>	<b>MARKFUKTIGHET.....</b>	<b>65</b>
<b>10</b>	<b>SLUTSATSER .....</b>	<b>67</b>
<b>11</b>	<b>TACKORD .....</b>	<b>67</b>
<b>12</b>	<b>REFERENSER .....</b>	<b>68</b>

## **1 Inledning**

Rapporten beskriver dagens och framtidens klimat i Södermanlands län baserat på observationer och beräkningar utifrån två olika antaganden om atmosfärens framtida innehåll av växthusgaser. Data från internationell klimatforskning har bearbetats för att möjliggöra analyser på lokal skala, inklusive hydrologisk modellering. Resultaten beskrivs i form av olika klimatindex, dvs. medelvärden, säsongsvariationer och mer extrema förhållanden, baserade på statistiska bearbetningar av data.

## **2 Bakgrund**

FN:s klimatpanel presenterade 2013 en ny rapport om jordens framtida klimat (IPCC, 2013). Resultaten baserades på nya möjliga utvecklingsvägar, så kallade RCP-scenarier (Representative Concentration Pathways). SMHI fick 2014 i uppdrag av regeringen att göra en enhetlig studie för Sverige baserad på dessa scenarier. Studien finansierades via det klimatanpassningsanslag som tilldelades Nationellt kunskapscentrum för klimatanpassning vid SMHI.

Arbetet resulterade i databasen SCID med statistik i form av klimatindex för Sveriges nutida och framtida klimat. Databasen, tillsammans med en rapport och beskrivande dokument, finns tillgänglig som en nedladdningstjänst på smhi.se. Rapporten ”Klimatscenarier för Sverige” beskriver metoder, resultat och osäkerheter, vilket är viktigt att ha kunskaper om vid studier av framtida klimat på läns- och kommunnivå (Sjökvist m.fl., 2015).

I regleringsbrevet för 2015 avseende klimatanpassningsanslaget gavs SMHI i uppdrag att ta fram länsvisa enhetliga klimatanalyser baserade på de nya klimatscenarierna. Den ovan nämnda databasen är utgångspunkten för analyserna i föreliggande rapport som avser Södermanlands län.

SMHI har tidigare bidragit med material till Länsstyrelsen i Södermanlands rapport ”Riskbild Södermanland. Översiktlig regional klimat- och sårbarhetsanalys – naturolyckor” (Länsstyrelsen Södermanland, 2012).

## **3 Metod och presentation**

I detta kapitel beskrivs metodiken mycket kortfattat. Mer information finns i rapporten ”Klimatscenarier för Sverige” som nämns ovan. På smhi.se finns också en ”Vägledning klimatscenarier” som stöd för användande av klimatscenarier (Persson m.fl., 2015). I Ordningslistan finns flertalet begrepp definierade.

### **3.1 Antaganden, modeller och databearbetning**

Klimatets utveckling i framtiden beror på hur atmosfären innehåll av växthusgaser förändras. För att kunna studera framtidens klimat behövs antaganden om hur utsläppen av växthusgaser kommer att bli. Det finns flera möjliga utvecklingar och vilken av dem som slår in beror på människans förmåga att begränsa utsläppen. RCP-scenarierna beskriver resultatet av utsläppen, den så kallade strålningsbalansen i atmosfären, fram till år 2100. I följande analyser används två RCP-scenarier, RCP4.5 som bygger på begränsade utsläpp, och RCP8.5 med höga utsläpp. Tabell 1 beskriver vilka antaganden som ligger till grund för scenarierna.

Forskarvärlden har fokuserat på dessa två scenarier, därmed finns det mest fullständiga underlaget för dessa i form av regionala klimatberäkningar. Det är skälet till att dessa två scenarier används i föreliggande rapport. De två scenarierna täcker in en stor variationsbredd vad avser framtidens koncentrationer av växthusgaser i atmosfären.

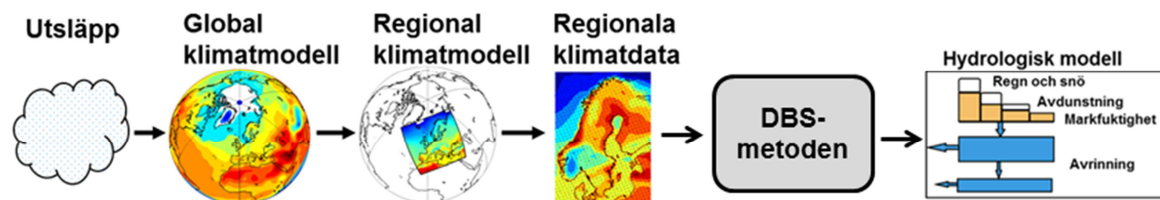
Tabell 1. Antaganden som ligger till grund för scenarierna RCP4.5 och RCP8.5.

RCP4.5	RCP8.5
<ul style="list-style-type: none"> <li>Utsläppen av koldioxid ökar något och kulminerar omkring år 2040</li> <li>Befolkningsmängd något under 9 miljarder i slutet av seklet</li> <li>Lågt arealbehov för jordbruksproduktion, bland annat till följd av större skördar och förändrade konsumtionsmönster</li> <li>Omfattande skogsplanteringsprogram</li> <li>Låg energiintensitet</li> <li>Kraftfull klimatpolitik</li> </ul>	<ul style="list-style-type: none"> <li>Koldioxidutsläppen är tre gånger dagens vid år 2100 och metanutsläppen ökar kraftigt</li> <li>Jordens befolkning ökar till 12 miljarder vilket leder till ökade anspråk på betes- och odlingsmark för jordbruksproduktion</li> <li>Teknikutvecklingen mot ökad energieffektivitet fortsätter, men långsamt</li> <li>Stort beroende av fossila bränslen</li> <li>Hög energiintensitet</li> <li>Ingen tillkommande klimatpolitik</li> </ul>

För att göra beräkningar av det framtida klimatet krävs klimatmodeller, de är matematiskt formulerade beskrivningar av de fysikaliska processerna i klimatsystemet. De globala klimatmodellerna beskriver hela jorden och de regionala beskriver mer förfinat ett delområde. Indelningen sker i så kallade gridboxar, ett 3-dimensionellt rutnät av atmosfären. Det är mycket omfattande beräkningar som sker på superdatorer.

Den globala klimatmodelleringen görs med en relativt grov upplösning, vilket betyder att storleken på rutorna vid jordytan kan vara ca  $200 \times 200 \text{ km}^2$ . Den regionala klimatmodelleringen utförs med högre upplösning, ca  $50 \times 50 \text{ km}^2$ , och ger därför mer detaljerade beräkningar. I analysen ingår nio olika globala klimatmodeller från olika institut runt om i världen. Rossby Centre vid SMHI har utfört regional modellering med den regionala klimatmodellen RCA4.

För att utföra analyser på lokal skala, exempelvis för hydrologiska beräkningar, krävs data med ännu högre geografisk upplösning. SMHI har därför utvecklat en metod, DBS (Distribution Based Scaling), för att öka upplösningen till  $4 \times 4 \text{ km}^2$ . Därefter har hydrologisk modellering utförts med HBV-modellen. Flödesberäkningar baseras på oreglerade förhållanden.



Statistik har beräknats i form av klimatindex, vilka är definierade i respektive avsnitt. Varje enskilt modellresultat har bearbetats separat men resultaten presenteras sammanlagda för RCP4.5 och RCP8.5. De index som berör temperatur och nederbörd, presenteras med  $4 \times 4 \text{ km}^2$  upplösning. De hydrologiska indexen, som berör tillrinning och markfuktighet, presenteras för avrinningsområden. Beräkningar av korttidsnederbörd (avsnitt 5.9) är utförd direkt på regional klimatdata.

## 3.2 Osäkerheter

Ett klimatscenario kräver en lång kedja av beräkningar och antaganden. Det finns alltså flera källor till osäkerheter; klimatets naturliga variationer, val av klimatmodell och framtida utsläpp av växthusgaser.

Den naturliga variationen innebär att klimatet varierar naturligt från år till år. Denna osäkerhet påverkar mest klimatscenarier för en nära framtid, eftersom klimatet inte hunnit förändras så mycket. Klimatförändringen är då svår att urskilja från den naturliga variationen i klimatet.

Alla klimatmodeller baseras på samma grundläggande kunskap om klimatsystemet och fungerar på ungefär samma sätt. Resultaten skiljer sig ändå åt beroende på att processerna i klimatsystemet kan beskrivas på olika sätt, och att fler eller färre processer inkluderas i modellerna. Ingen modell är perfekt, därfor är det bra att sammanväga resultaten från olika modeller. Det ger ett mått på hur stor betydelse olika modellbeskrivningar har för det beräknade klimatet.

Framtidens klimat beror på framtida utsläpp av växthusgaser. Ett viktigt resultat, som kan utläsas i klimatscenarierna, är att valet av RCP-scenario har mycket liten betydelse för de närmsta årtiondena. Mot mitten på seklet börjar valet av RCP-scenario växa i betydelse för klimatets utveckling.

### 3.3 Generella resultat för Sverige

I figur 1 och 2 visas översiktliga beräkningar av framtidens förändringar av temperatur och nederbörd i Sverige. Där redovisas även tidigare resultat baserade på s.k. SRES-scenarier. Skillnaderna kommenteras mer utförligt i kapitel 3.4.

Årsmedeltemperaturen beräknas öka för hela Sverige i framtiden. RCP8.5 visar generellt på störst uppvärmning (4-6 grader). RCP4.5 visar på samma mönster men en lägre uppvärmning (2-4 grader).

Nederbörden beräknas öka i framtiden. RCP8.5 visar störst förändring, särskilt i norra Sverige, där ökningen beräknats till 30-50 %. RCP4.5 visar samma förändringsmönster, men som mest 30 % ökning (i Lapplandsfjällen).

Medeltillrinningen väntas öka i hela landet utom i sydöstra Sverige, där det sker en minskning. Störst ökning sker i landets norra delar. RCP8.5 ger det mest extrema resultatet både där tillrinningen ökar och där den minskar.

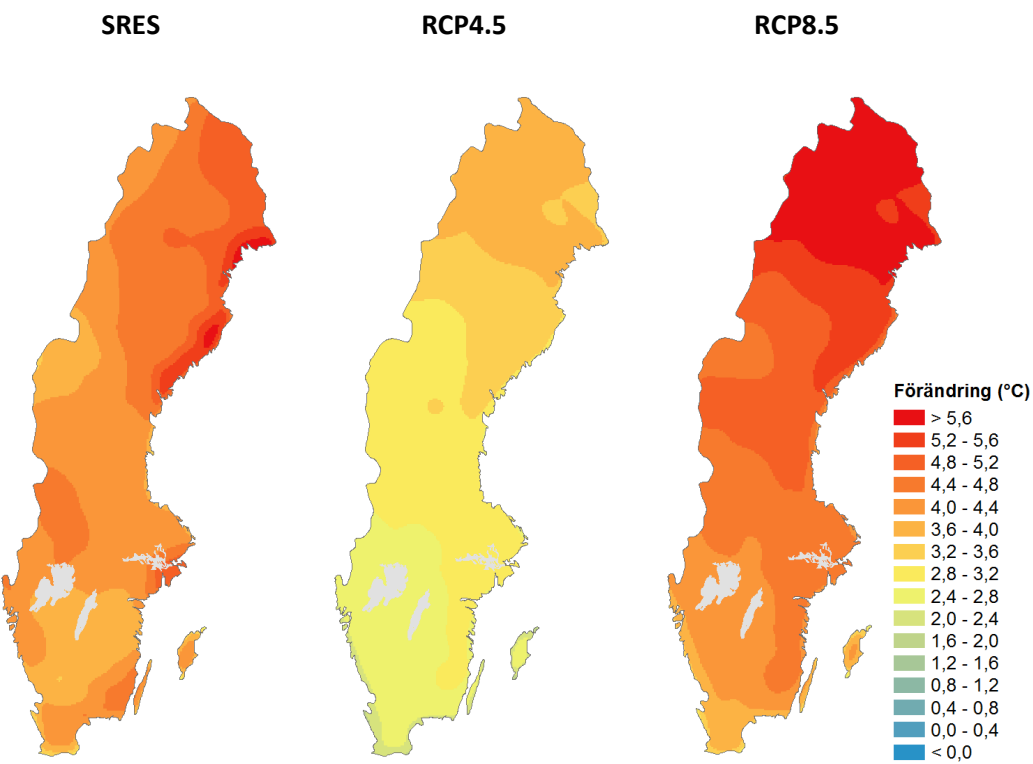
Extrema vattenflöden, redovisade som 100-årsflöden<sup>1</sup>, beräknas öka i vattendragen i södra Sverige mot slutet av seklet. I de nordliga älvarna är förändringen mindre tydlig och kan till och med medföra en minskning av de extrema flödena.

### 3.4 Jämförelse SRES-RCP

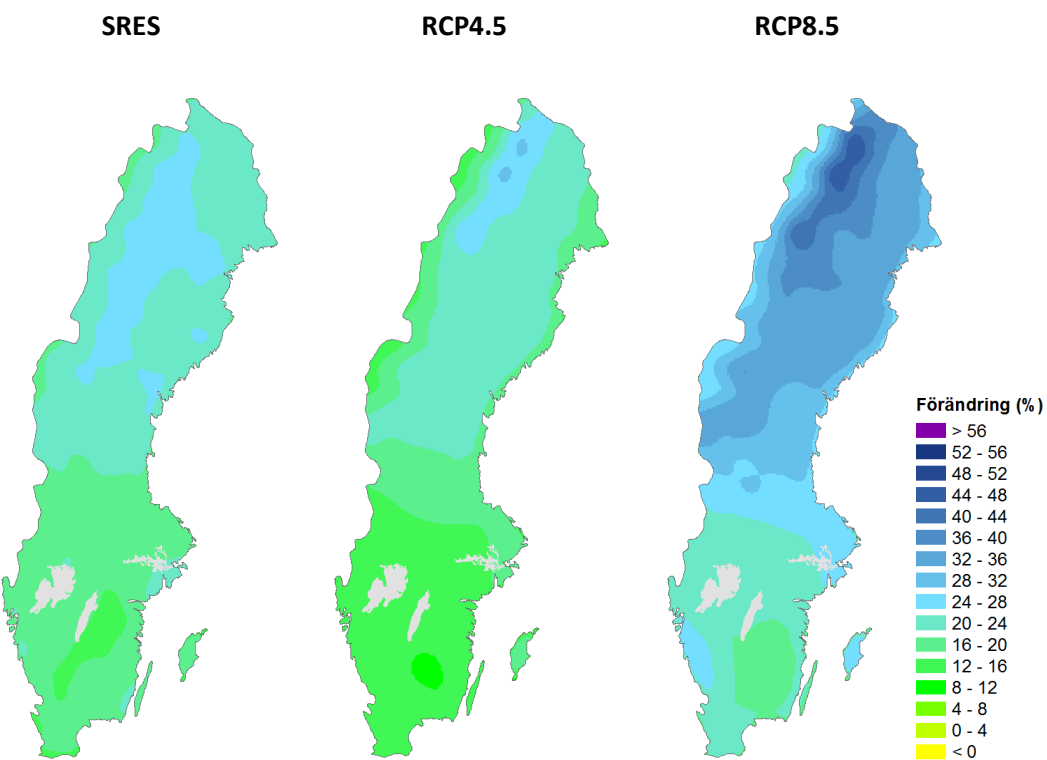
Klimatforskingen utvecklas hela tiden, nya resultat publiceras, liksom nya sätt att beskriva antaganden om framtida utsläpp. I FN:s klimatpanels tredje och fjärde stora sammanställning (IPCC, 2001 och IPCC, 2007) användes scenarierna SRES (Special Report on Emission Scenarios) (Nakićenović and Swart (eds.) 2000). I femte sammanställningen AR5 (IPCC, 2013) antogs de nya scenarierna RCP (Representative Concentration Pathways) (ICONICS, 2013).

I de tidigare länsanalyser som utförts av SMHI baseras resultaten på 16 SRES-scenarier med tyngdpunkt på utsläppsscenariot A1B. För att få en uppfattning om hur dessa skiljer sig från de nya RCP-scenarierna visas här kartor på förändringen i temperatur för perioden 2069-2098 jämfört med 1961-1990 (figur 1).

Alla scenarier visar på en tydlig uppvärmning i hela landet och störst uppvärmning i norra Sverige. SRES-scenarierna har inte lika tydlig gradient mellan norra och södra Sverige som RCP-scenarierna. Uppvärmningen är generellt något lägre än i RCP8.5, men utmärkande för SRES-scenarierna är hög uppvärmning längs kusterna, framförallt norra Norrlandskusten. Det beror med stor sannolikhet på dataunderlaget till SRES-analysen, då temperaturdata längs kusten påverkades mycket av havsklimatet, vilket kan ge missvisande resultat. De höga värdena längs kusterna i SRES-kartan bör alltså tolkas med försiktighet.



*Figur 1. Beräknad förändring av årsmedeltemperatur för perioden 2069-2098 jämfört med perioden 1961-1990, enligt de tidigare beräkningarna med SRES och de nyare med RCP4.5 respektive RCP8.5. Värdena i kartorna är utjämna för att förenkla tolkningen.*



*Figur 2. Beräknad procentuell förändring av årsnederbörd för perioden 2069-2098 jämfört med perioden 1961-1990, enligt de tidigare beräkningarna med SRES och de nyare med RCP4.5 respektive RCP8.5. Värdena i kartorna är utjämna för att förenkla tolkningen.*

Kartorna i figur 2 visar förändringen i årsmedelnederbörd vid slutet på seklet jämfört med perioden 1961-1990. SRES-scenarierna är mycket lika RCP4.5, med en ökning på 10-30 %.

Skillnaderna är alltså olika beroende på vilken variabel som studeras och beror till stora delar på de klimatmodeller som används i beräkningarna. För SRES-analyserna användes 16 olika uppsättningar av globala och regionala modeller, medan RCP-analyserna är baserade på nio olika globala modeller och en regional (RCA4). Det ger en bättre representation avseende globala beräkningar men i analysen har endast data från en regional modell varit tillgänglig, vilket kan ge ett snävt resultat. RCA4 har visat sig vara något blötnare i jämförelse med andra regionala modeller, vilket betyder att samma RCP-scenarier kan uppvisa något torrare klimatförändring med andra kombinationer av globala och regionala modeller.

## 3.5 Läsanvisningar

På följande sidor presenteras index baserade på temperatur, nederbörd, tillrinning och markfuktighet. Indexen beskrivs och resultaten presenteras i korta texter i respektive kapitel. Indexen presenteras lite olika vad gäller kartor och diagram, vilket beskrivs nedan.

### 3.5.1 Kartor

För temperatur- och nederbördssindex visas observerade och beräknade värden. För medeltemperatur och medelnederbörd samt antal dagar med mer än 10 mm nederbörd visas även kartor över förändringar mellan tidsperioder.

För index baserade på tillrinning presenteras endast förändringar mellan tidsperioder. Förändringar anges som procentuell avvikelse från referensperioden.

Alla kartor visar medelvärdet över en given tidsperiod. I de kartor som visar förändringar mellan tidsperioder är värdena geografiskt utjämnade för att underlätta tolkningen.

Sverigekartorna representerar respektive index för referensperioden 1961-1990 och visar hur förhållandena i länet relaterar till övriga Sverige.

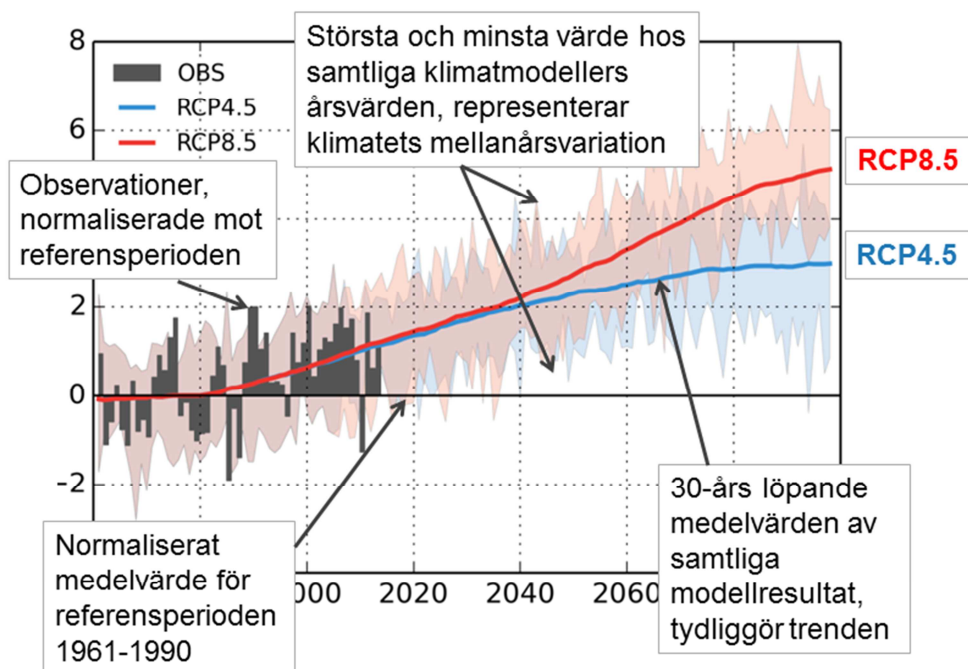
### 3.5.2 Diagram

Diagrammen för temperatur och nederbörd visar utvecklingen över tid för länet som helhet jämfört med referensperioden 1961-1990. Tillrinning och markfuktighet är beräknade utifrån hydrologisk modellering och diagrammen för de indexen visar utvecklingen över tid för ett definierat avrinningsområde, jämfört med referensperioden 1963-1992.

Diagram för temperatur och nederbörd innehåller staplar med observationer som är geografiska medelvärdet för hela länet, se förklaring av diagrammets uppbyggnad i figur 3. För tillrinning och markfuktighet finns inte motsvarande observerade värden att tillgå, därför saknar de diagrammen observationsstaplar.

Tillrinningens årsdynamik presenteras som 30-årsmedelvärdet för referensperioden 1963-1992 och framtidspérioden 2069-2098.

Diagrammen över förändring av korttidsnederbörd avser länet som helhet.

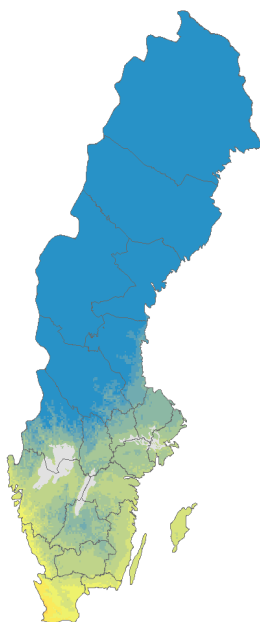


Figur 3. Beskrivning av diagrammens struktur i rapporten.

## 4 Temperatur

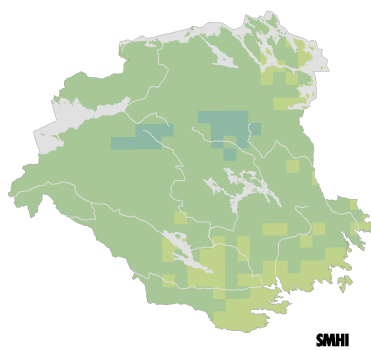
### 4.1 Årsmedeltemperatur

#### Observerat 1961-1990

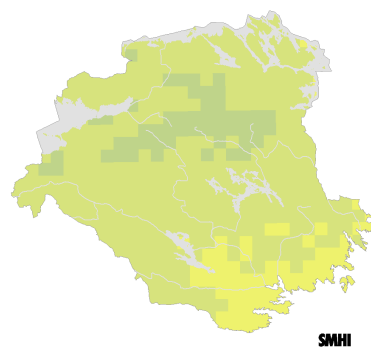


Årsmedeltemperatur är medelvärdet av varje års medeltemperatur beräknat utifrån dygnsmedeltemperatur. Det är tillsammans med årsmedelnederbörd det mest använda indexet för att beskriva klimatet.

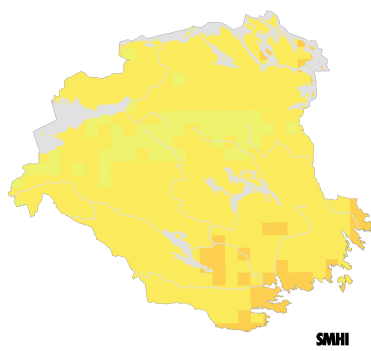
Observerat 1961-1990



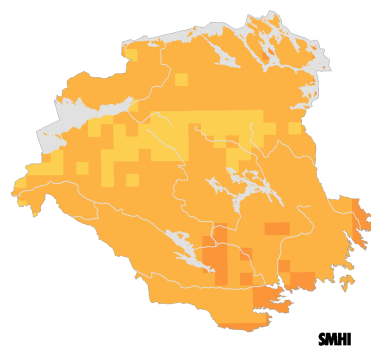
Observerat 1991-2013



Beräknat 2021-2050



Beräknat 2069-2098

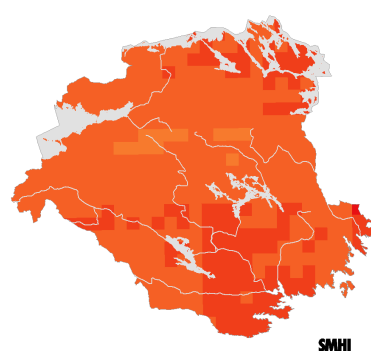
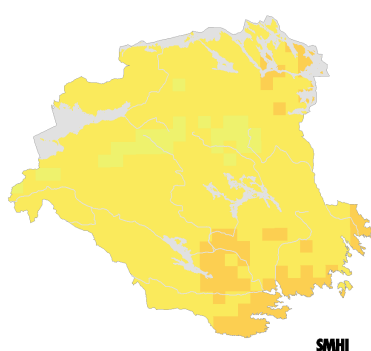


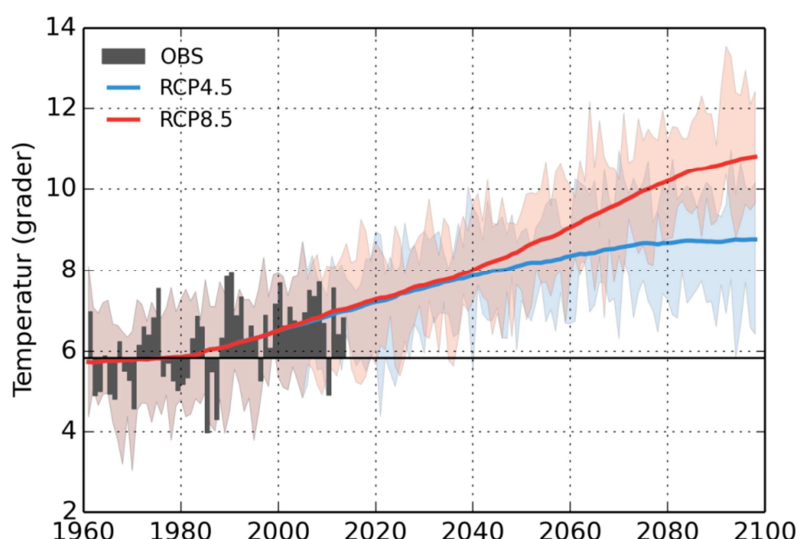
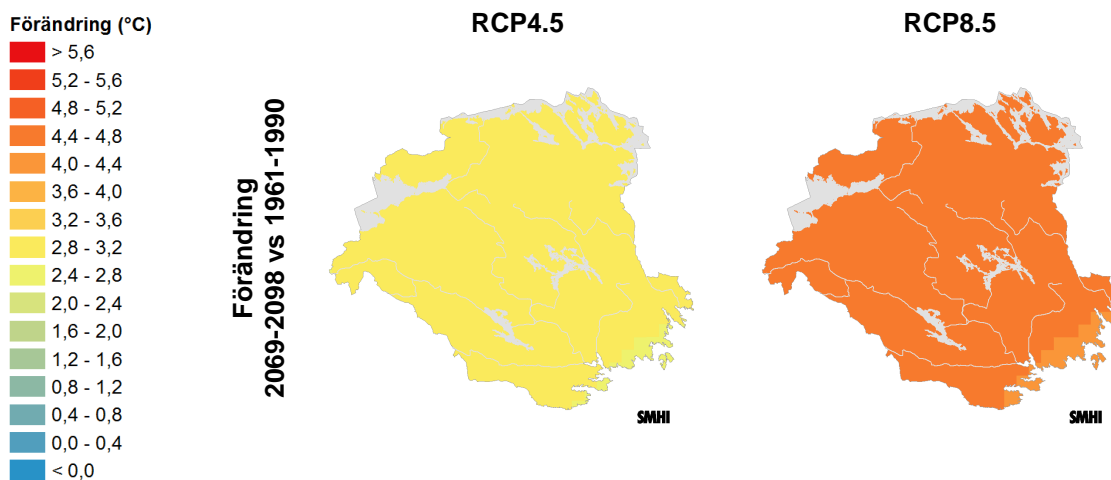
Temperatur (°C)

> 11,0
10,5 - 11,0
10,0 - 10,5
9,5 - 10,0
9,0 - 9,5
8,5 - 9,0
8,0 - 8,5
7,5 - 8,0
7,0 - 7,5
6,5 - 7,0
6,0 - 6,5
5,5 - 6,0
5,0 - 5,5
4,5 - 5,0
4,0 - 4,5
< 4,0

RCP4.5

RCP8.5



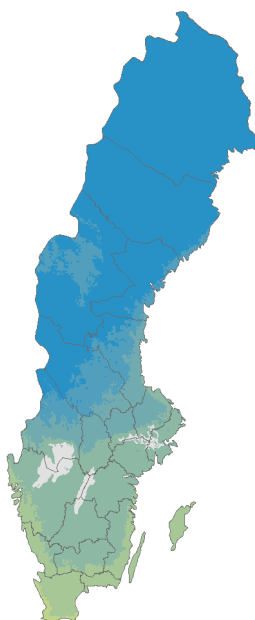


Under perioden 1961-1990 var årsmedeltemperaturen för hela Södermanlands län  $5,8^{\circ}\text{C}$ . Varmast är det i länets sydöstra del. Under den senaste observationsperioden, 1991-2013, har temperaturen ökat med ungefär en halv grad. Trenden att det blir varmare är tydlig i båda RCP-scenarierna. I mitten av seklet, perioden 2021-2050, är resultaten från de båda scenarierna mycket lika, skillnaderna tydligt först under andra hälften av seklet.

I diagrammet visas förändringen över länet som helhet för de två RCP-scenarierna, årvärden av observerad medeltemperatur för Södermanlands län är markerade som staplar. Staplarna visar att årsmedeltemperaturen i länet kan variera med ca  $4^{\circ}\text{C}$ . Denna mellanårsvariation består även i framtiden, vilket framgår av de skuggade fälten i diagrammet. De heldragna linjerna visar 30-års löpande medelvärde av scenarierna för att förtydliga trender. Temperaturen beräknas stiga med flera grader till slutet av seklet; enligt RCP4.5 med 3 grader medan RCP8.5 visar på en 5-gradig ökning. Förändringen är ungefär densamma för hela länet.

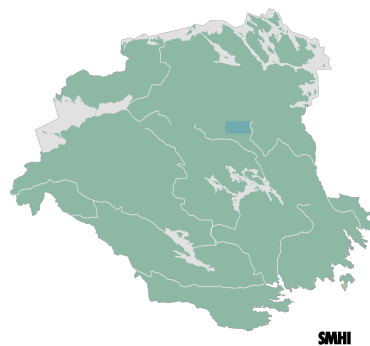
## 4.2 Medeltemperatur vinter

### Observerat 1961-1990

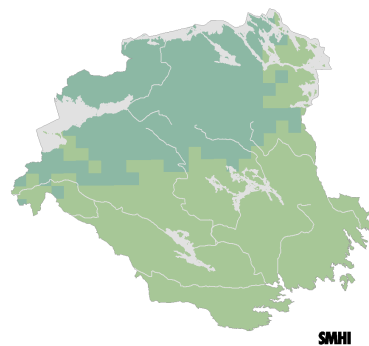


Vinter definieras här som perioden december-februari. Kartorna visar medelvärdet för respektive period beräknat utifrån dygnsmitteltemperatur.

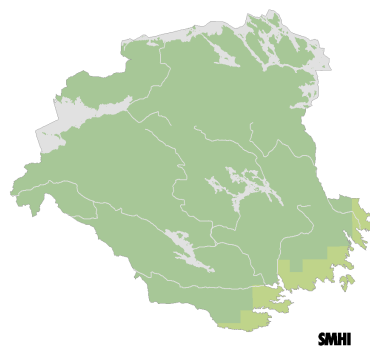
Observerat 1961-1990



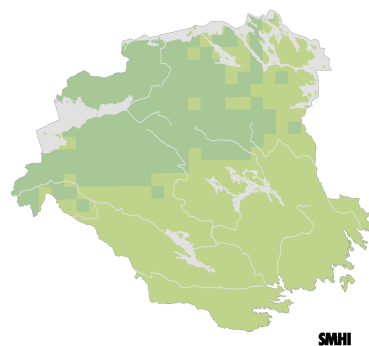
Observerat 1991-2013



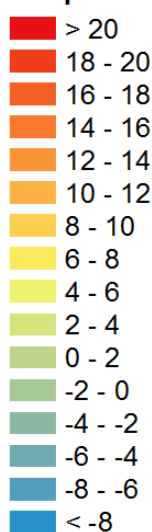
Beräknat 2021-2050



Beräknat 2069-2098

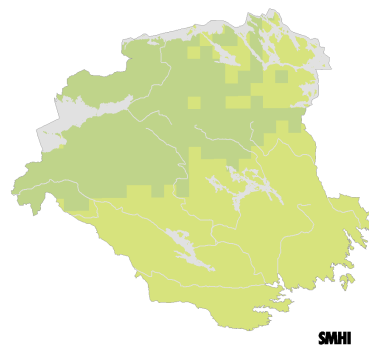
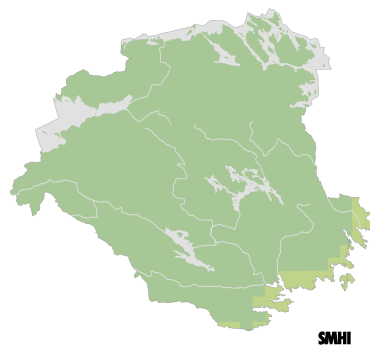


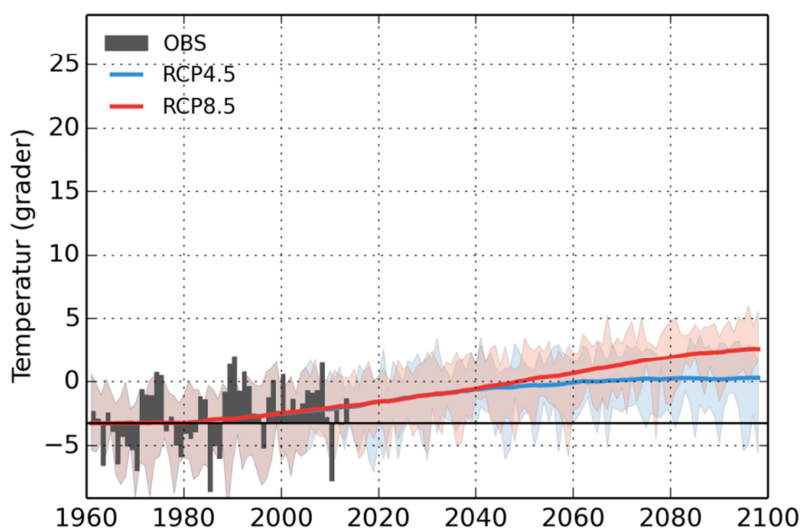
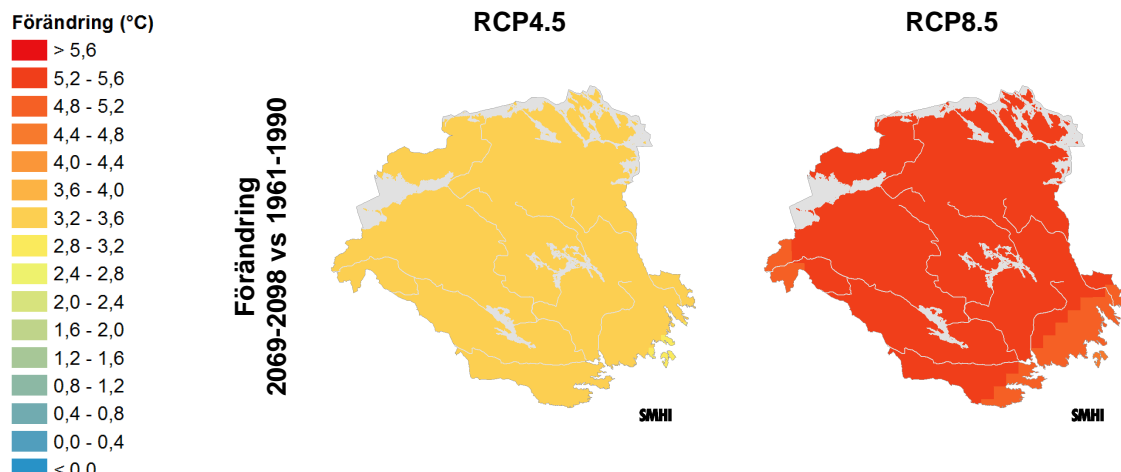
Temperatur ( $^{\circ}\text{C}$ )



RCP4.5

RCP8.5



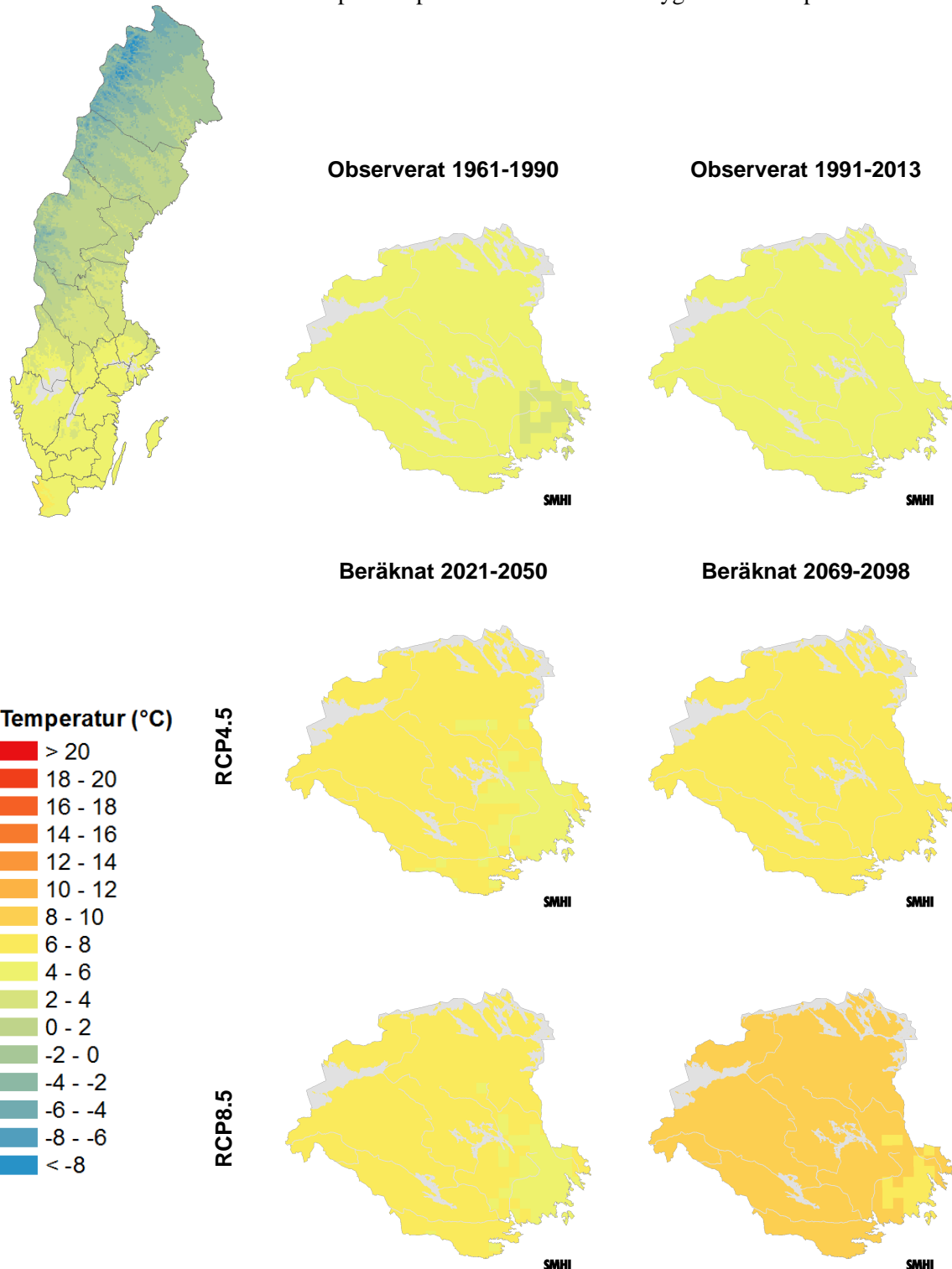


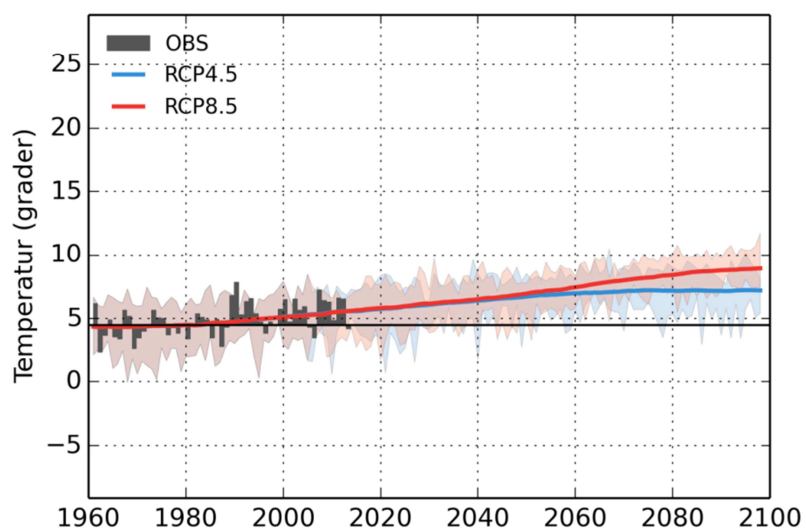
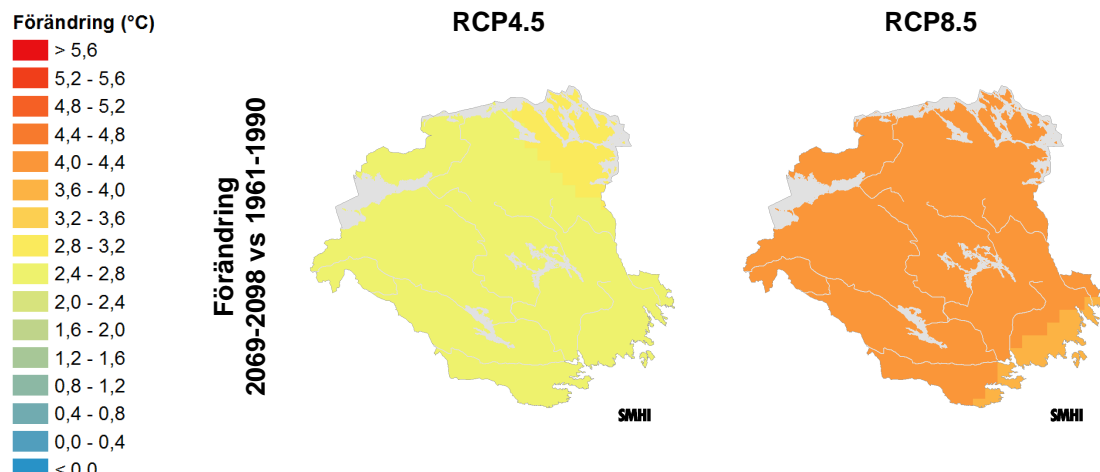
Södermanlands vintermedeltemperatur var under referensperioden 1961-1990 -3,2°C. Vintrarna har blivit något milder under de senaste 23 åren, men staplarna i diagrammet visar att mellanårsvariationen är stor. De två olika scenarierna visar samstämmigt på att det blir milder vintrar framöver. Enligt RCP4.5 hamnar medeltemperaturen på ca 0°C, medan RCP8.5 visar på ca 3°C i slutet av seklet, dvs. 6 grader varmare än referensperioden 1961-1990.

## 4.3 Medeltemperatur vår

### Observerat 1961-1990

Vår definieras här som perioden mars-maj. Kartorna visar medelvärdet för respektive period beräknat utifrån dygnsmedeltemperatur.

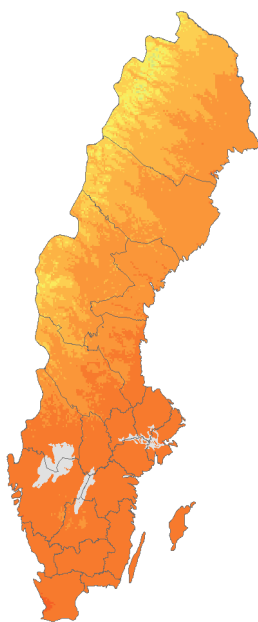




Medeltemperaturen för våren under perioden 1961-1990 var 4,5°C, och mellanårsvariationen är betydligt mindre jämfört med vintern. De senaste drygt 20 åren har medeltemperaturen ökat med någon grad och trenden håller i sig under resten av århundradet. Enligt RCP4.5 blir det en 3-gradig temperaturökning medan RCP8.5 visar på ca 5 graders ökning jämfört med 1961-1990.

## 4.4 Medeltemperatur sommar

### Observerat 1961-1990

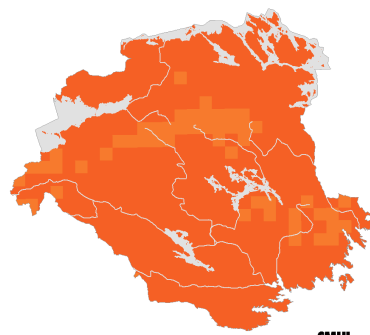


Sommar definieras här som perioden juni-augusti. Kartorna visar medelvärdet för respektive period beräknat utifrån dygnsmitteltemperatur.

Observerat 1961-1990



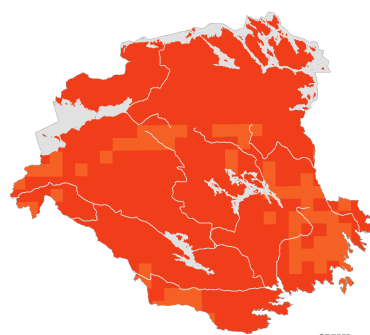
Observerat 1991-2013



Beräknat 2021-2050



Beräknat 2069-2098



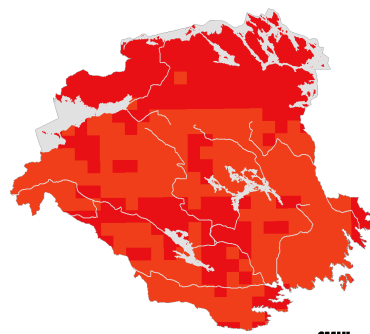
Temperatur (°C)

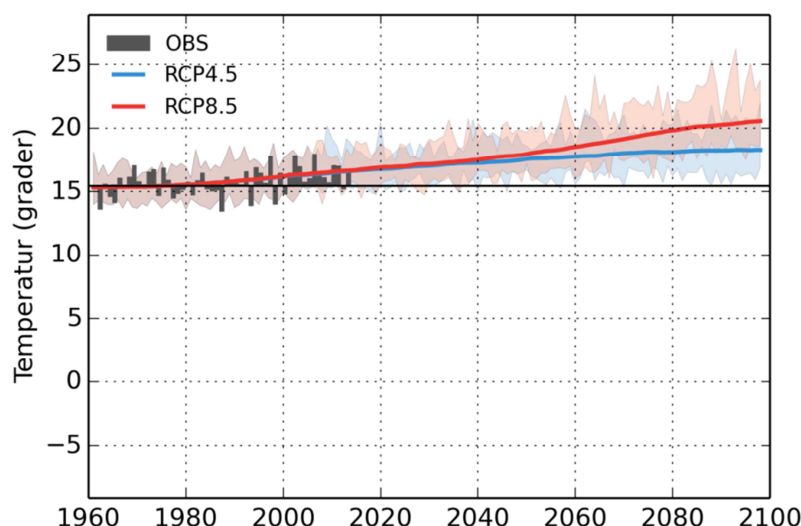
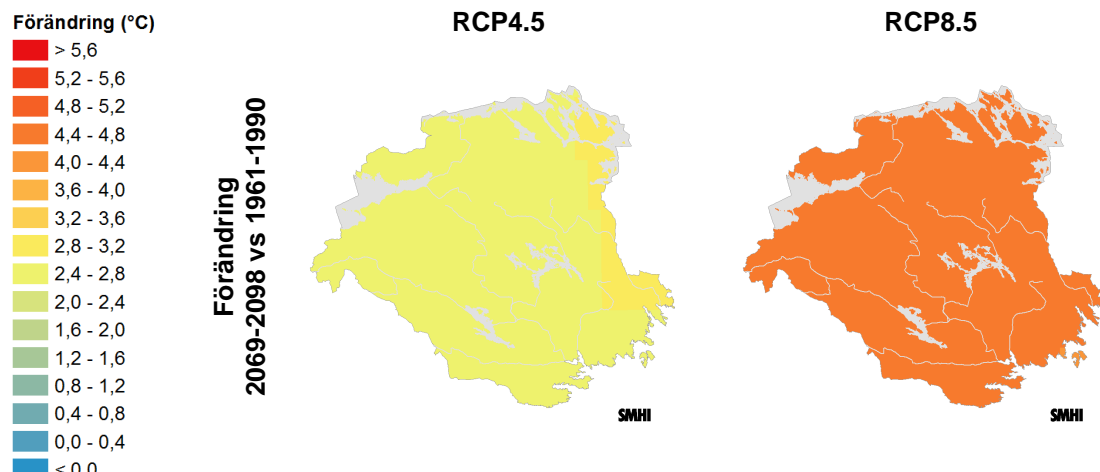
> 20
18 - 20
16 - 18
14 - 16
12 - 14
10 - 12
8 - 10
6 - 8
4 - 6
2 - 4
0 - 2
-2 - 0
-4 - -2
-6 - -4
-8 - -6
< -8

RCP4.5



RCP8.5

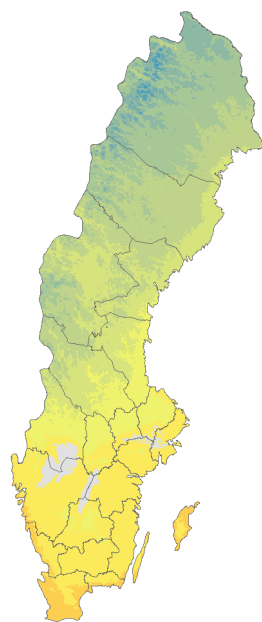




Sommarmedeltemperaturen under 1961-1990 var 15,4°C. Under perioden 1991-2013 har det blivit något varmare. Mönstret kvarstår till slutet av seklet, enligt RCP8.5 hamnar sommarmedeltemperaturen i länet på drygt 20°C. Det betyder en ökning på 5 grader, medan RCP4.5 stiger med ca 3 grader.

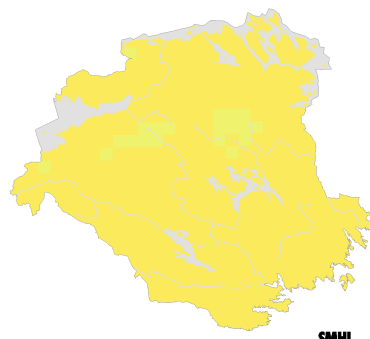
## 4.5 Medeltemperatur höst

### Observerat 1961-1990

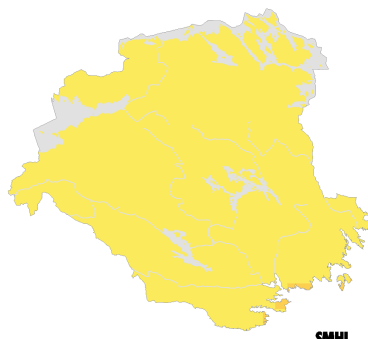


Höst definieras här som perioden september-november. Kartorna visar medelvärdet för respektive period beräknat utifrån dygnsmitteltemperatur.

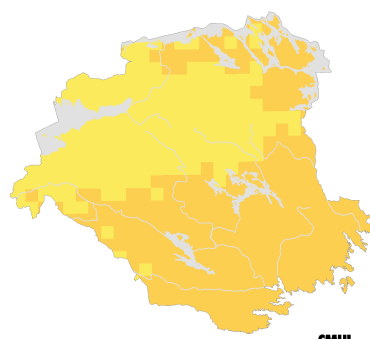
Observerat 1961-1990



Observerat 1991-2013



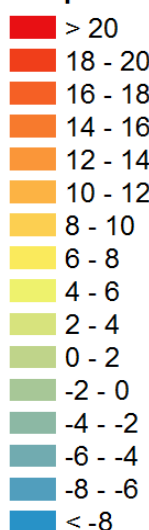
Beräknat 2021-2050



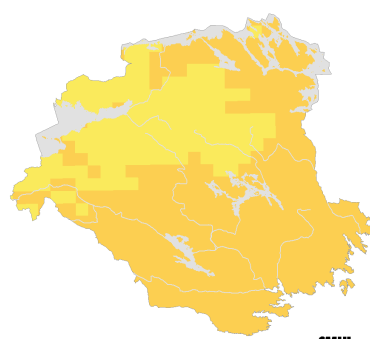
Beräknat 2069-2098



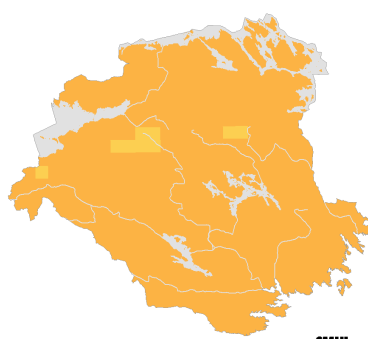
Temperatur (°C)

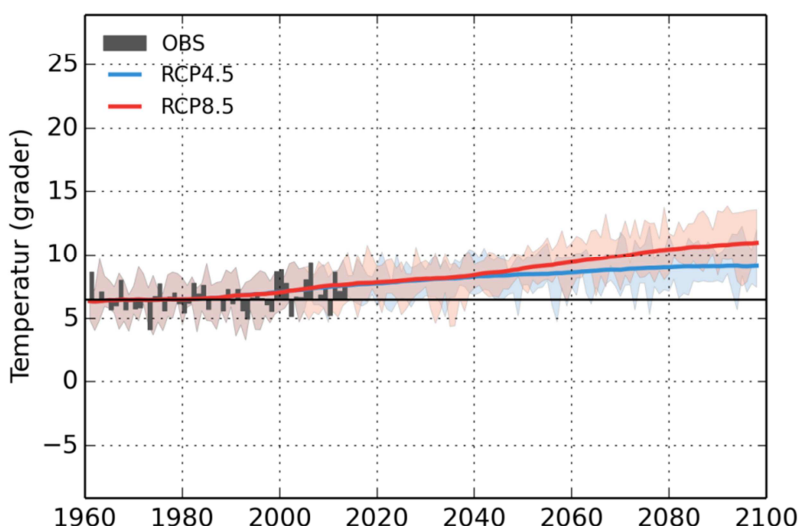
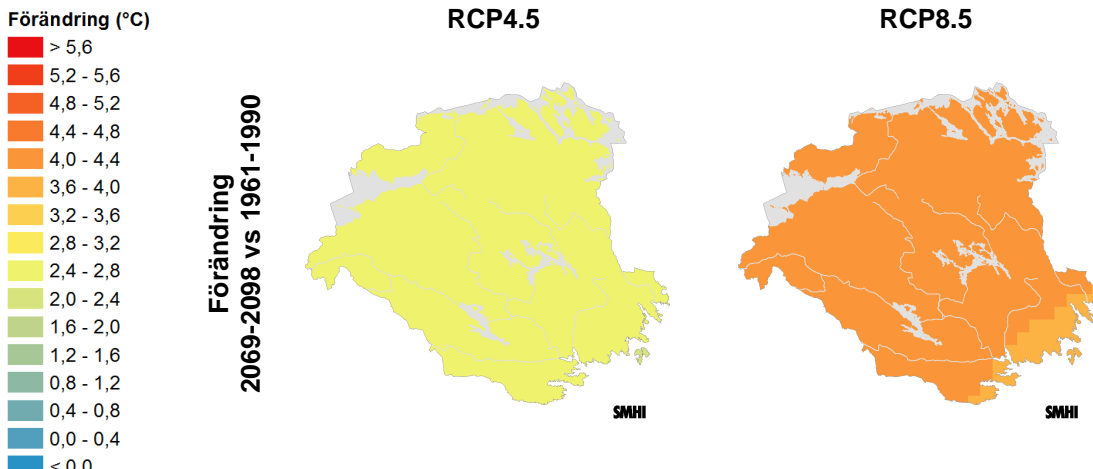


RCP4.5



RCP8.5





Medeltemperaturen för hösten under 1961- 1990 var 6,5°C. Under perioden 1991-2013 har det blivit något varmare. Till slutet av seklet visar RCP4.5 på en ökning med drygt 2 grader och RCP8.5 drygt 4 grader.

### Allmänt om årstiderna

Både RCP4.5 och RCP8.5 visar på en temperaturökning för alla årstiderna fram till slutet av seklet. Temperaturökningen kan indikera, om medeltemperaturer används för att definiera årstiderna, att hösten håller i sig längre och att våren kommer tidigare än idag. Vinterperioden blir alltså kortare och sommaren längre.

Den största temperaturökningen sker under vintermånaderna. Enligt RCP4.5 blir det ca 3 grader varmare till slutet av seklet, medan RCP8.5 visar på upp till 6 graders ökning jämfört med referensperioden 1961-1990. Även under våren och sommaren förväntas en stor temperaturökning. RCP4.5 visar på en ökning i medeltemperatur med 3 grader och RCP8.5 på 5 graders ökning jämfört med referensperioden.

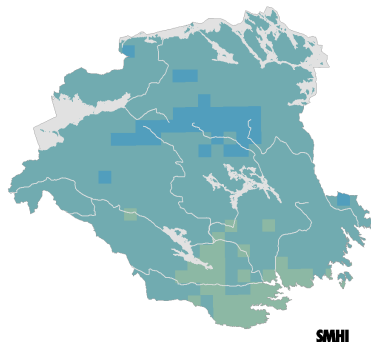
## 4.6 Vegetationsperiodens längd

### Observerat 1961-1990

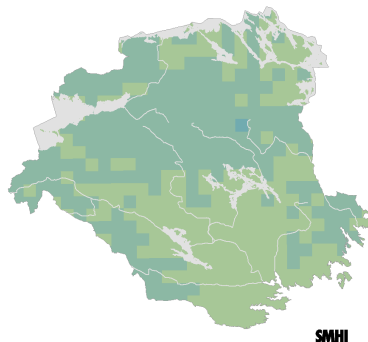


Längden på vegetationsperioden är definierad som skillnaden mellan sluttidpunkt och starttidpunkt. Starttidpunkt är första dagen i året i en sammanhängande fyradagarsperiod då dygnsmedeltemperaturen överstiger 5°C. Sluttidpunkt är sista dagen i årets sista fyradagarsperiod med dygnsmedeltemperatur över 5°C. Indexet baseras enbart på temperatur och tar inte hänsyn till solinstrålning.

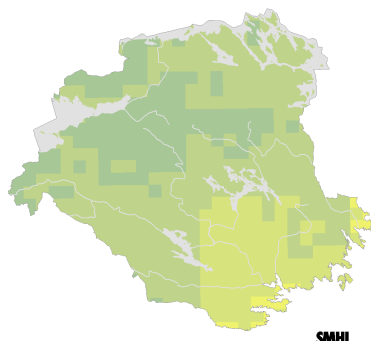
Observerat 1961-1990



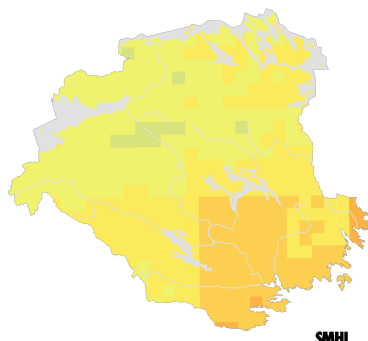
Observerat 1991-2013



Beräknat 2021-2050



Beräknat 2069-2098

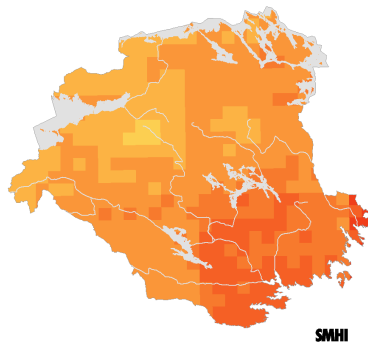
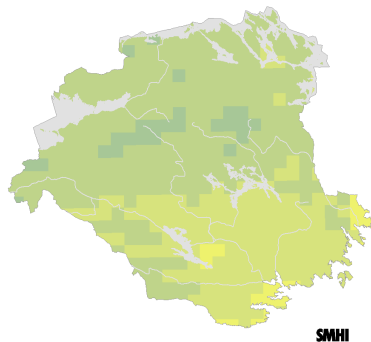


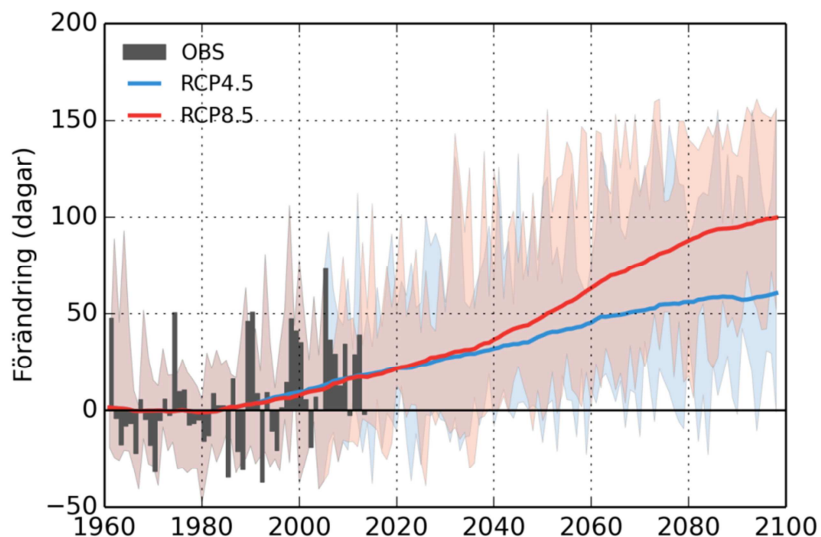
### Antal dagar

■ > 330
■ 320 - 330
■ 310 - 320
■ 300 - 310
■ 290 - 300
■ 280 - 290
■ 270 - 280
■ 260 - 270
■ 250 - 260
■ 240 - 250
■ 230 - 240
■ 220 - 230
■ 210 - 220
■ 200 - 210
■ 190 - 200
■ < 190

RCP4.5

RCP8.5





Längden på vegetationsperioden<sup>1</sup> under perioden 1961-1990 för länet som helhet var 205 dagar, vilket motsvarar nästan 7 månader. Under de senaste dryga 20 åren har vegetationsperioden utökats med ungefär 1 vecka.

Klimatscenarierna visar tydligt att vegetationsperioden blir längre under de kommande årtiondena. Fram mot slutet av århundrandet visar RCP4.5 på en ökning med ca 60 dagar. Temperaturen i scenario RCP8.5 är lite varmare än RCP4.5 under våren och hösten och detta syns tydligt på vegetationsperioden. Mellan de två scenarierna skiljer det ungefär 40 dagar, dvs. RCP8.5 ger en ökning på ca 100 dagar till slutet av seklet. Detta scenario betyder att vegetationsperioden mot slutet av seklet kommer täcka in 10 månader av året.

---

<sup>1</sup> Vegetationsperioden definieras som den del av året då dygnsmedeltemperaturen överstiger ett visst gränsvärde, som varierar för olika tillämpningar men ligger vanligen mellan +3°C och +5°C. Vegetationsperiod benämns ibland växtsäsong.

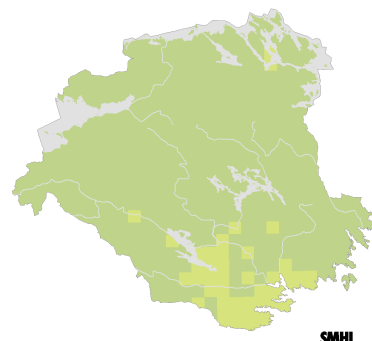
## 4.7 Vegetationsperiodens starttidpunkt

### Observerat 1961-1990

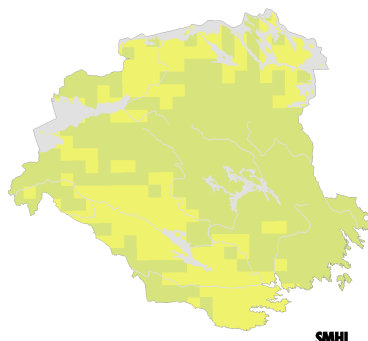


Starttidpunkt är första dagen på året i en sammanhängande fyrdagarsperiod då dygnsmedeltemperaturen överstiger 5°C. Indexet baseras enbart på beräkningar med temperatur och tar inte hänsyn till solinstrålning. Indexet ger tillsammans med vegetationsperiodens längd en uppfattning om framtida förhållanden för sådd och skördetidpunkter.

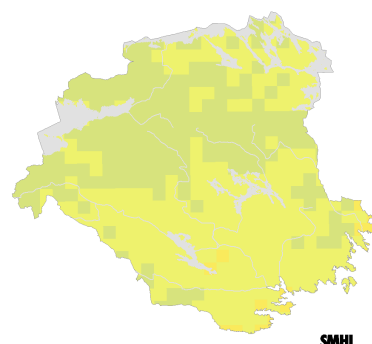
Observerat 1961-1990



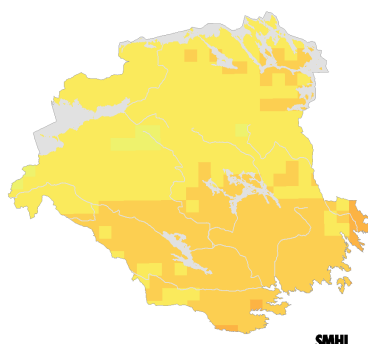
Observerat 1991-2013



Beräknat 2021-2050



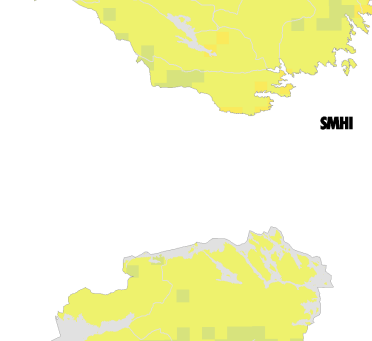
Beräknat 2069-2098



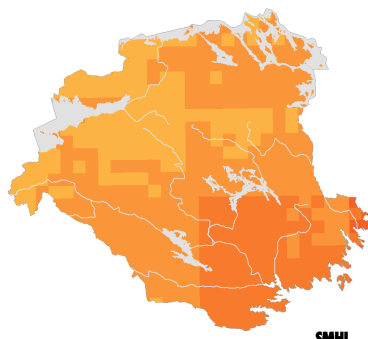
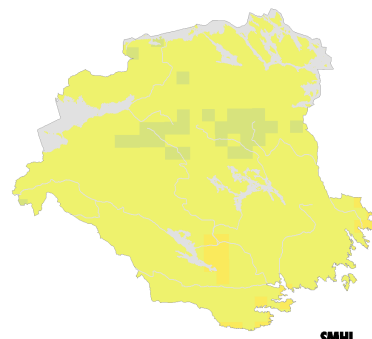
### Dagnummer

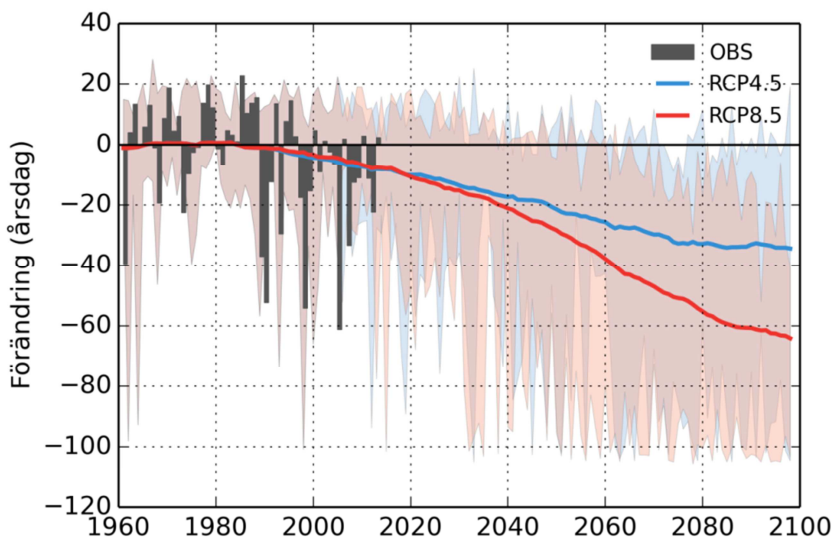
> 150
140 - 150
130 - 140
120 - 130
110 - 120
100 - 110
90 - 100
80 - 90
70 - 80
60 - 70
50 - 60
40 - 50
30 - 40
20 - 30
10 - 20
0 - 10

### RCP4.5



### RCP8.5





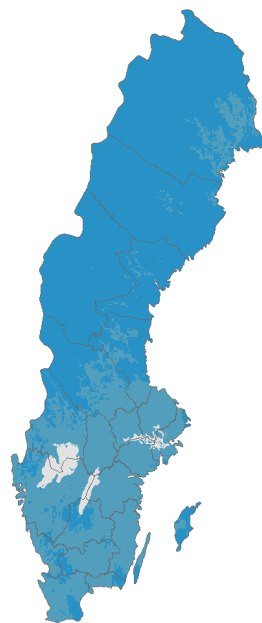
Vegetationsperiodens start definieras här som första tillfället på året när dygnsmedeltemperaturen överstiger  $5^{\circ}\text{C}$  under 4 dagar i följd. Vegetationsperiodens start räknas då från den första av dessa fyra dagar. Starttiden kan variera en del från år till år, beroende på om vintern varit lång och kall eller om mildluft tidigt förs in. Under referensperioden 1961-1990 hamnar medelvärdet för starttiden för vegetationen på dagsnummer 102, vilket motsvarar mitten på april.

Under 90-talet och 2000-talet tidigarelades vegetationsperiodens start allmänt med någon vecka. Trenden håller i sig under resten av århundradet. I slutet av seklet har starttidpunkten tidigarelagts med ungefär 5 veckor enligt RCP4.5. RCP8.5 visar på en förändring med ca 65 dagar, vilket innebär en starttidpunkt för vegetationsperioden i början av februari.

Analyserna av vegetationsperiodens start och längd visar att vegetationsperiodens slut förändras mindre än starttidpunkten. I slutet av seklet senareläggs sluttidpunkten med 3-4 veckor enligt RCP4.5 och drygt 1 månad enligt RCP 8.5.

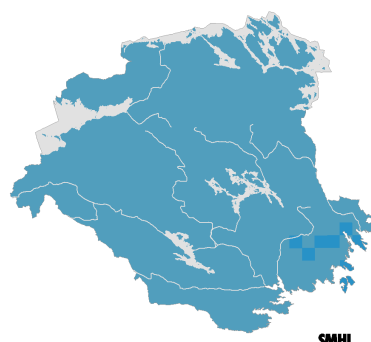
## 4.8 Värmebölja

### Observerat 1961-1990



Värmebölja är vanligen ett begrepp för en längre period med höga dagstemperaturer. Det finns ingen vedertagen internationell definition och även i Sverige förekommer flera definitioner. Här definieras värmebölja som årets längsta sammanhängande period med dygnsmitteltemperatur över 20°C. Indexet belyser behovet av anpassning till perioder med höga temperaturer för t.ex. byggnader och vård- och omsorgssektorn.

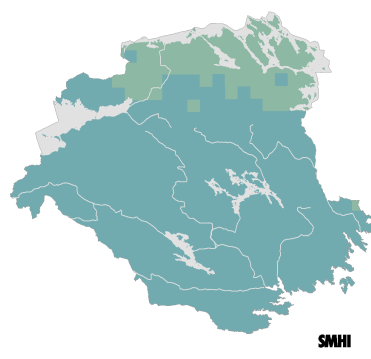
Observerat 1961-1990



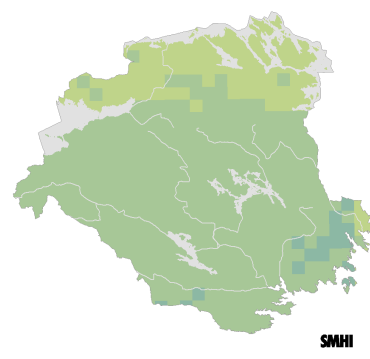
Observerat 1991-2013



Beräknat 2021-2050



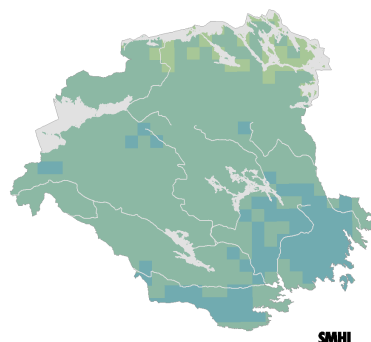
Beräknat 2069-2098



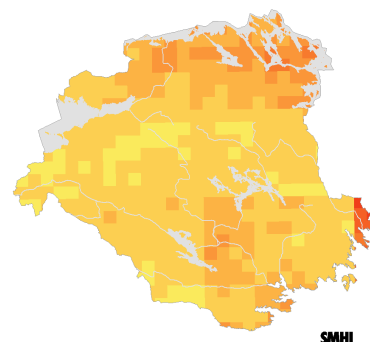
Antal dagar

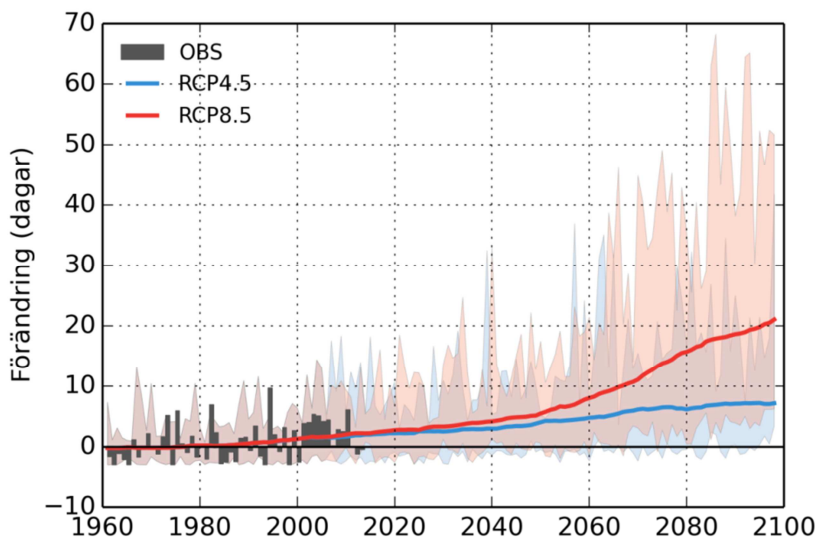
> 30
28 - 30
26 - 28
24 - 26
22 - 24
20 - 22
18 - 20
16 - 18
14 - 16
12 - 14
10 - 12
8 - 10
6 - 8
4 - 6
2 - 4
0 - 2

RCP4.5



RCP8.5

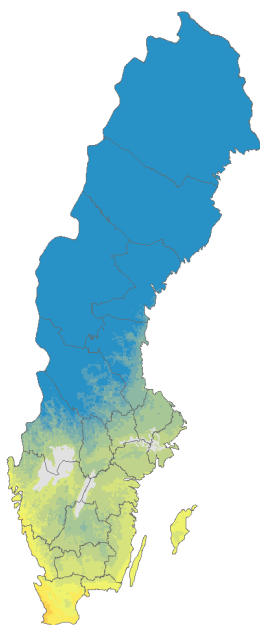




Under perioden 1961-1990 var det bara ett fåtal tillfällen varje år som dygnsmedeltemperaturen kom över 20°C, medelvärdet var 3 dagar. Det har under de senaste drygt 20 åren blivit något varmare och antalet sammanhangande dagar med medeltemperaturer över 20°C har ökat med ett par dagar per år. Under de kommande åren visar beräkningarna på längre perioder med dygnsmedeltemperaturer över 20°C. Skillnaden är störst för RCP8.5, i vilket värmeböljornas längd ökar till drygt 20 dagar i slutet av seklet. Ökningen är inte fullt lika stor i RCP4.5, men värmeböljor som varar en vecka blir årligen förekommande. I kartan för RCP8.5 i seklets slut går det att urskilja ett rutmönster som härrör från global klimatmodellering. Lokala resultat bör här tolkas med försiktighet.

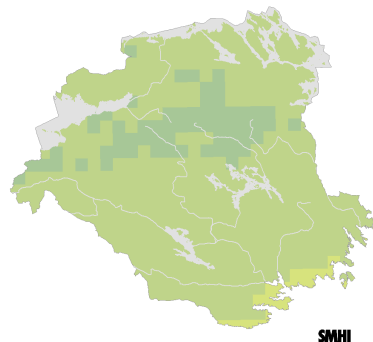
## 4.9 Graddagar för uppvärmning

### Observerat 1961-1990

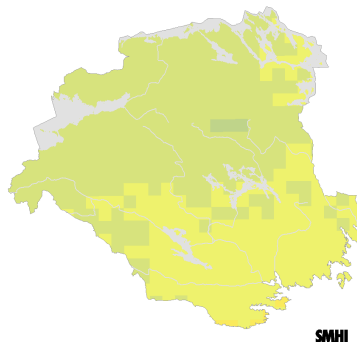


Graddagar för uppvärmning är skillnaden mellan dygnsmedeltemperaturen och tröskelvärdet 17°C, summerat på ett år. En dygnsmedeltemperatur på 12°C bidrar exempelvis med 5 grader till årsomsumman. Dygnsmedeltemperaturer över 17°C ger inget bidrag. Graddagar för uppvärmning är ett energimått och används för att uppskatta behovet av uppvärmning i bostäder.

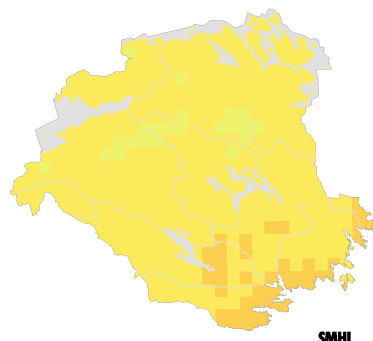
Observerat 1961-1990



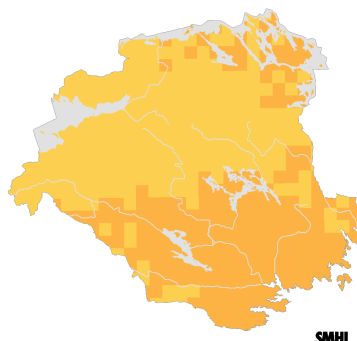
Observerat 1991-2013



Beräknat 2021-2050

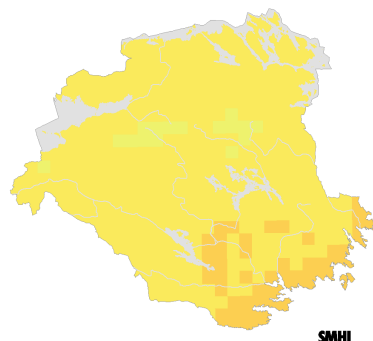


Beräknat 2069-2098



Graddagar	
> 5000	
4800 - 5000	
4600 - 4800	
4400 - 4600	
4200 - 4400	
4000 - 4200	
3800 - 4000	
3600 - 3800	
3400 - 3600	
3200 - 3400	
3000 - 3200	
2800 - 3000	
2600 - 2800	
2400 - 2600	
2200 - 2400	
< 2200	

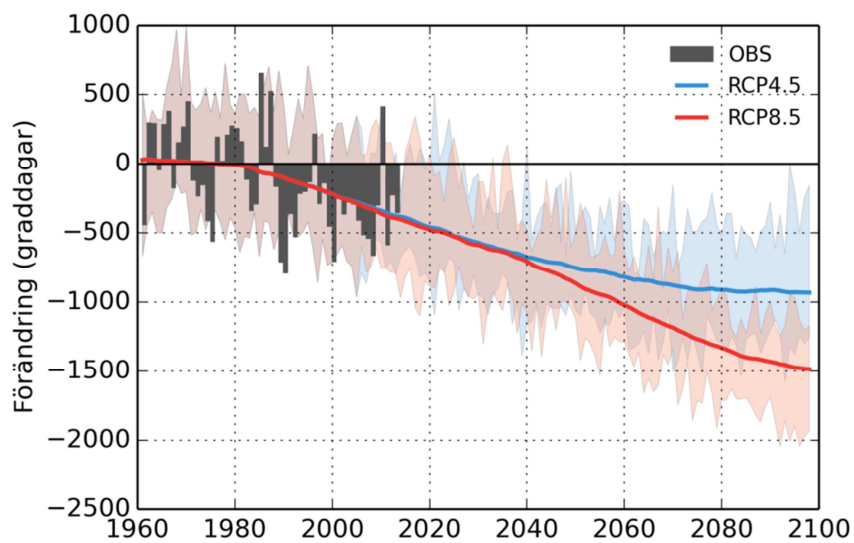
RCP4.5



RCP8.5

SMHI

SMHI



Behovet av uppvärmning minskar. För referensperioden 1961-1990 var antalet graddagar 4128 i genomsnitt för länet. Temperaturgradienten över länet syns i kartorna som större antal graddagar i norr jämfört med i söder. Under de senaste årtiondena har uppvärmningsbehovet minskat i medeltal, vilket framgår både av kartor och av diagram. RCP4.5 visar en minskning på ca 1000 graddagar för länet vid seklets slut. RCP8.5 ger en minskning på ca 1500 graddagar.

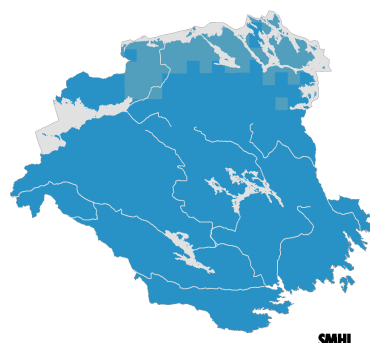
## 4.10 Graddagar för kyling

### Observerat 1961-1990

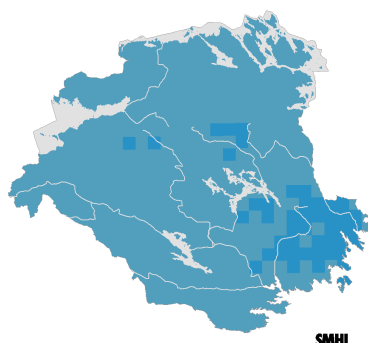


Graddagar för kyling är summan av hela årets dygnsmedeltemperaturer över 20°C. En dygnsmedeltemperatur på 22°C bidrar exempelvis med 2 grader till årssumman. Graddagar för kyling är ett energimått och används för att uppskatta behovet av kyling i bostäder.

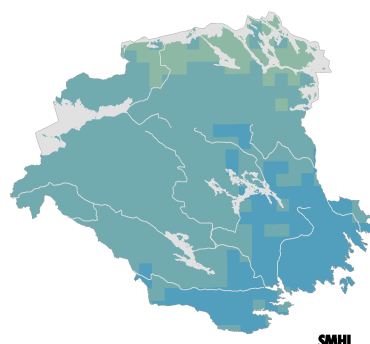
Observerat 1961-1990



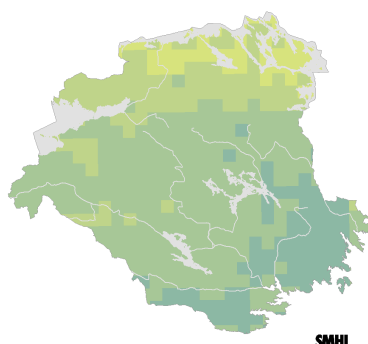
Observerat 1991-2013



Beräknat 2021-2050



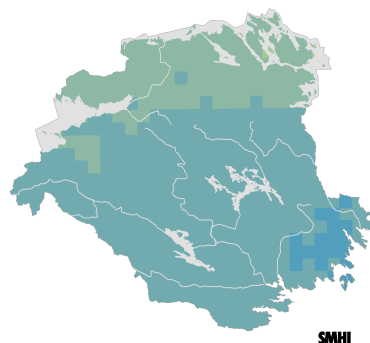
Beräknat 2069-2098



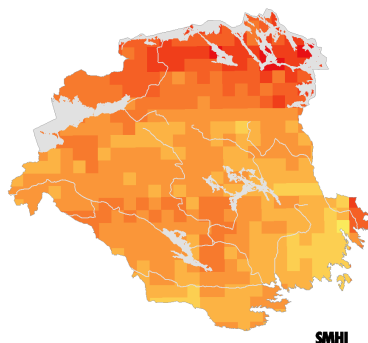
### Graddagar

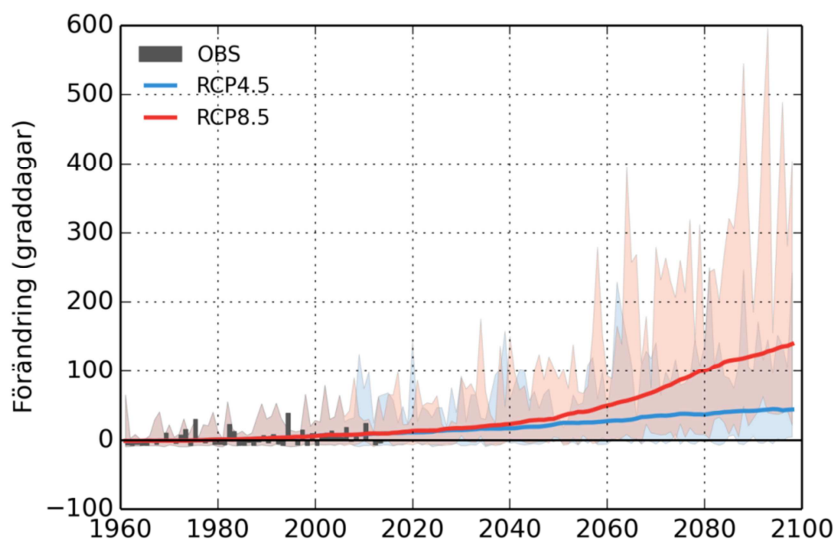
> 150
140 - 150
130 - 140
120 - 130
110 - 120
100 - 110
90 - 100
80 - 90
70 - 80
60 - 70
50 - 60
40 - 50
30 - 40
20 - 30
10 - 20
0 - 10

RCP4.5



RCP8.5





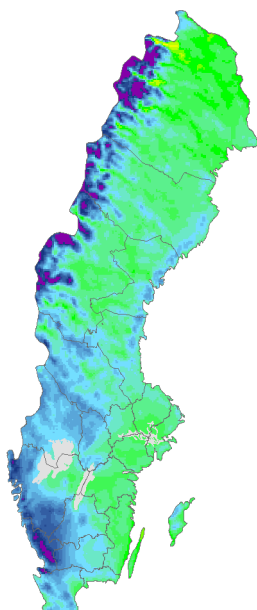
Behoven av kylning har hittills varit små i Sverige. För Södermanlands län var medeltalet för referensperioden 1961-1990 7 graddagar, enligt den definition som här används. Kylbehovet ökar medökande sommartemperaturer och RCP8.5 visar en markant ökning mot slutet av seklet till i medeltal 150 graddagar.

Behovet av energi för kylning förblir dock mycket litet i jämförelse med uppvärmningsbehovet, även i framtiden.

## 5 Nederbörd

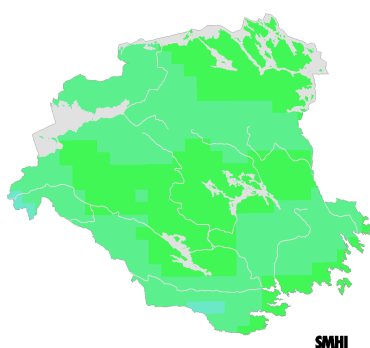
### 5.1 Årsmedelnederbörd

#### Observerat 1961-1990

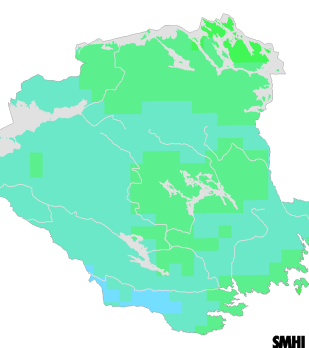


Observerat 1961-1990

Observerat 1991-2013

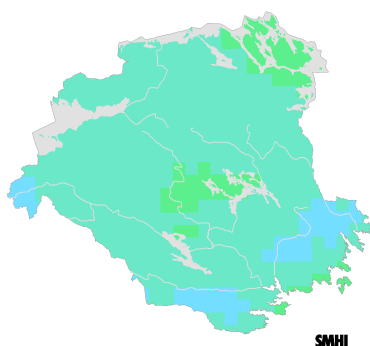


SMHI



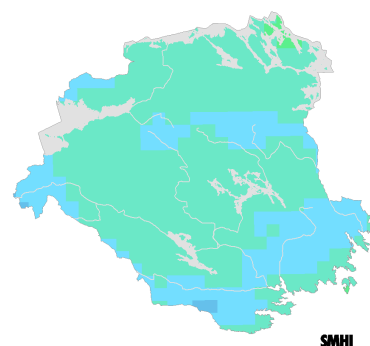
SMHI

Beräknat 2021-2050



SMHI

Beräknat 2069-2098

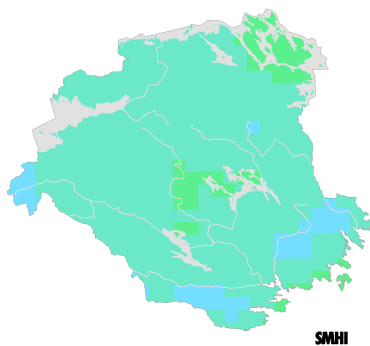


SMHI

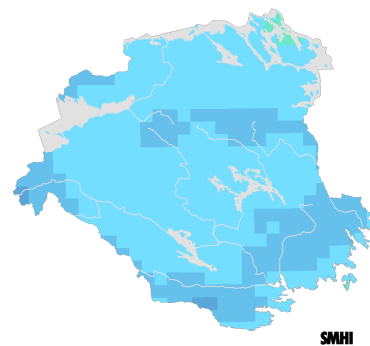
RCP4.5

Nederbörd (mm)
> 1100
1050 - 1100
1000 - 1050
950 - 1000
900 - 950
850 - 900
800 - 850
750 - 800
700 - 750
650 - 700
600 - 650
550 - 600
500 - 550
450 - 500
400 - 450
< 400

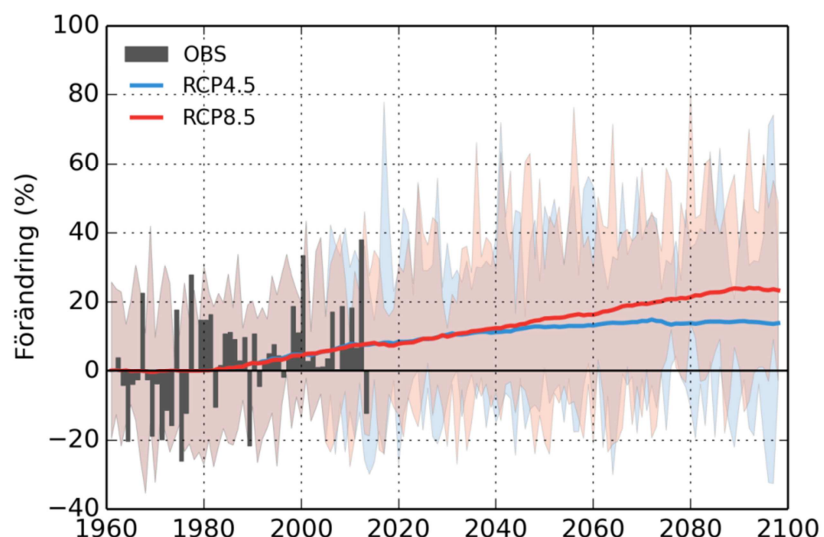
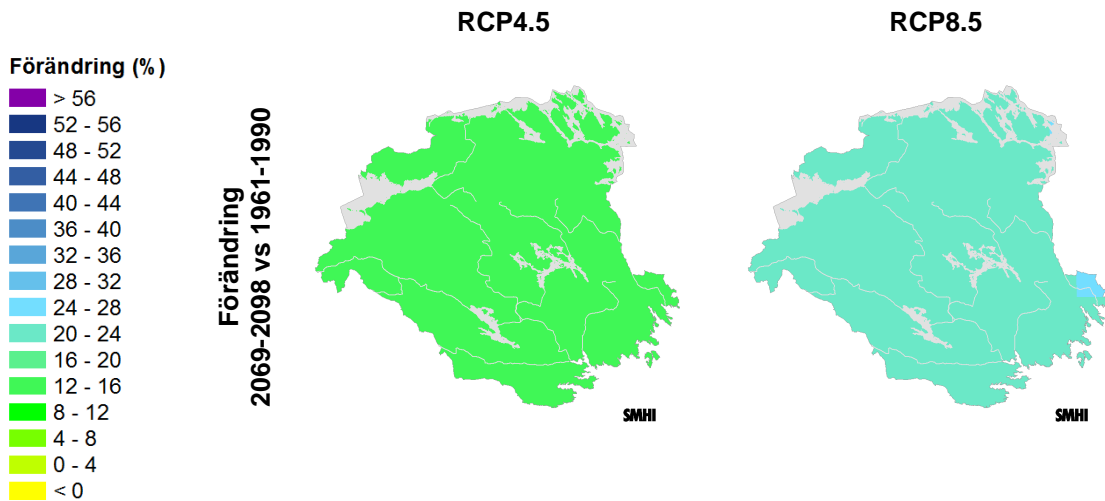
RCP8.5



SMHI



SMHI

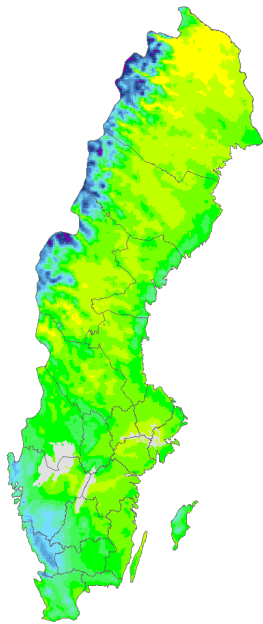


Årsmedelnederbörden i Södermanlands län var under perioden 1961-1990 601 mm. Diagrammet visar att mellanårsvariationen är stor (se de svarta observationsstaplarna), 20 % mer eller mindre än medelvärdet är inte ovanligt. Under de senaste 23 åren har nederbörden ökat något. I ett framtida klimat väntas nederbörden öka mer. Ökningen är störst i RCP8.5, upp mot 25 % till slutet av seklet, medan RCP4.5 har en ökning på ca 15 %.

## 5.2 Medelnederbörd vinter

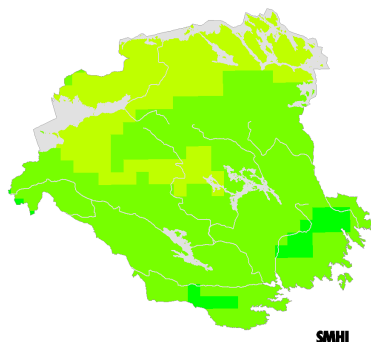
### Observerat 1961-1990

Vinter definieras här som perioden december-februari. Kartorna visar medelvärdet av varje periods summerade dygnsnederbörd.

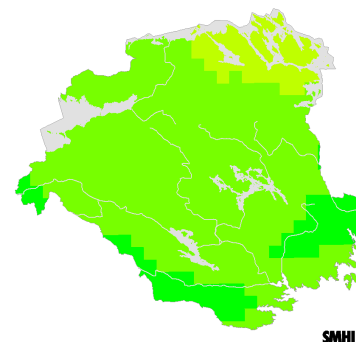


Observerat 1961-1990

Observerat 1991-2013



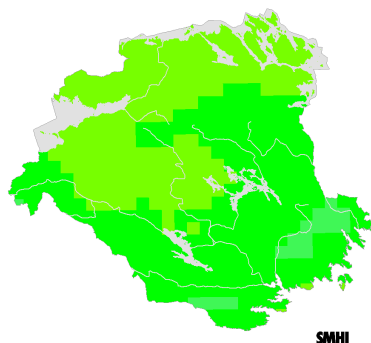
SMHI



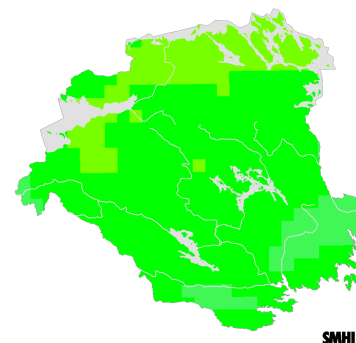
SMHI

Beräknat 2021-2050

Beräknat 2069-2098



SMHI



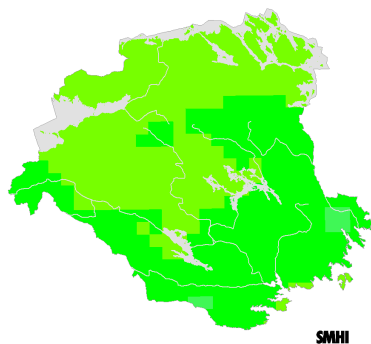
SMHI

RCP4.5

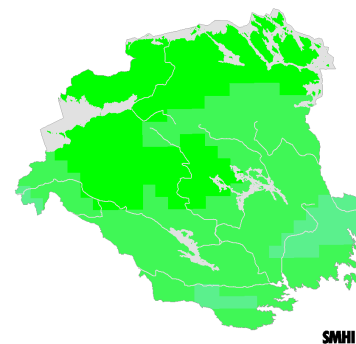
RCP8.5

### Nederbörd (mm)

> 380
360 - 380
340 - 360
320 - 340
300 - 320
280 - 300
260 - 280
240 - 260
220 - 240
200 - 220
180 - 200
160 - 180
140 - 160
120 - 140
100 - 120
< 100

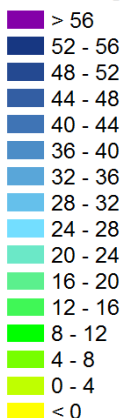


SMHI



SMHI

Förändring (%)



Förändring  
2069-2098 vs 1961-1990

RCP4.5

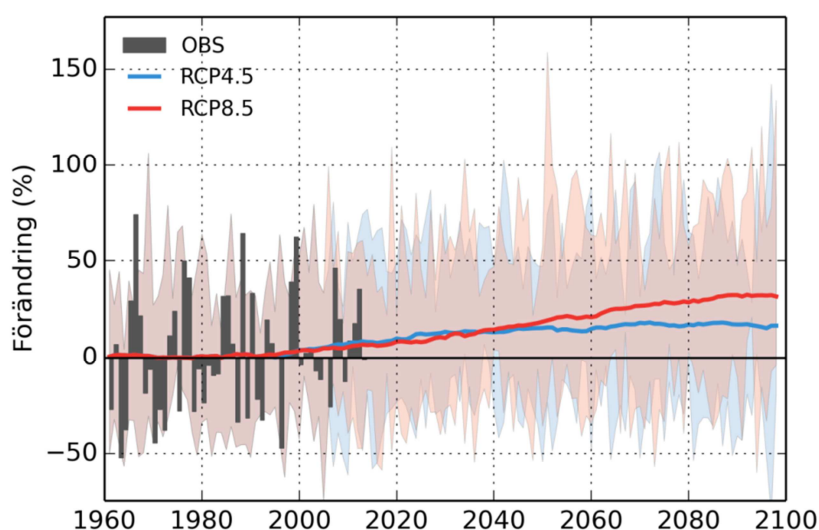


SMHI

RCP8.5



SMHI

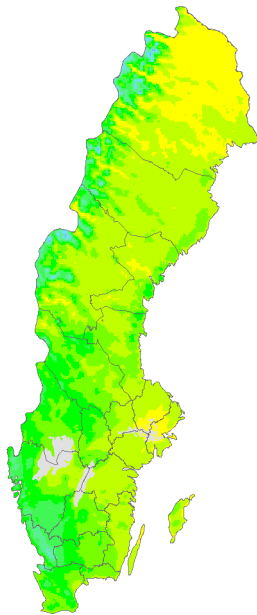


Vinternederbörden i Södermanlands län är lite mindre i nordligaste delen jämfört med resten av länet. För hela länet var årsmedelvärdet i smält form under perioden 1961-1990 125 mm. Diagrammet visar att mellanårsvariationen är mycket stor, skillnader på 50 % från år till år förekommer. RCP8.5 visar på störst ökning till slutet av seklet, ca 30 %, nederbördsmönstret över länet kvarstår. RCP4.5 visar på ungefär hälften så stor ökning till slutet av seklet. I och med ett varmare klimat kommer nederbörd som regn i stället för snö att bli allt vanligare vintertid.

## 5.3 Medelnederbörd vår

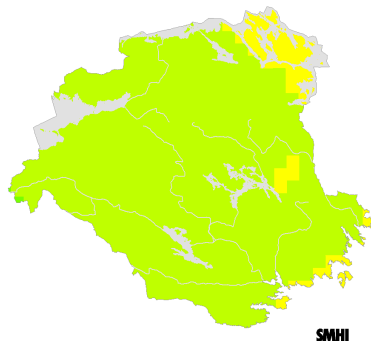
### Observerat 1961-1990

Vår definieras här som perioden mars-maj. Kartorna visar medelvärdet av varje periods summerade dygnsnederbörd.

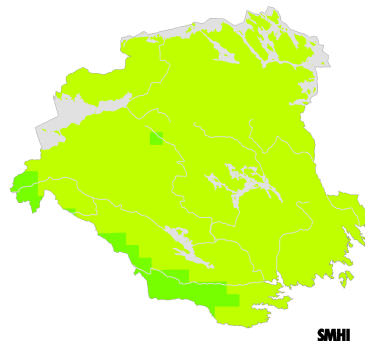


Observerat 1961-1990

Observerat 1991-2013



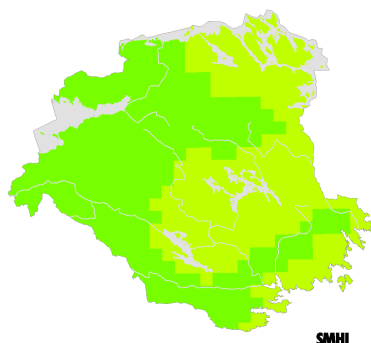
SMHI



SMHI

Beräknat 2021-2050

Beräknat 2069-2098



SMHI



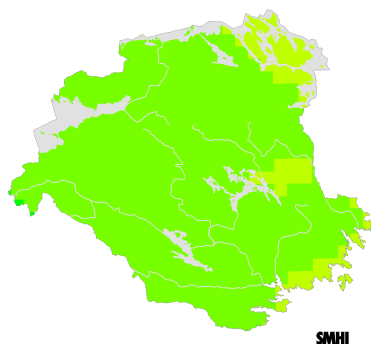
SMHI

RCP4.5

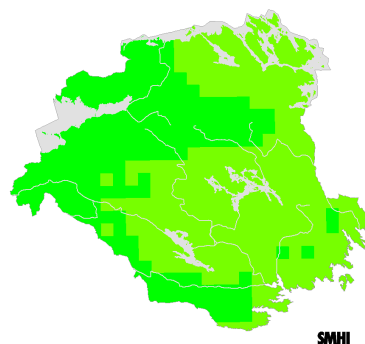
RCP8.5

### Nederbörd (mm)

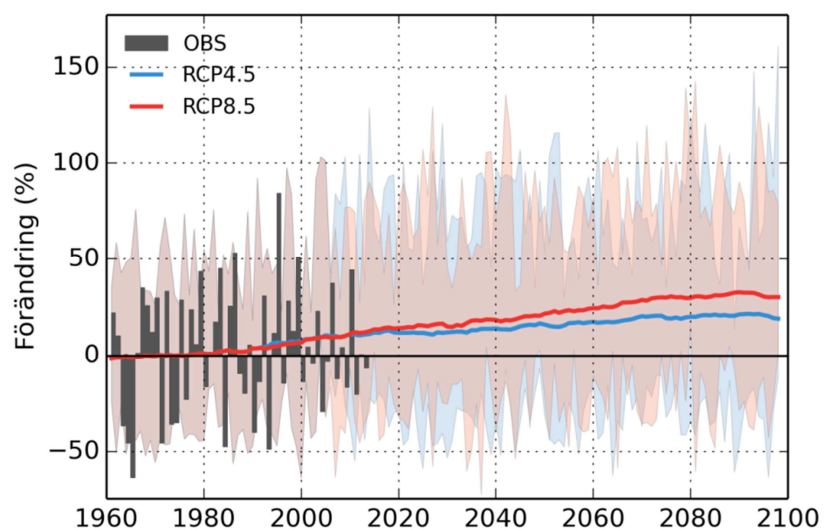
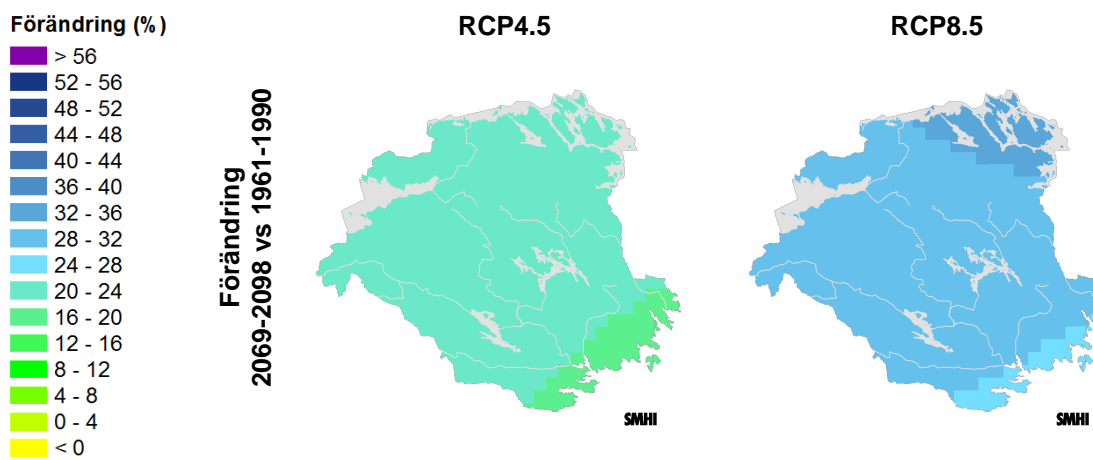
> 380
360 - 380
340 - 360
320 - 340
300 - 320
280 - 300
260 - 280
240 - 260
220 - 240
200 - 220
180 - 200
160 - 180
140 - 160
120 - 140
100 - 120
< 100



SMHI



SMHI

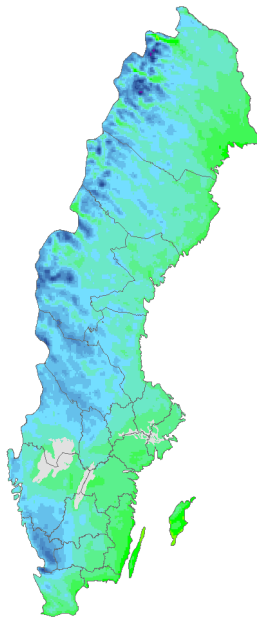


Vårmeldnederbörden summeras till 106 mm för perioden 1961-1990, men mellanårsvariationen är stor. I slutet av seklet väntas en ökning av vårnederbörden med ungefär 20 % enligt RCP4.5 och ca 30 % enligt RCP8.5.

## 5.4 Medelnederbörd sommar

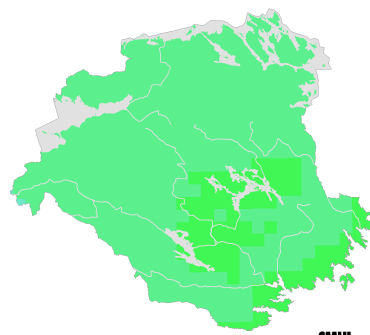
### Observerat 1961-1990

Sommar definieras här som perioden juni-augusti. Kartorna visar medelvärdet av varje periods summerade dygnsnederbörd.

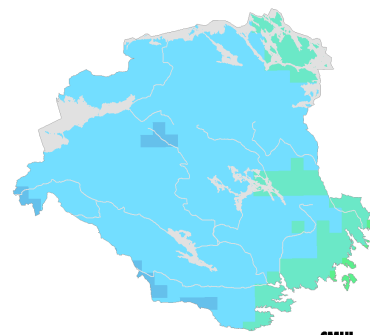


Observerat 1961-1990

Observerat 1991-2013



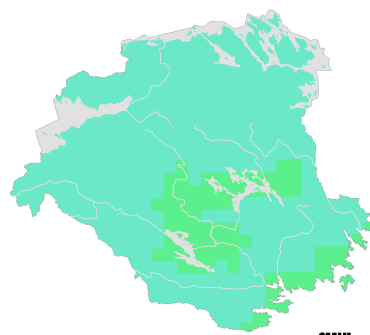
SMHI



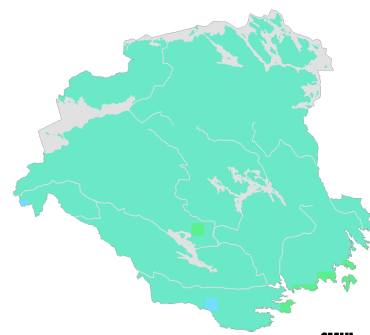
SMHI

Beräknat 2021-2050

Beräknat 2069-2098



SMHI



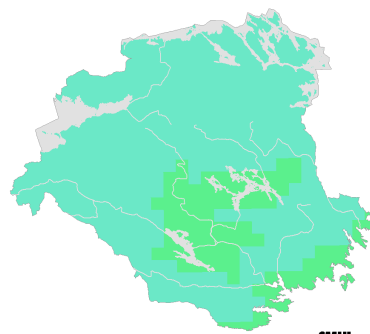
SMHI

RCP4.5

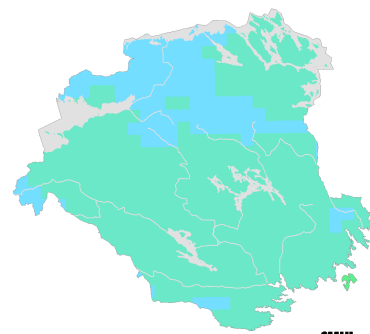
RCP8.5

### Nederbörd (mm)

> 380
360 - 380
340 - 360
320 - 340
300 - 320
280 - 300
260 - 280
240 - 260
220 - 240
200 - 220
180 - 200
160 - 180
140 - 160
120 - 140
100 - 120
< 100

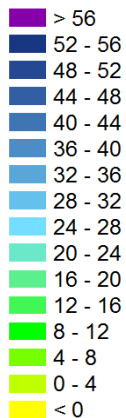


SMHI



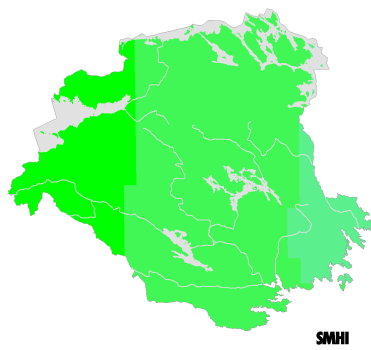
SMHI

Förändring (%)

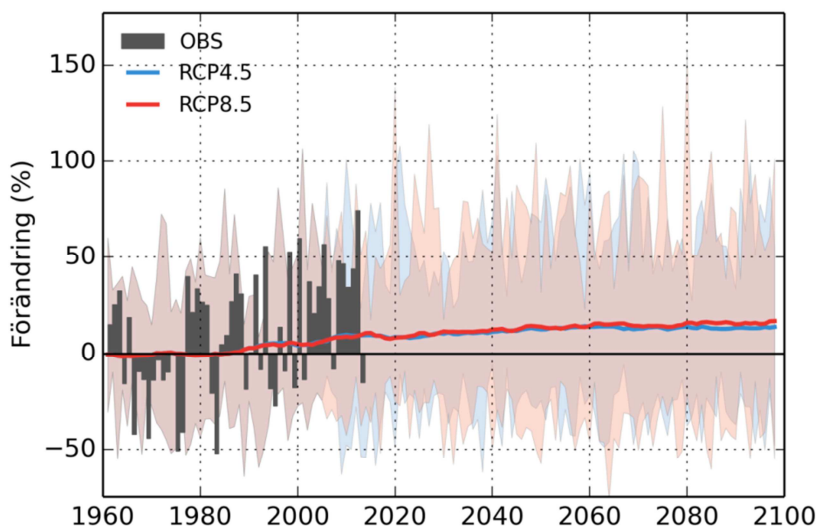
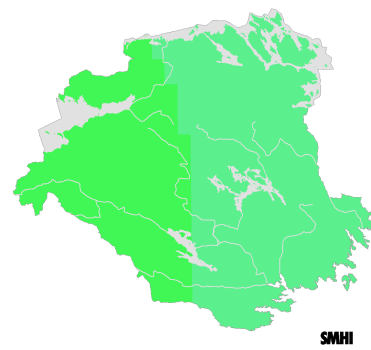


Förändring  
2069-2098 vs 1961-1990

RCP4.5



RCP8.5

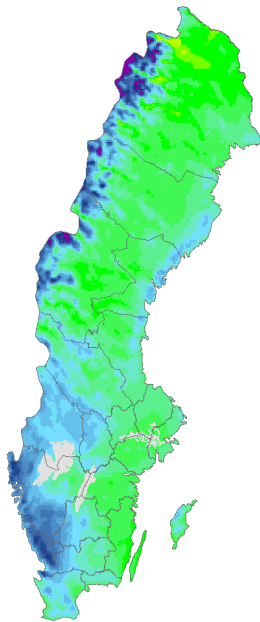


Sommaren är årstiden med störst nederbördsmängder i Södermanlands län, i genomsnitt 185 mm under perioden 1961-1990. Enligt klimatscenarierna sker en svag ökning av sommarnederbörden fram till slutet av seklet med 15-20 %. De två scenarierna är mycket lika.

## 5.5 Medelnederbörd höst

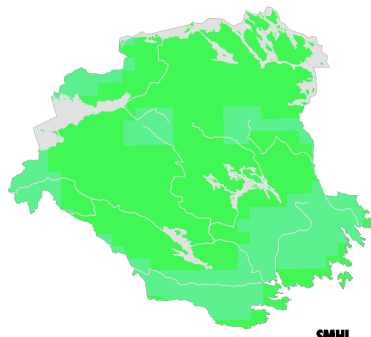
### Observerat 1961-1990

Höst definieras här som perioden september-november. Kartorna visar medelvärdet av varje periods summerade dygnsnederbörd.

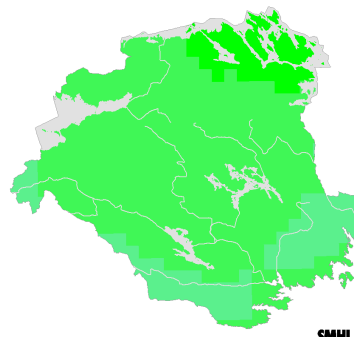


Observerat 1961-1990

Observerat 1991-2013



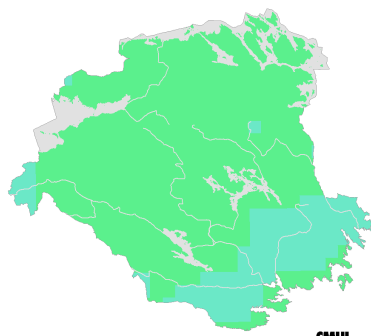
SMHI



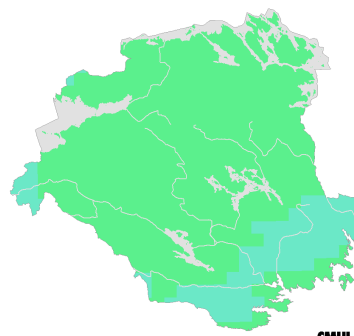
SMHI

Beräknat 2021-2050

Beräknat 2069-2098



SMHI



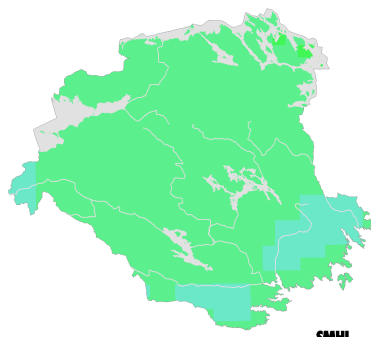
SMHI

RCP4.5

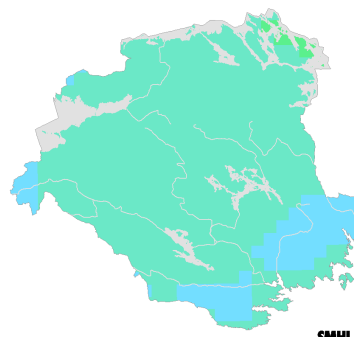
RCP8.5

### Nederbörd (mm)

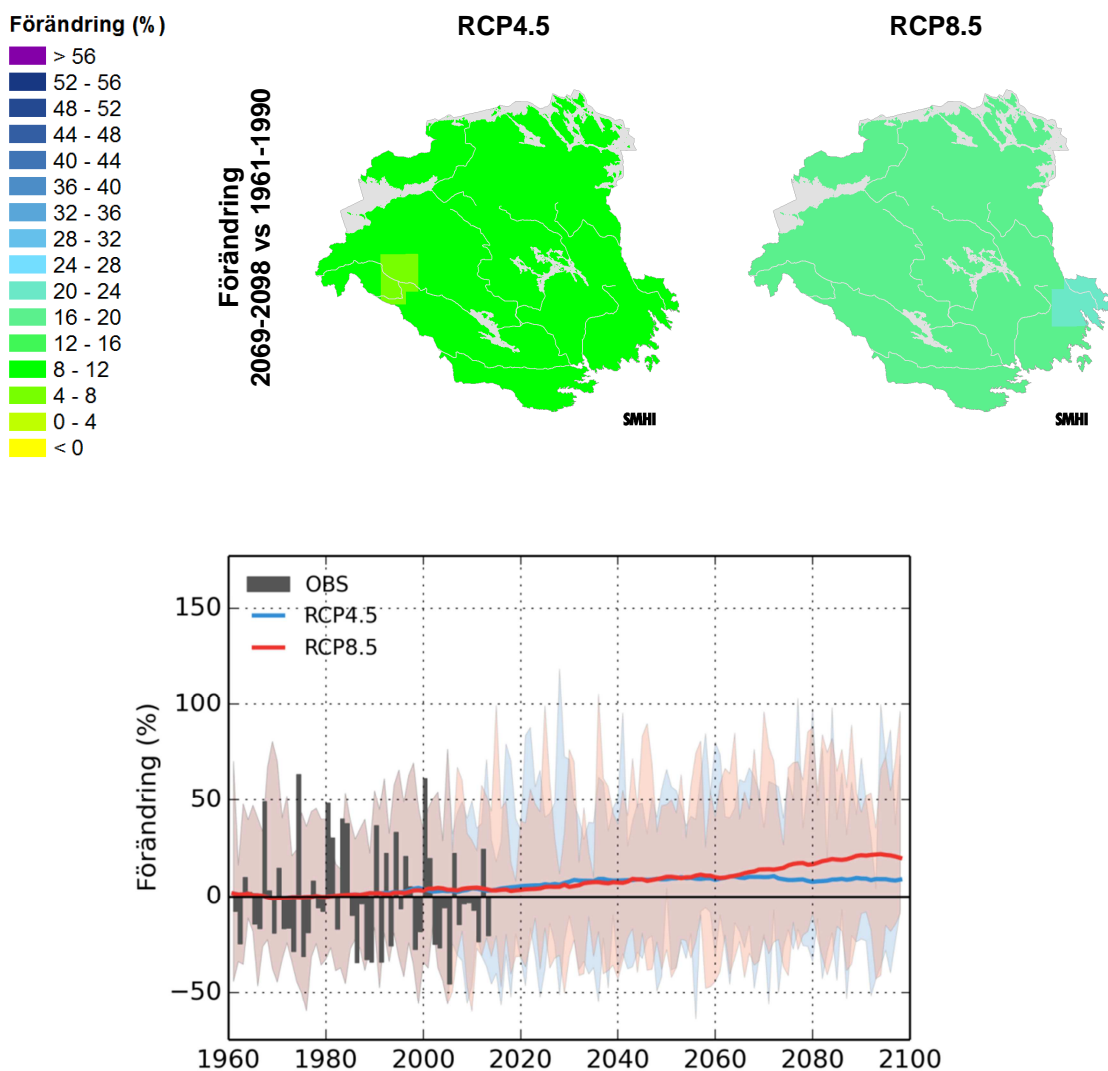
> 380
360 - 380
340 - 360
320 - 340
300 - 320
280 - 300
260 - 280
240 - 260
220 - 240
200 - 220
180 - 200
160 - 180
140 - 160
120 - 140
100 - 120
< 100



SMHI



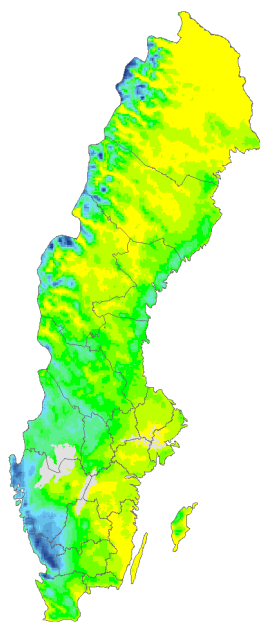
SMHI



Höstnederbörd i Södermanlands län var i medeltal 178 mm för referensperioden 1961-1990 och mellanårsvariationen är stor. Till mitten av seklet ger de båda RCP-scenarierna mycket lika resultat, en ökning på ca 10 % väntas. RCP 4.5 visar liten förändring till slutet av seklet, medan RCP8.5 visar en ökning på 20-25 %. Förändringen är jämnt fördelat över länet.

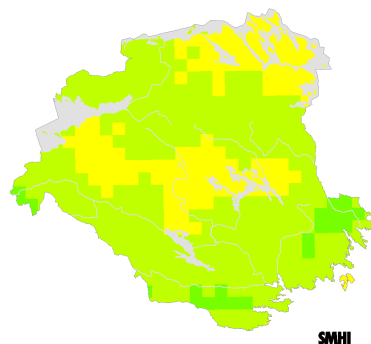
## 5.6 Antal dagar med mer än 10 mm nederbörd

### Observerat 1961-1990

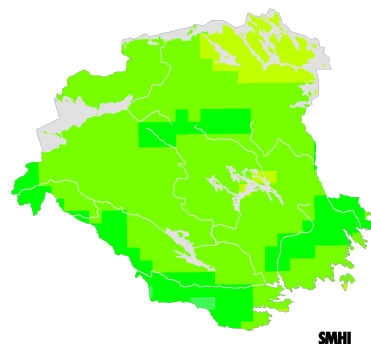


Kartorna visar medelvärdet av varje års totala antal dagar då nederbörden överstiger 10 mm. Det är ett mått på förekomsten av stora regnmängder som kan leda till översvämningar.

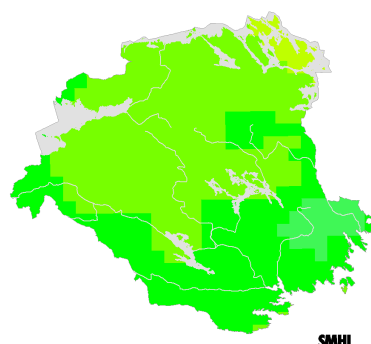
Observerat 1961-1990



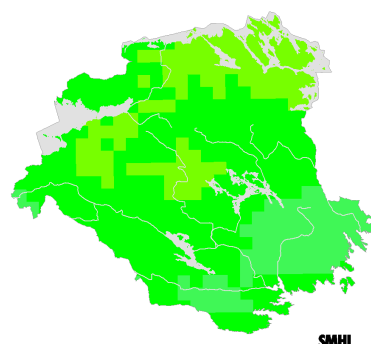
Observerat 1991-2013



Beräknat 2021-2050



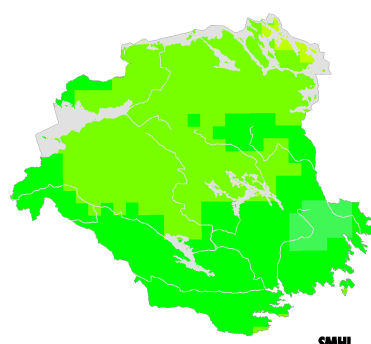
Beräknat 2069-2098



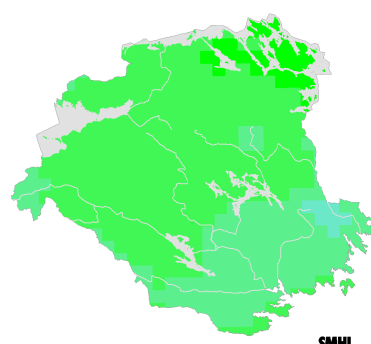
### Antal dygn

> 40
38 - 40
36 - 38
34 - 36
32 - 34
30 - 32
28 - 30
26 - 28
24 - 26
22 - 24
20 - 22
18 - 20
16 - 18
14 - 16
12 - 14
< 12

RCP4.5



RCP8.5

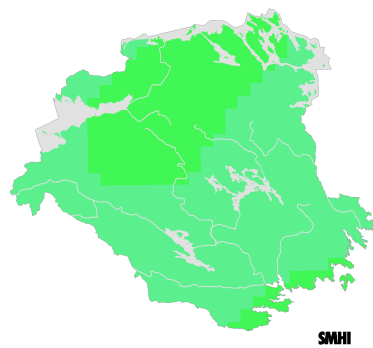


Antal dagar

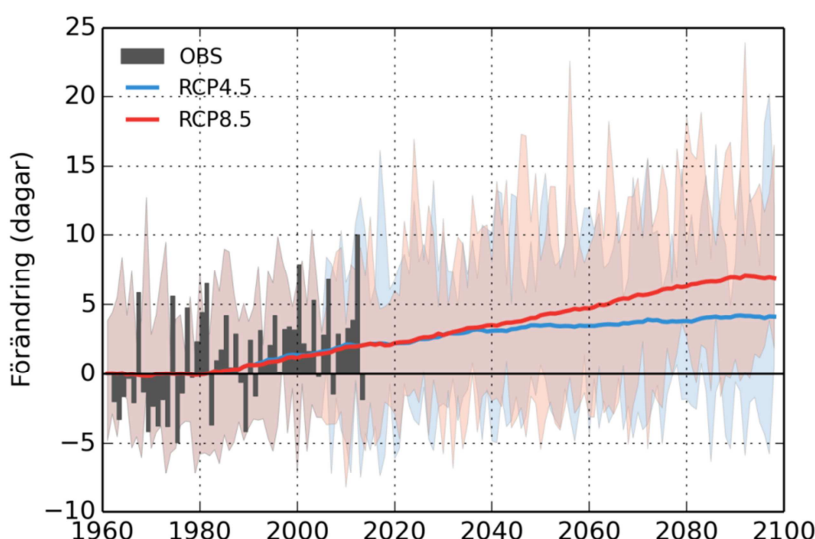


Förändring  
2069-2098 vs 1961-1990

RCP4.5



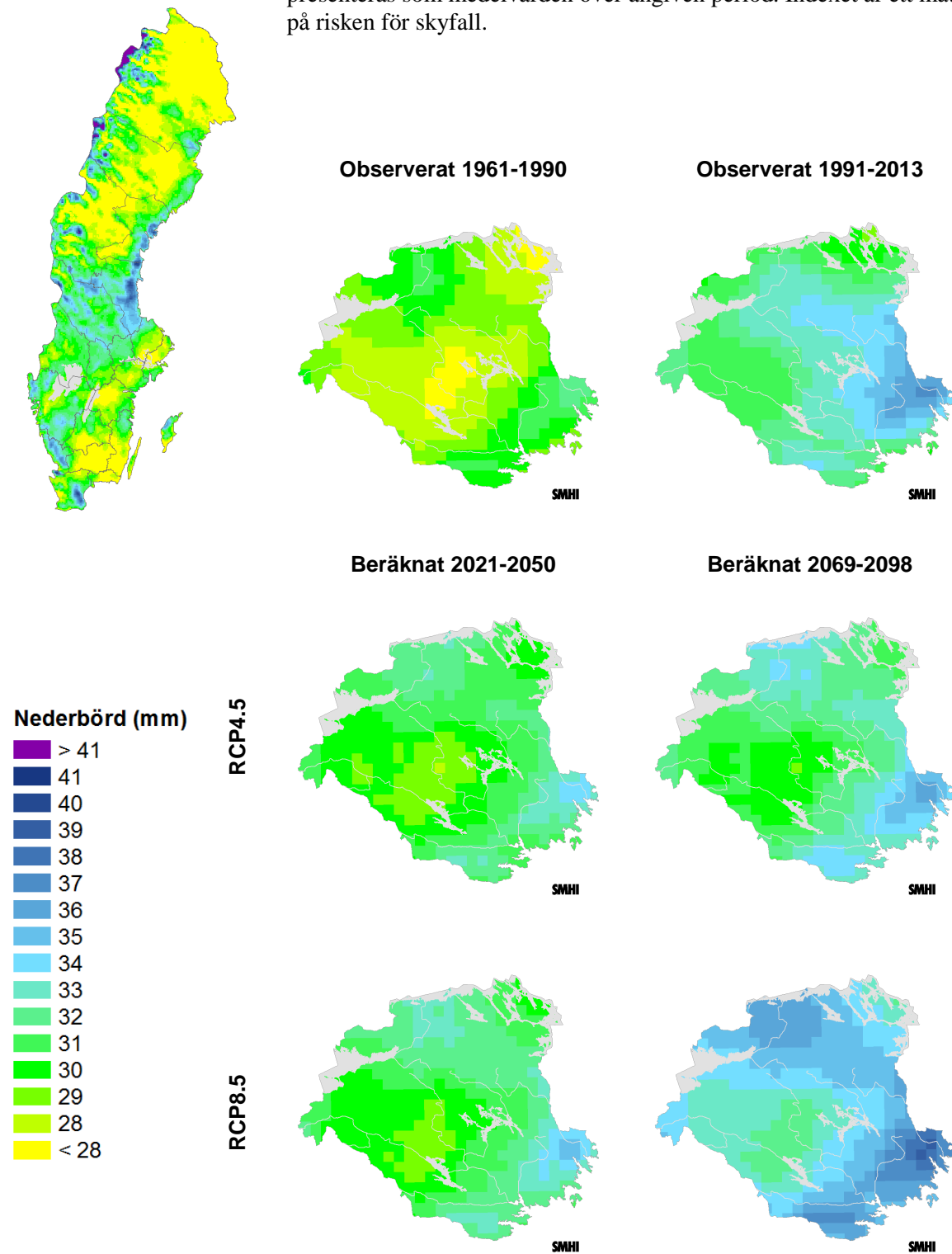
RCP8.5

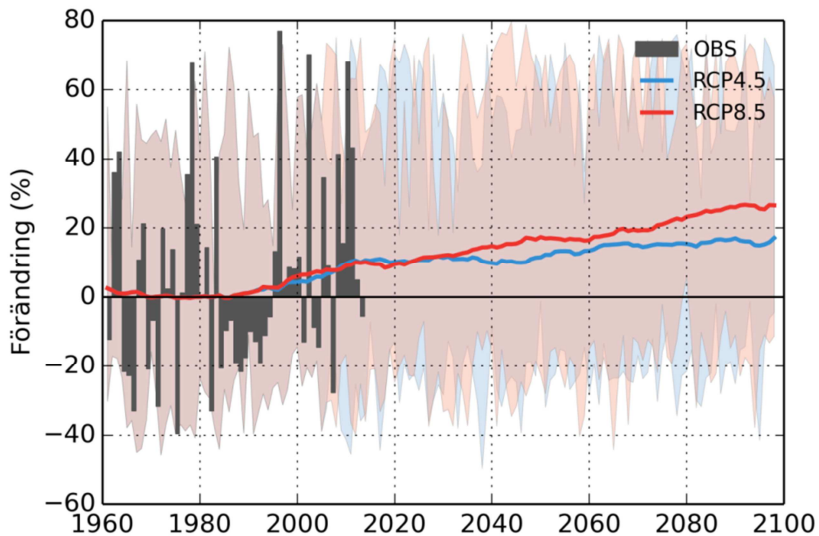


Under referensperioden 1961-1990 uppmättes mer än 10 mm nederbörd på ett dygn i genomsnitt 12 gånger på ett år. Södermanlands län väntas få fler sådana tillfällen i framtiden, enligt RCP4.5 ökar antalet dagar med ca 4 och enligt RCP8.5 med ca 7.

## 5.7 Maximal dygnsnederbörd

**Observerat 1961-1990** Indexet är ett mått på årets största dygnsnederbörd. Resultaten presenteras som medelvärdet över angiven period. Indexet är ett mått på risken för skyfall.



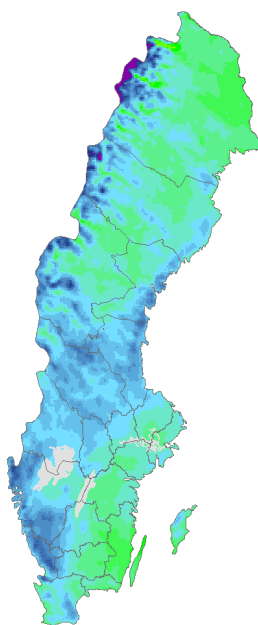


Det geografiska medelvärdet över hela länet av årets största dygnsnederbörd för perioden 1961-1990 är 28 mm, men enligt diagrammet varierar mängden mycket från år till år och ett enskilt regn kan lokalt ge betydligt större regnmängder.

Scenarierna visar båda på en ökning av den högsta dygnsnederbörden. Till slutet av seklet ger RCP8.5 en ökning på upp mot 30 % medan RCP4.5 visar en förändring på knappt 20 %. Kartorna för de två observationsperioderna visar att den geografiska förekomsten av maximal dygnsnederbörd är oregelbunden. Det betyder att ett kraftigt regn kan förekomma i princip var som helst i länet även fast det tycks vara något vanligare längst i öster. Nederbördsfördelningen inom länet för de framtida perioderna bör ändå tolkas med försiktighet.

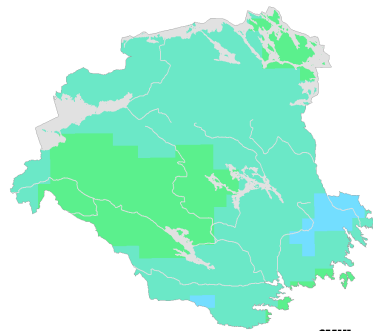
## 5.8 Maximal 7-dygnsnederbörd

### Observerat 1961-1990

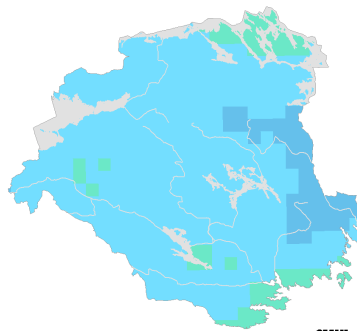


Indexet är ett mått på årets största 7-dygnsnederbörd. Resultaten presenteras som medelvärdet över angiven period. Indexet kan till exempel användas för bedömning av förändringar i vattenflöde i små och medelstora naturvattendrag och diken.

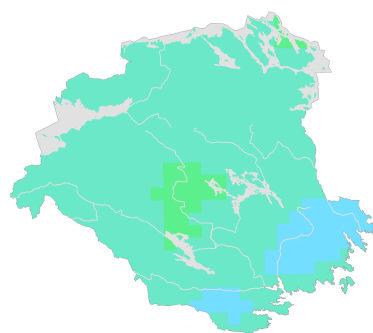
Observerat 1961-1990



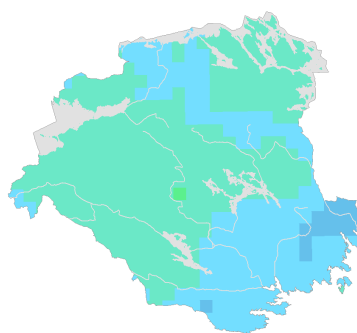
Observerat 1991-2013



Beräknat 2021-2050



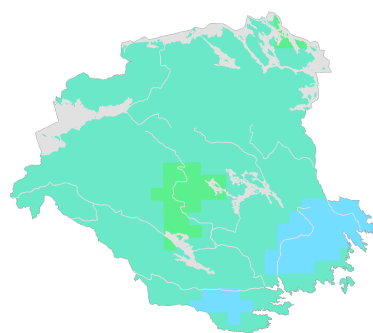
Beräknat 2069-2098



### Nederbörd (mm)

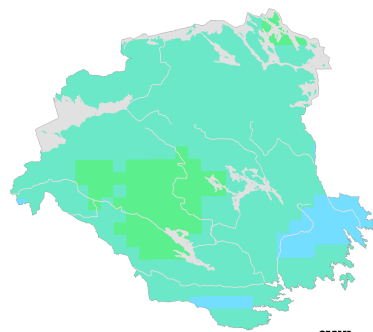
> 105
100 - 105
95 - 100
90 - 85
85 - 90
80 - 85
75 - 80
70 - 75
65 - 70
60 - 65
55 - 60
50 - 55
45 - 50
40 - 50
35 - 40
<35

### RCP4.5



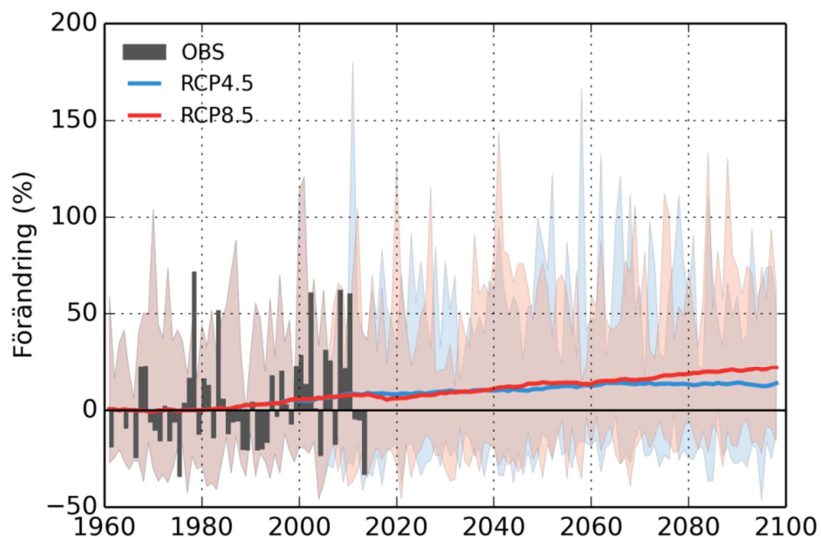
SMHI

### RCP8.5



SMHI

SMHI



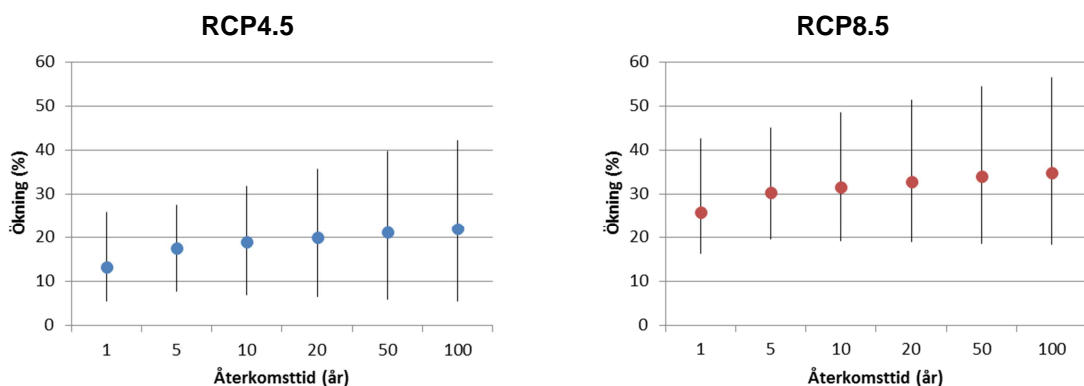
Det geografiska medelvärdet av årets största 7-dygsnederbörd för perioden 1961-1990 är 61 mm, men som diagrammet visar varierar mängden mycket från år till år. Lokalt kan det förekomma större regnmängder. Scenarierna visar på en ökning av 7-dygsnederbörden, RCP8.5 ger en ökning på ca 25 % till slutet av seklet och RCP4.5 visar på något mindre förändring.

## 5.9 Förändring av korttidsnederbörd

I föregående avsnitt har nederbörd analyserats utifrån dygnsvärden, både på års-, säsongs- och dygnsbasis. SMHI har även gjort studier av hur intensiv nederbörd kan förändras i framtiden.

Som underlag till Dricksvattenutredningen publicerades en rapport som bland annat innehåller kartor på sverigeskala över så kallad framtidens extrem korttidsnederbörd (Eklund m.fl., 2015). Baserat på den studien har nedanstående diagram framtagits för Södermanlands län över extrem nederbörd med 1-timmars varaktighet (figur 4). Diagrammen beskriver den procentuella ökningen av 1-timmessnederbörd för perioden 2069-2098 jämfört med referensperioden 1961-1990.

Resultatet presenteras för olika återkomsttider, ett mått på hur ofta förekomsten av extrema naturliga händelser kan förväntas. Med en händelses återkomsttid menas att händelsen i genomsnitt inträffar eller överträffas en gång under denna tid. Se ytterligare förklaring i Ordlistan.



Figur 4. Procentuell förändring av nederbörd med varaktigheten 1 timme mellan perioderna 2069-2098 och 1961-1990 för Södermanlands län. Punkterna representerar medianvärden och vertikala streck visar spridningen mellan de olika modellberäkningarna.

Den extrema 1-timmessnederbördens förväntas öka, och RCP8.5 visar på större förändring än RCP4.5. Ökningen är störst för de längre återkomsttiderna, dvs. de mer ovanliga extrema skurarna. Dock visar beräkningarna även på 10-30 % ökning för de årligen återkommande skurarna.

## 6 Total medeltillrinning

Avsnittet behandlar den totala tillrinningen dvs. det ackumulerade flödesbidraget från alla avrinningsområden som ligger uppströms, även utanför länsgränsen. Indexen kan vara av intresse för att bedöma vattentillgång till kraftproduktion och vattenuttag, samt för planering av markanvändning, som exploatering i områden kring sjöar och vattendrag. I Figur 5 är de utvalda vattendragen för analys av total tillrinning markerade med punkter. Gula områden används för analyser av lokal tillrinning, vilka redovisas i avsnitt 7.



Figur 5. Kartan visar avrinningsområden (röda linjer) och delområden enligt HBV-modellen (ljusgrå linjer). De markerade vattendragspunkterna relaterar till diagrammen över total tillrinning i rapporten. De gulmarkerade områdena avser beräkningarna för lokal tillrinning och markfuktighet. Södermanlands län är markerat med mörkgrå linje.

### 6.1 Förändrad total medeltillrinning för år och säsonger

I diagrammen på följande sidor redovisas beräkningar av framtidens hydrologiska förhållanden avseende total tillrinning.

För länet beräknas en ökning av den totala årsmedeltillrinningen för Nyköpingsån Kolsnaren och Varbo med ca 5 % i slutet av seklet. Av diagrammen framgår att Mälaren, Nyköpingsån Båven samt mynning och Kilaån uppvisar oförändrade förhållanden i slutet av seklet. Eskilstunaån och Trosaån uppvisar en svag minskning med 5-10 % beroende på scenario.

Den största förändringen av totala tillrinningen sker för vinterperioden eftersom nederbördön ökar och vintrarna blir milder. Mot mitten av seklet ses en generell ökning över länet men med variationer. Ökningen fortsätter mot slutet av seklet. Av diagrammen framgår att ökningen är störst för Mälaren och Kilaån. Där visar RCP 8.5 på en ökning med ca 60 % och RCP4.5 på en ökning med ca 40 % i slutet av seklet.

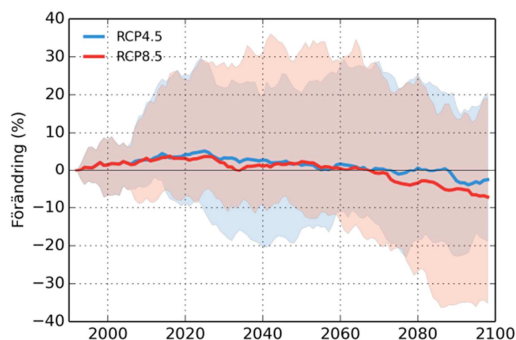
Våren visar på minskad total tillrinning förutom för Eskilstunaån och Nyköpingsåns mynning där tillrinningen är oförändrad. Även sommarperioden uppvisar minskade totala tillrinningar för

samtliga analyserade vattendrag på grund av att temperaturen och således avdunstningen ökar. Störst är minskningen i Trosaån och Mälaren.

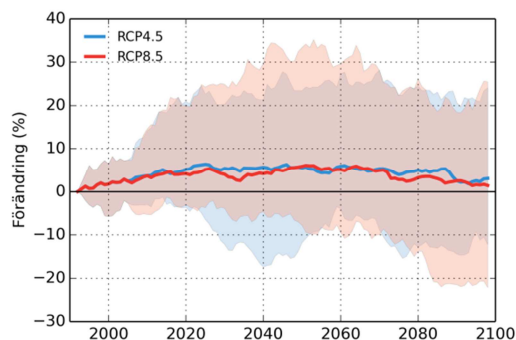
Under höstperioden ses minskade totala tillrinningar för Eskilstunaån, Trosaån och Nyköpingsåns mynning. Övriga vattendrag visar på oförändrade tillrinningar jämfört med dagens klimat.

## Förändrad total årsmedeltillrinning

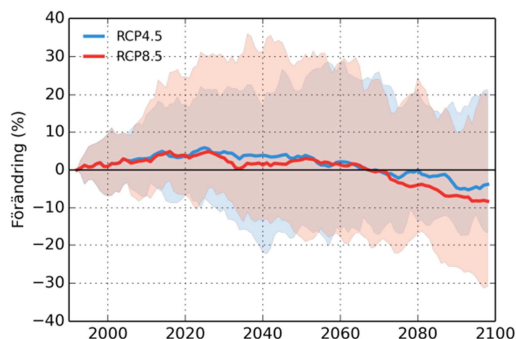
Eskilstunaån



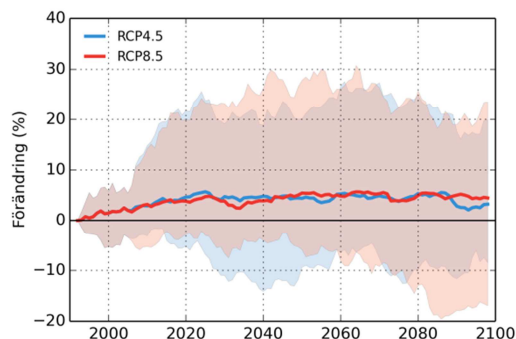
Mälaren vid Stockholm



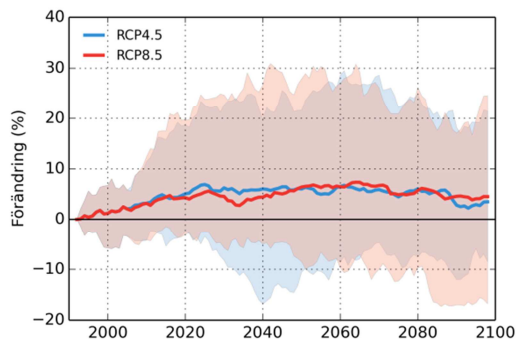
Trosaån



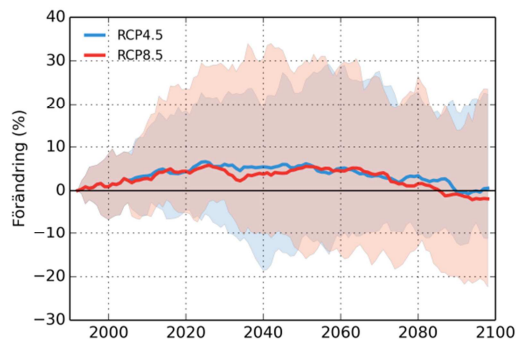
Nyköpingsåns Kolsnaren



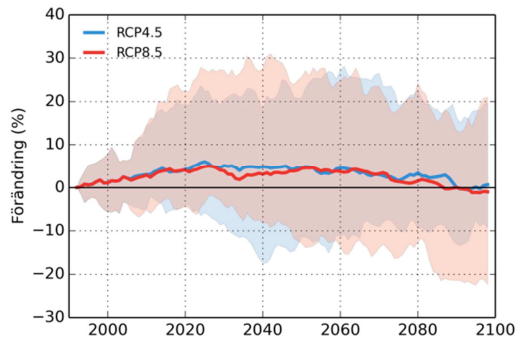
Nyköpingsåns Varbo



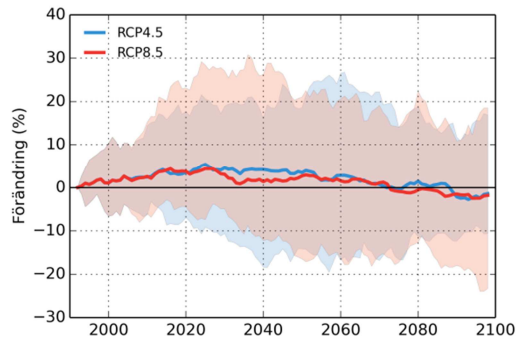
Nyköpingsåns Båven



Nyköpingsåns mynning

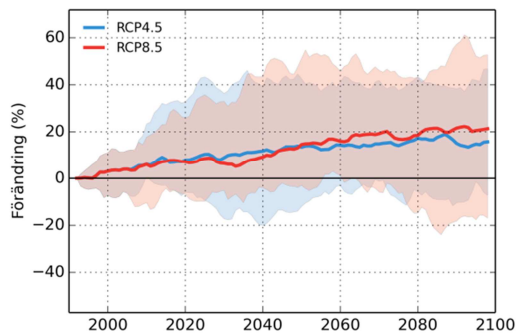


Kilaån

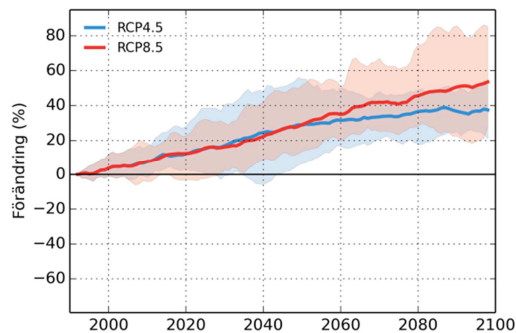


## Förändrad total medeltillrinning vinter

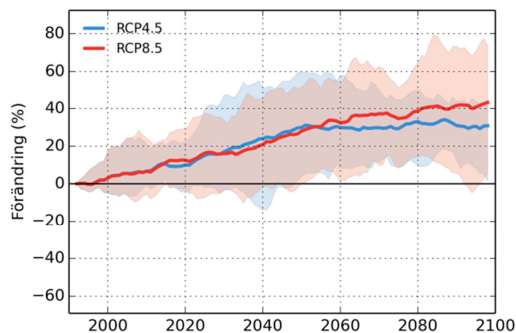
Eskilstunaån



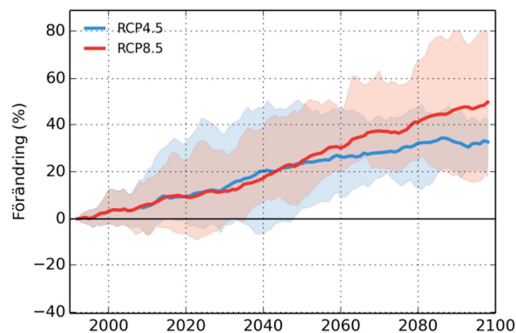
Mälaren vid Stockholm



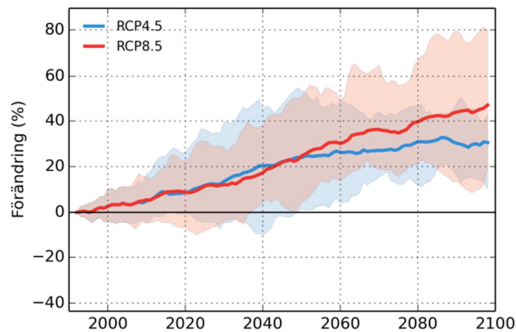
Trosaån



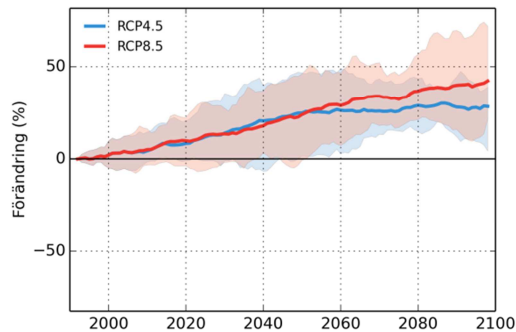
Nyköpingså Kolsnaren



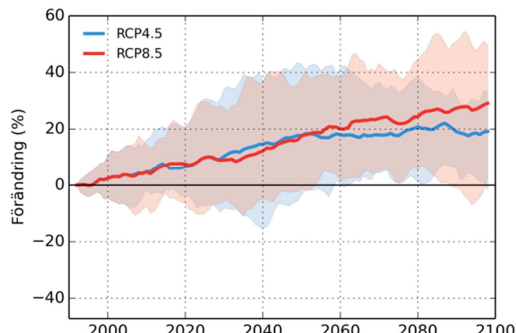
Nyköpingså Varbo



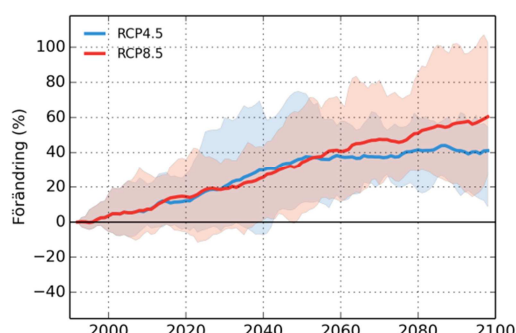
Nyköpingså Båven



Nyköpingså mynning

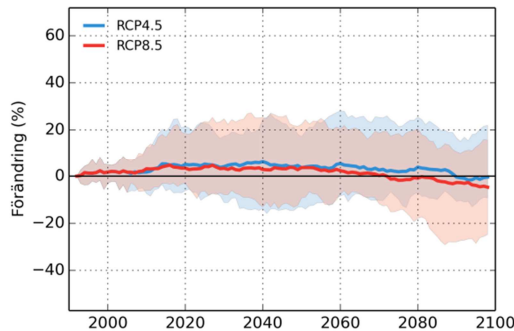


Kilaån

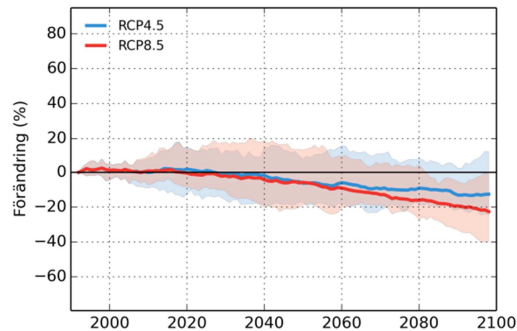


## Förändrad total medeltillrinning vår

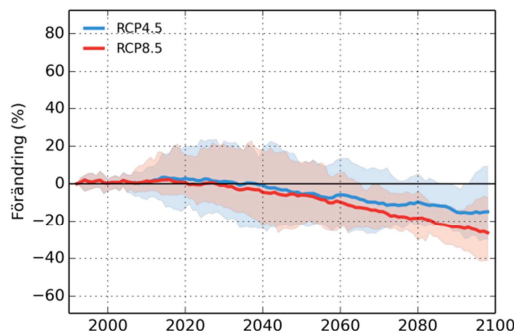
Eskilstunaån



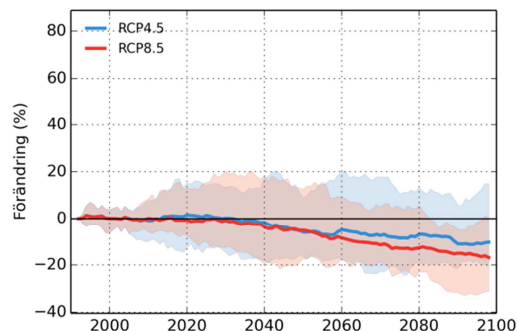
Mälaren vid Stockholm



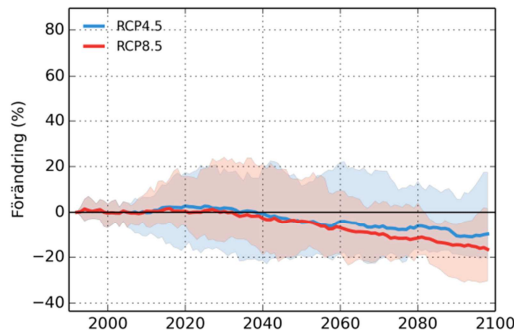
Trosaån



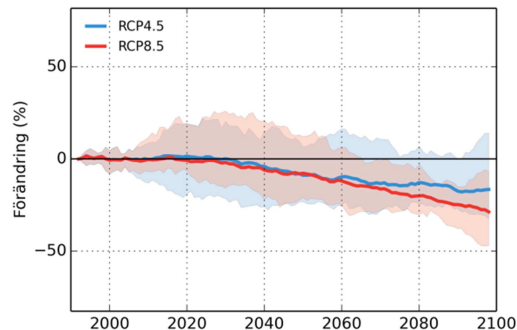
Nyköpingså Kolsnaren



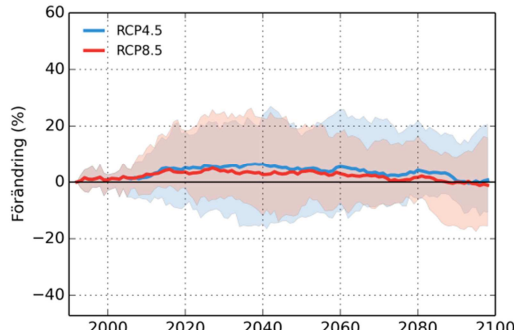
Nyköpingså Varbo



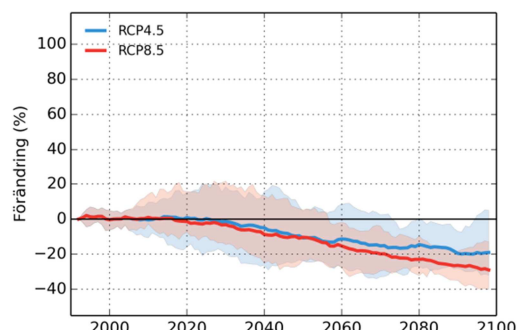
Nyköpingså Båven



Nyköpingså mynning

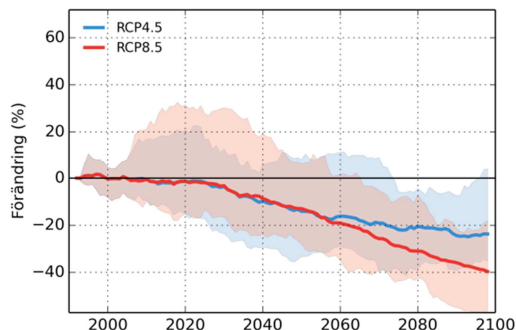


Kilaån

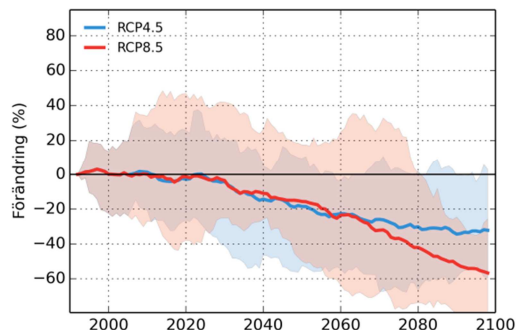


## Förändrad total medeltillrinning sommar

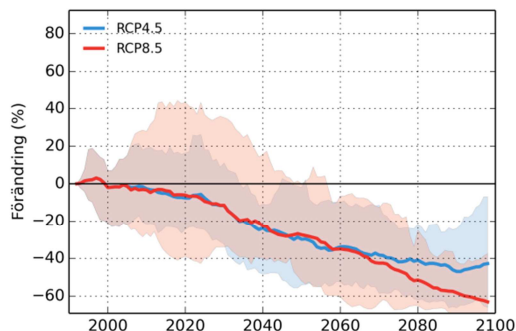
Eskilstunaån



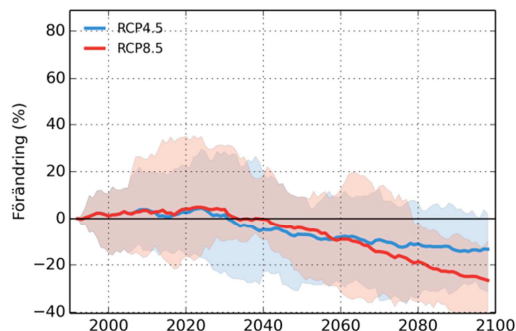
Mälaren vid Stockholm



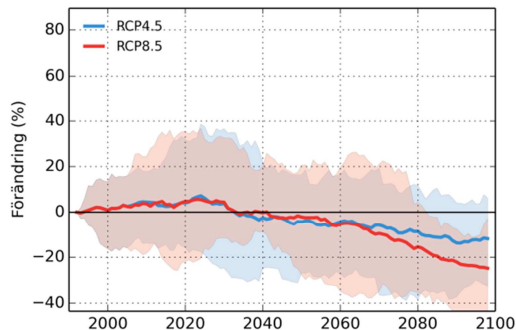
Trosaån



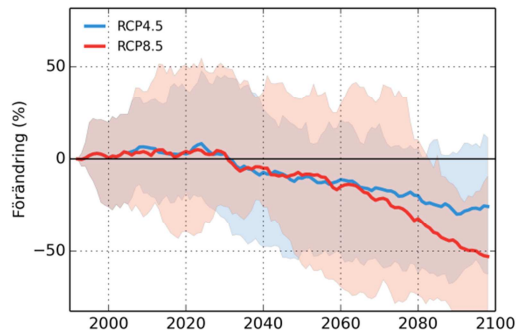
Nyköpingså Kolsnaren



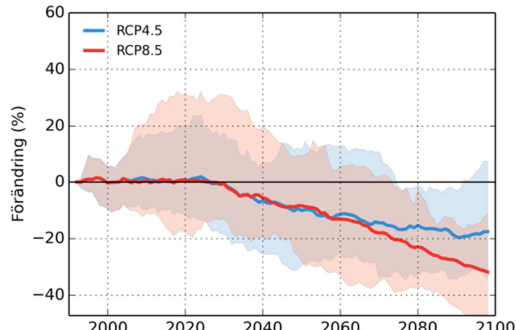
Nyköpingså Varbo



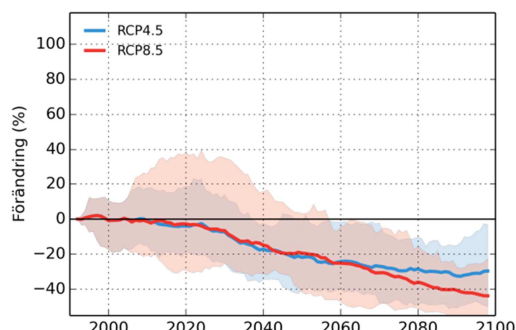
Nyköpingså Båven



Nyköpingså mynning

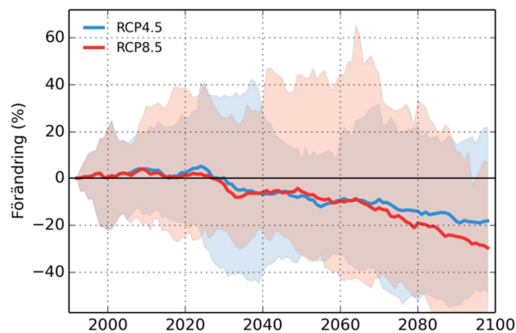


Kilaån

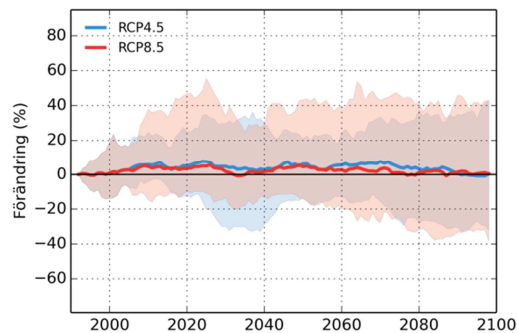


## Förändrad total medeltillrinning höst

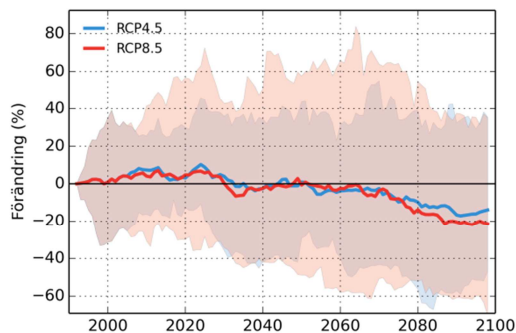
Eskilstunaån



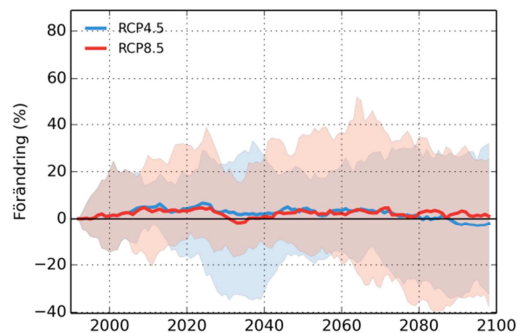
Mälaren vid Stockholm



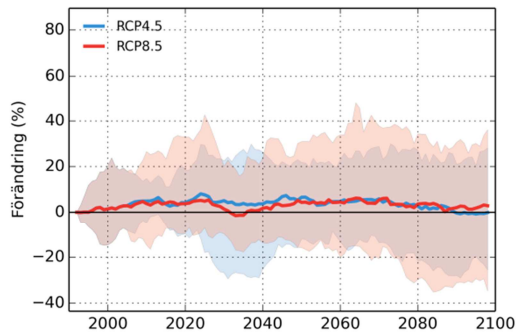
Trosaån



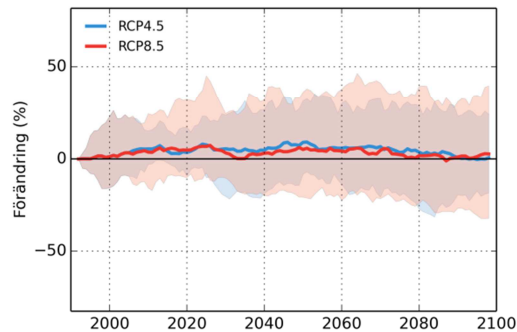
Nyköpingsåns Kolsnaren



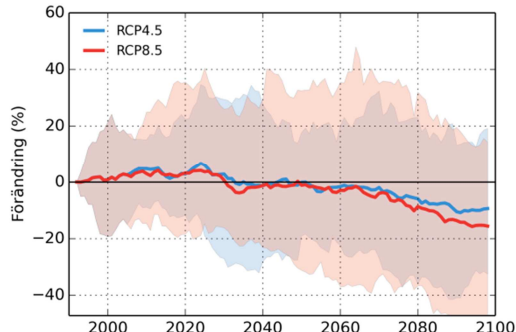
Nyköpingsåns Varbo



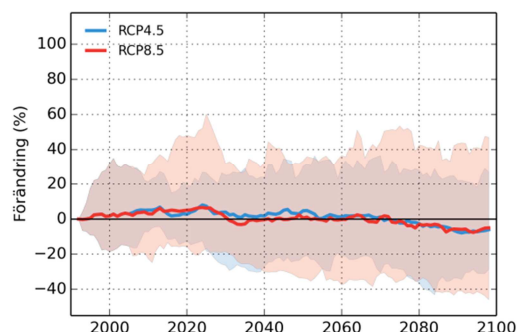
Nyköpingsåns Båven



Nyköpingsåns mynning

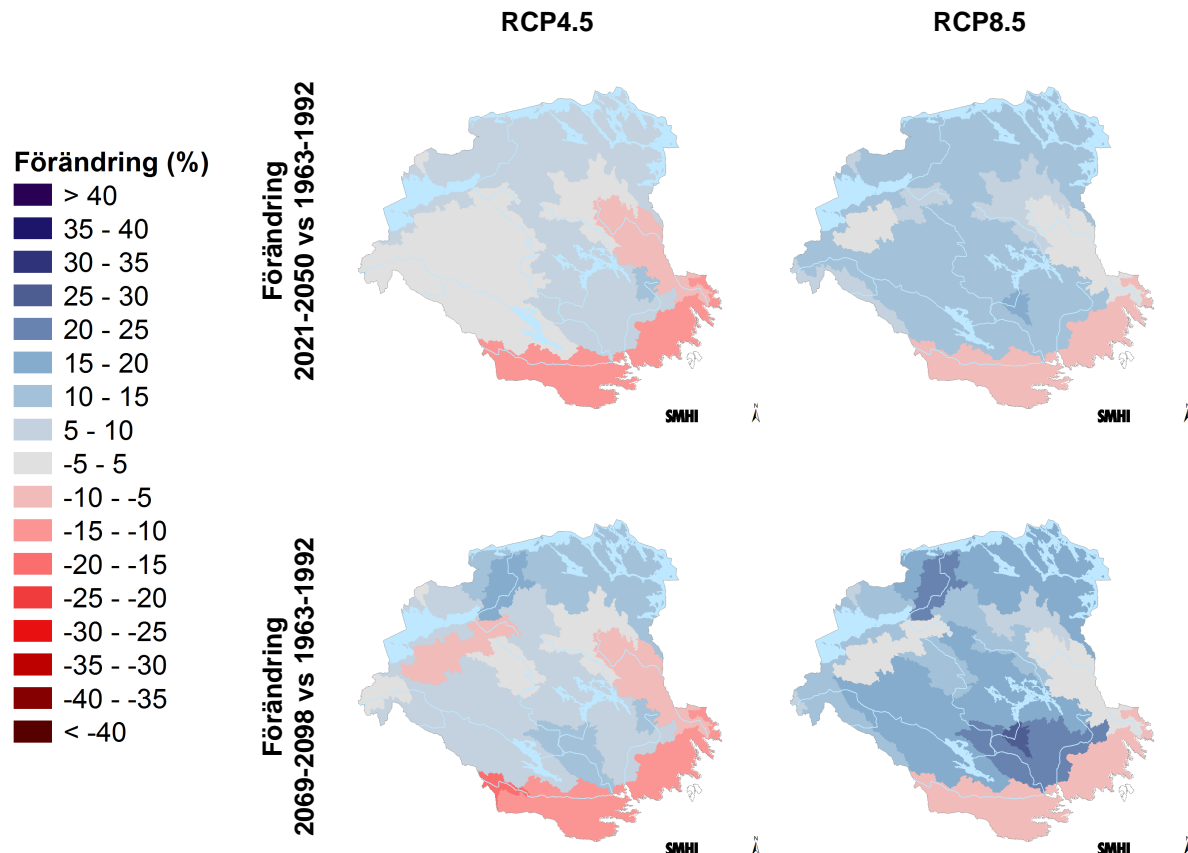


Kilaån



## 6.2 Förändrad total 10-årstillrinning

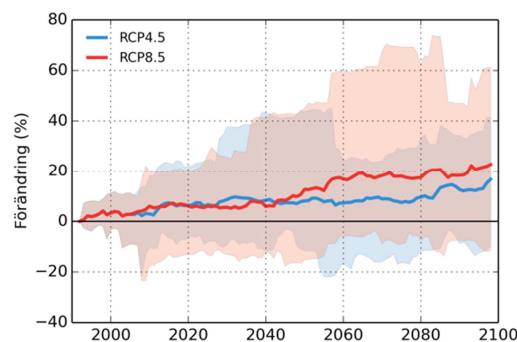
Kartorna visar den procentuella förändringen jämfört med medelvärdet för referensperioden. Indexet avser total dygnsmedeltillrinning med återkomsttid 10 år. Kartor och diagram ger en uppfattning om hur relativt vanliga högflöden kommer att öka eller minska och var det sker. Det är speciellt intressant för områden som idag lätt översvämmas.



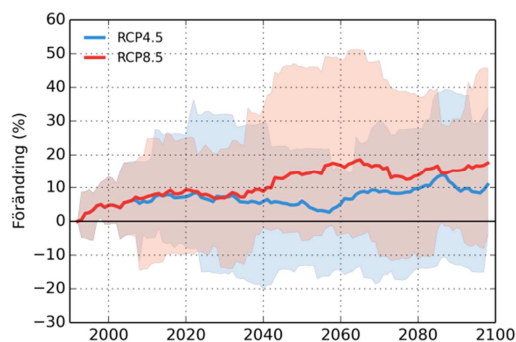
För flöden med återkomsttid 10 år är de beräknade framtida förhållandena i länet lite blandade. Mot slutet av seklet ökar 10-års tillrinning enligt RCP8.5 förutom i de sydliga delarna där den minskar. RCP4.5 visar liknande förhållanden.

Diagrammen visar att Eskilstunaån, Mälaren och Nyköpingsån (ibland inte RCP4.5) går mot ökade 10-årstillrinningar. Trosaån RCP4.5 och Kilaån går mot minskade 10-årstillrinningar.

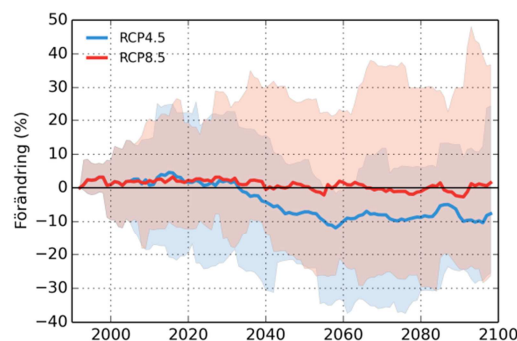
Eskilstunaån



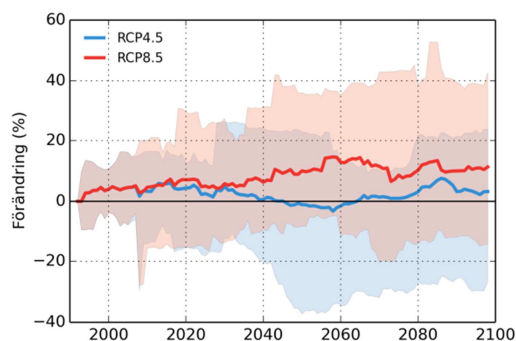
Mälaren vid Stockholm



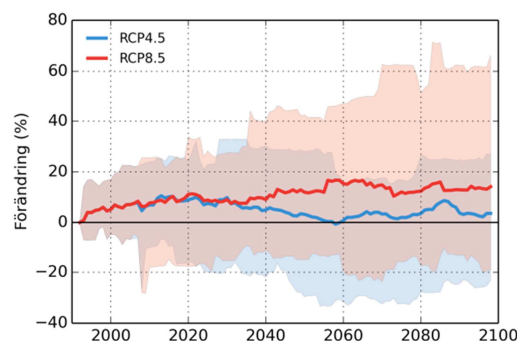
Trosaån



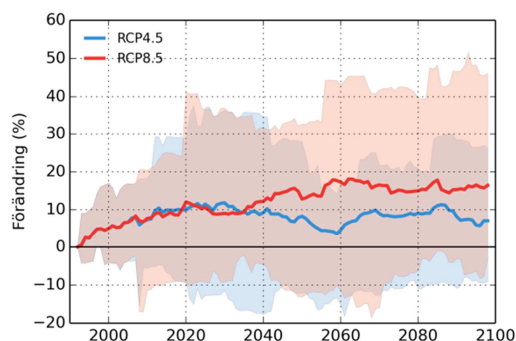
Nyköpingsåns Kolsnaren



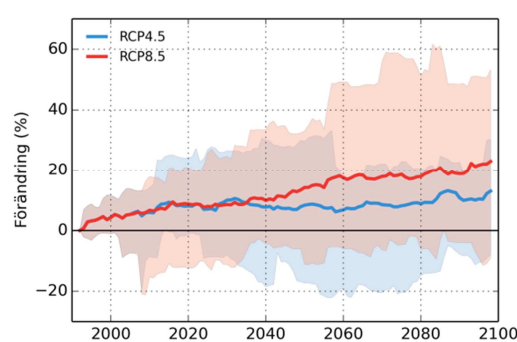
Nyköpingsåns Varbo



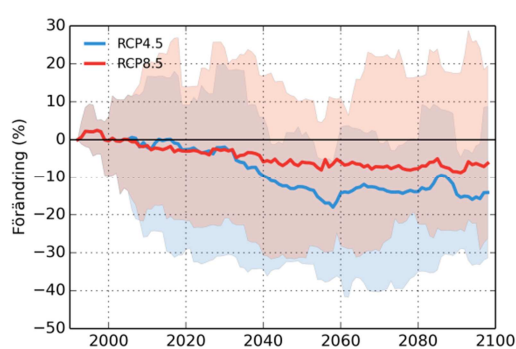
Nyköpingsåns Båven



Nyköpingsåns mynning

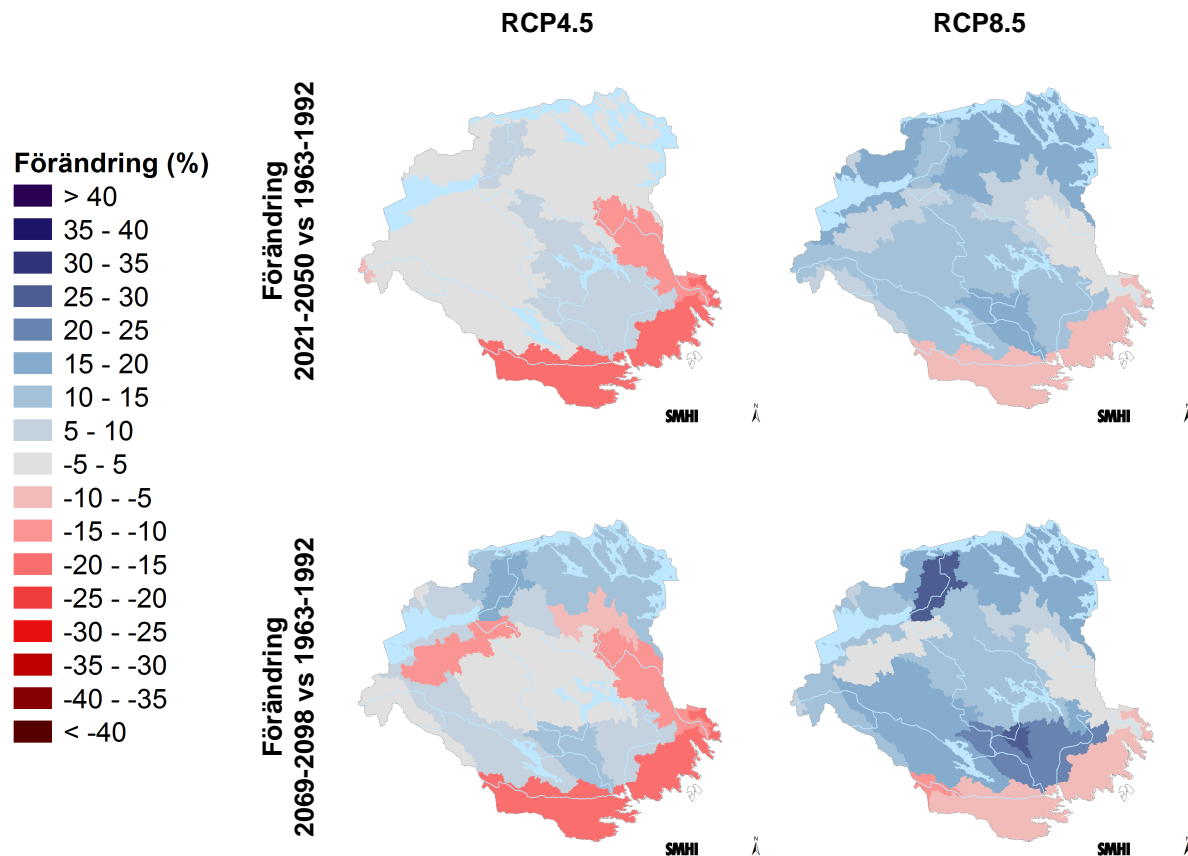


Kilaån



### 6.3 Förändrad total 100-årstillrinning

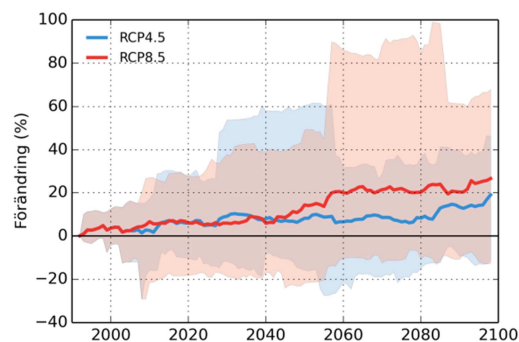
Kartorna visar den procentuella förändringen jämfört med medelvärdet för referensperioden. Indexet avser total dygnsmedeltillrinning med återkomsttid 100 år och kan vara till hjälp vid bedömningar av översvämningsrisker längs sjöar och vattendrag.



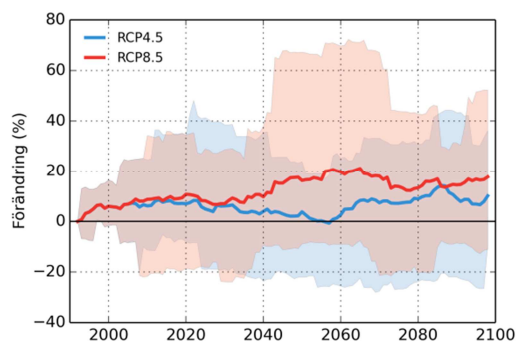
Kartorna uppvisar stora likheter med 10-årstillrinningen med minskande 100-årstillrinning. Mot slutet av seklet ökar 100-års tillrinning enligt RCP8.5 förutom i de sydliga delarna där den minskar. RCP4.5 visar liknande förhållanden

Diagrammen visar på samma sätt som för 10-årstillrinningen att Eskilstunaån, Mälaren och Nyköpingsån (ibland inte RCP4.5) går mot ökade 100-årstillrinningar. Trosaån RCP4.5 och Kilaån går mot minskade 100-årstillrinningar.

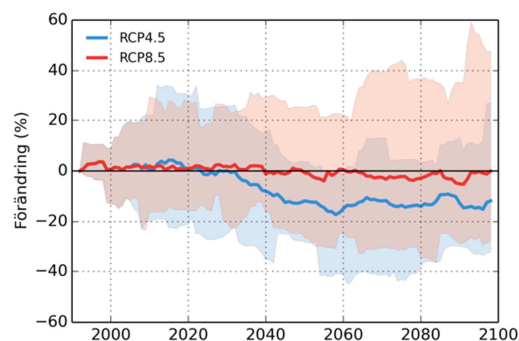
Eskilstunaån



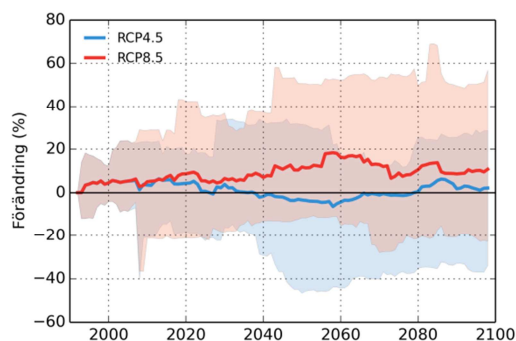
Mälaren vid Stockholm



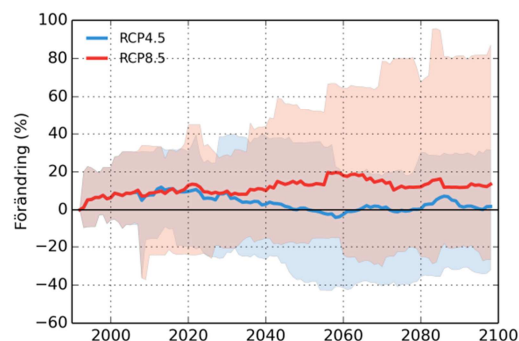
Trosaån



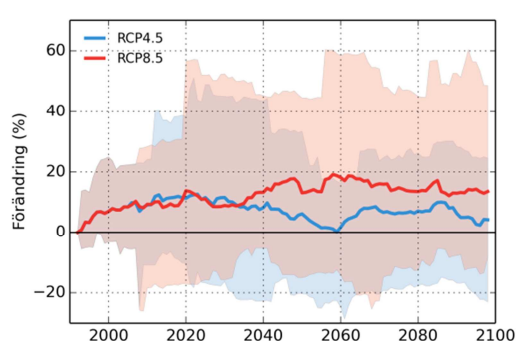
Nyköpingså Kolsnaren



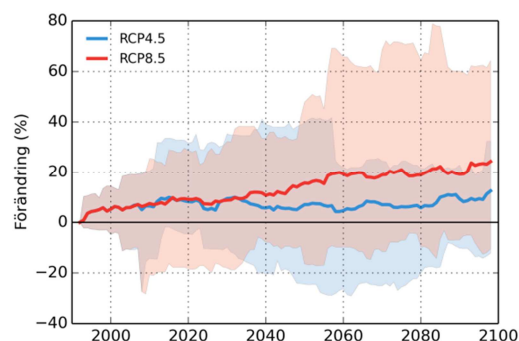
Nyköpingså Varbo



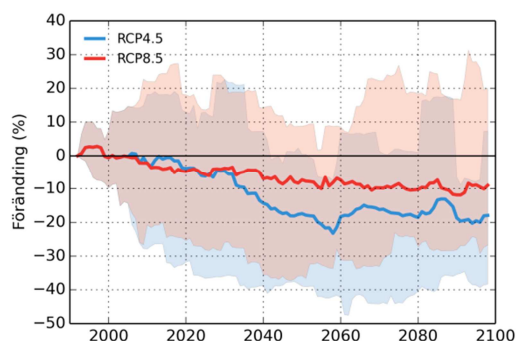
Nyköpingså Båven



Nyköpingså mynning



Kilaån



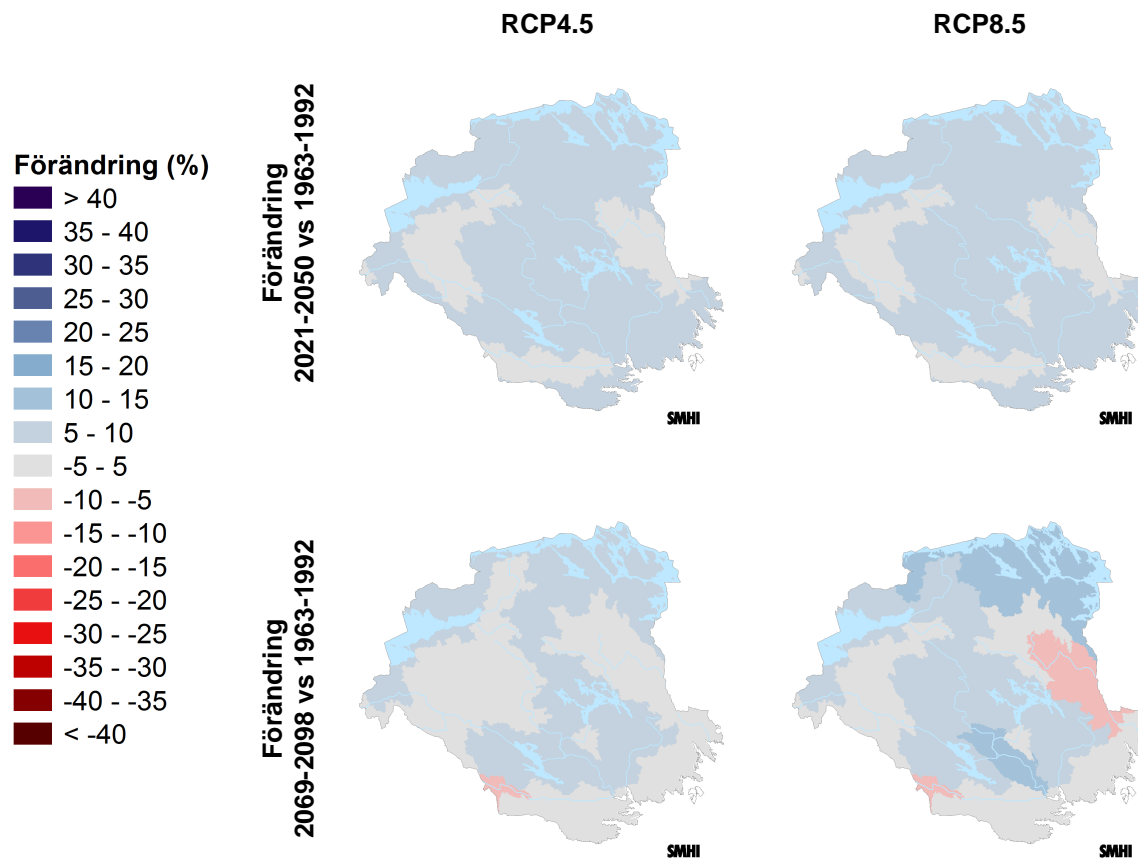
## 7 Lokal medeltillrinning

Avsnittet behandlar den lokala tillrinningen, dvs. flödesbidraget från enbart det aktuella avrinningsområdet (utan bidrag från avrinningsområden som ligger uppströms). Detta ger en bild av hur mindre vattendrag vars vattenföring<sup>2</sup> enbart beror på lokala förhållanden, påverkas. Indexen kan användas för att se hur klimatförändringar förväntas förändra de lokala flödesmängderna, vilka bland annat påverkar förutsättningarna för liv i vattnet. Indexen kan även användas för att bedöma förändring av potentialen för kraftproduktion i mindre vattendrag.

Kartorna visar den procentuella förändringen jämfört med medelvärdet för referensperioden. Diagram visas i detta avsnitt för endast två delavrinningsområden, vilka är markerade i Figur 5. Eskilstunaån representerar områden norr i länet och Kilaån representerar områden söderut i länet.

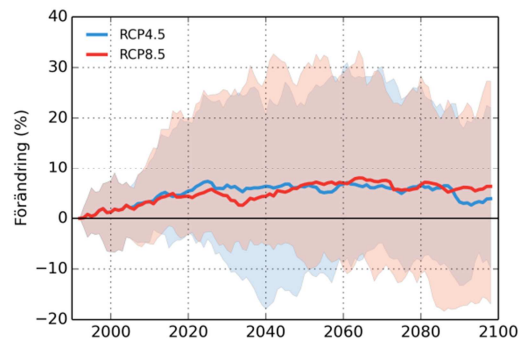
### 7.1 Förändrad lokal årsmedeltillrinning

Kartorna visar den procentuella förändringen jämfört med medelvärdet för referensperioden. Indexet avser 30-årsmedelvärden av tillrinning på årsbasis.

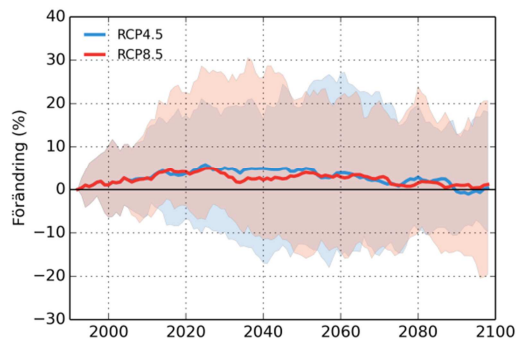


<sup>2</sup> Med vattenföring eller vattenflöde menas den mängd vatten per tidsenhet som rinner fram i ett vattendrag

### Eskilstunaån



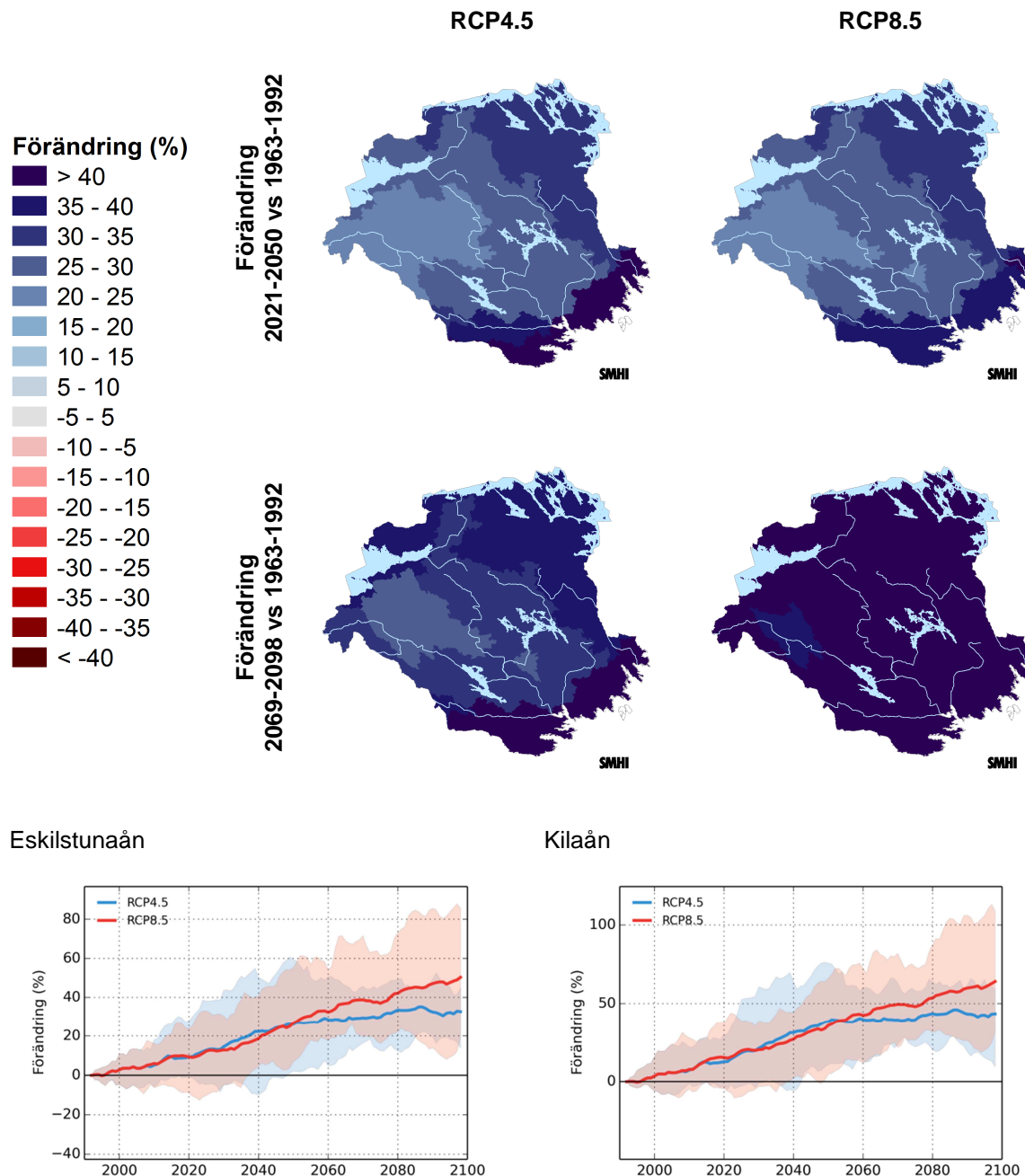
### Kilaån



Kartorna visar på något ökad tillrinning i mitten av seklet i stora områden av länet. I slutet av seklet visar beräkningarna på fler områden med oförändrade förhållanden. Eskilstunaån och Kilaån har ökad tillrinning i mitten av seklet. I slutet av seklet förväntas ca 5% ökning i Eskilstunaån och oförändrade förhållanden i Kilaån.

## 7.2 Förändrad lokal medeltillrinning vinter

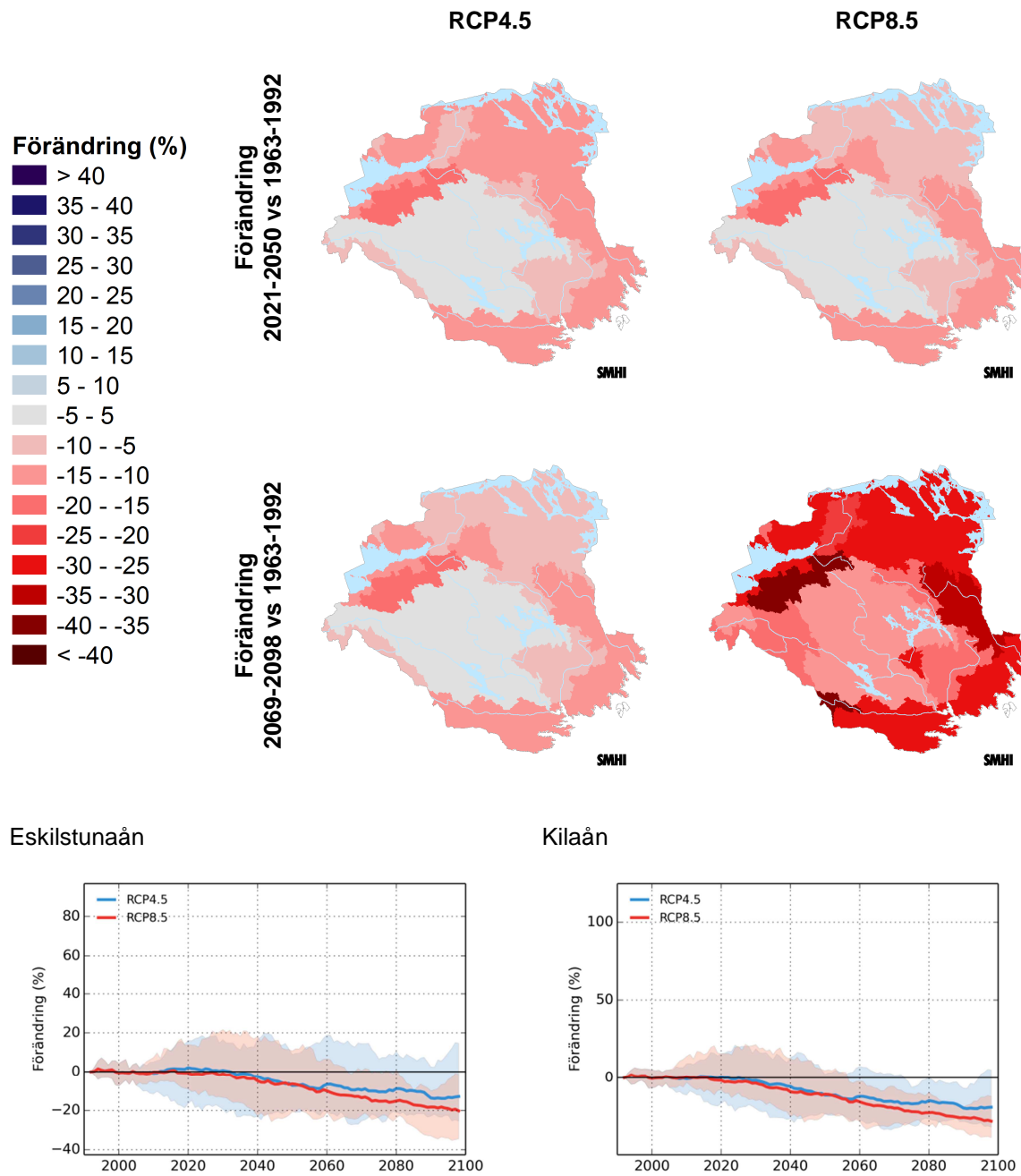
Kartorna visar den procentuella förändringen jämfört med medelvärdet för referensperioden. Indexet avser 30-årsmedelvärden av tillrinning under vintern, här definierad som perioden december-februari.



Den största förändringen av lokala tillrinningen sker liksom för den totala tillrinningen under vinterperioden eftersom nederbördens ökar och vintrarna blir milder. Både för Eskilstunaån och Kilaån följs scenarierna åt till mitten av seklet för att därefter skiljas åt. RCP8.5 visar en ökning med 50 % för Eskilstunaån och ca 65 % för Kilaån. RCP4.5 landar på 35 % för Eskilstunaån och 45 % för Kilaån.

### 7.3 Förändrad lokal medeltillrinning vår

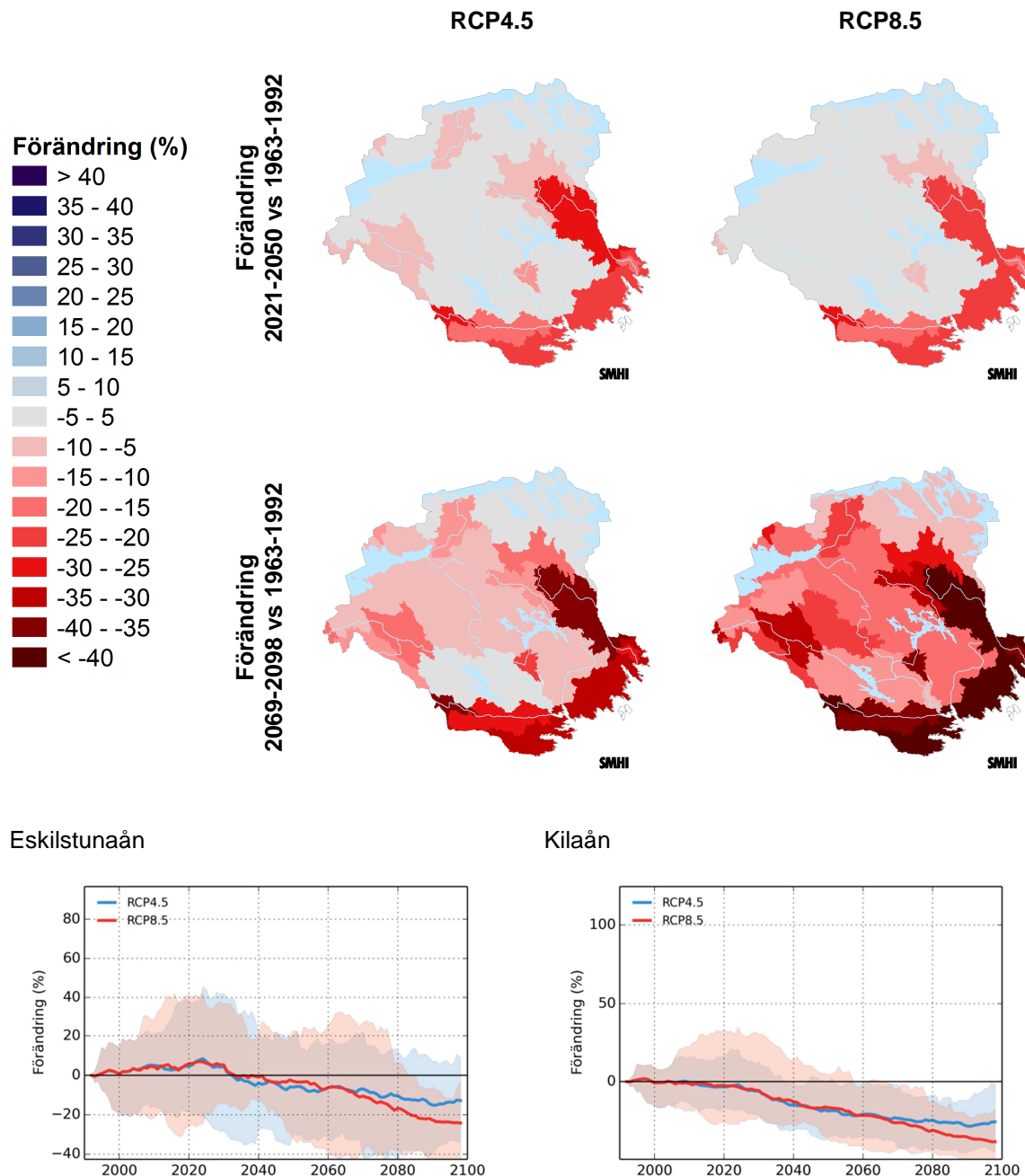
Kartorna visar den procentuella förändringen jämfört med medelvärdet för referensperioden. Indexet avser 30-årsmedelvärden av tillrinning under våren, här definierad som perioden mars-maj.



Kartorna visar att i mitten av seklet väntas minskande tillrinningar förutom i länet inre delar. I slutet av seklet är tillrinningarna ökande, oförändrade och minskande beroende på var i länet man är. Både Eskilstunaån och Kilaån har minskade tillrinningar med 15-30% beroende på scenario och vattendrag.

## 7.4 Förändrad lokal medeltillrinning sommar

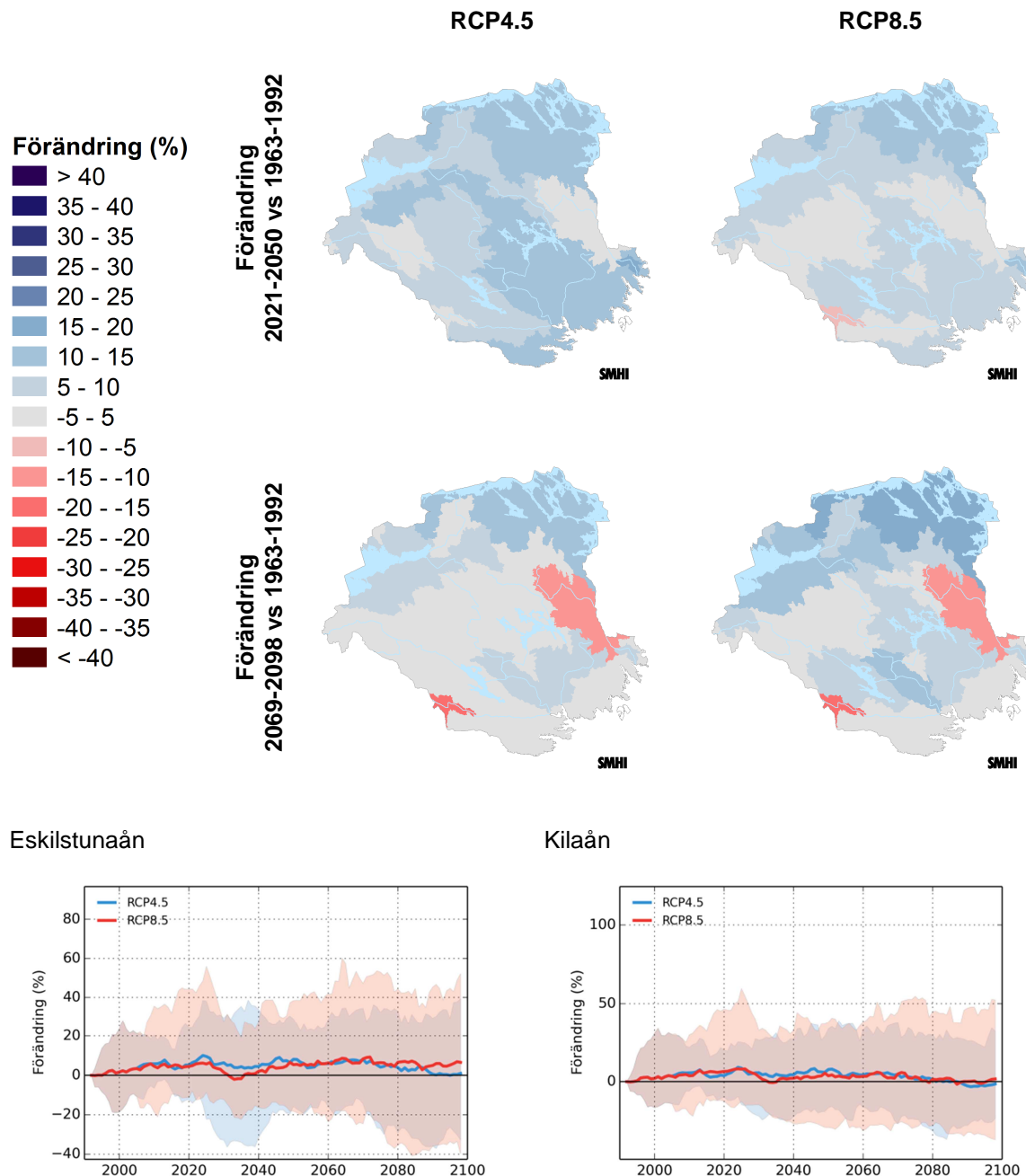
Kartorna visar den procentuella förändringen jämfört med medelvärdet för referensperioden. Indexet avser 30-årsmedelvärden av tillrinning under sommaren, här definierad som perioden juni-augusti.



För sommarperioden visar scenarierna på minskande till oförändrad tillrinning för RCP4.5 och RCP8.5 i mitten av seklet. Tillrinningarna är minskande i slutet av seklet på grund av ökande temperatur och således ökande avdunstning. Eskilstunaån väntas nå 15 % minskning för RCP 4.5 och ca 20 % minskning för RCP8.5 i slutet av seklet. Diagrammet för Kilaån visar på en minskning med ca 25 % för RCP4.5 och en minskning på ca 40% för RCP8.5 i slutet av seklet.

## 7.5 Förändrad lokal medeltillrinning höst

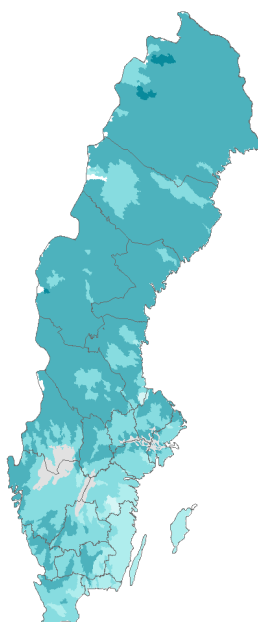
Kartorna visar den procentuella förändringen jämfört med medelvärdet för referensperioden. Indexet avser 30-årsmedelvärden av tillrinning under hösten, här definierad som perioden september-november.



För höstperioden visar kartorna att tillrinningen ökar eller är oförändrad i mitten av seklet. I slutet av seklet är tillrinningen ökande, minskande och oförändrad i olika delar av länet. Eskilstunaån och Kilaån visar svaga förändringstendenser.

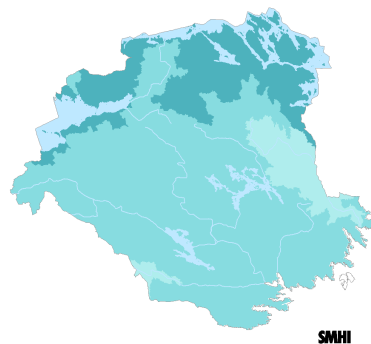
## 7.6 Antal dagar med lågflöde

### Beräknat 1961-1990

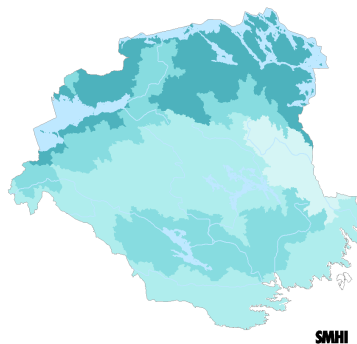


Antal dagar då tillrinningen är lägre än medellågtillrinningen för perioden 1963-1992. Medellågtillrinning beräknas som medelvärdet av varje års lägsta tillrinning under en 30-årsperiod. Indexet är intressant för långtidsplanering av vattentillgångar för dricksvatten och bevattning.

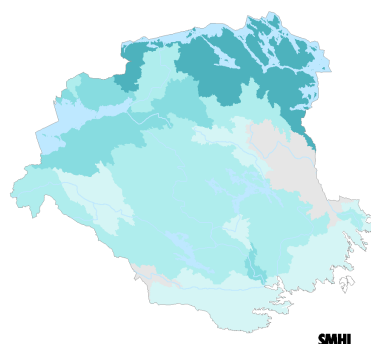
Beräknat 1961-1990



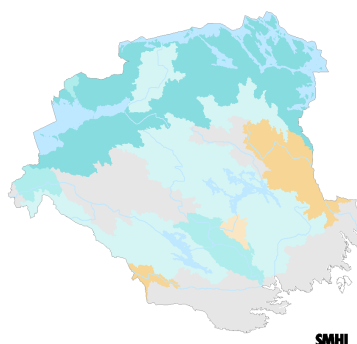
Beräknat 1991-2013



Beräknat 2021-2050



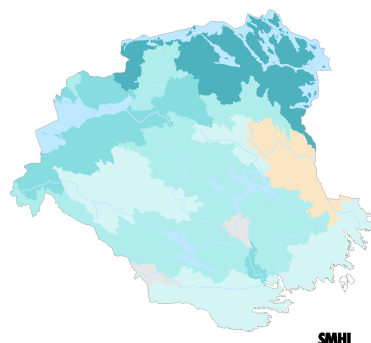
Beräknat 2069-2098



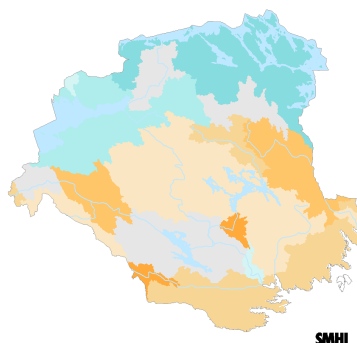
### Antal Dagar

> 100
90 - 100
80 - 90
70 - 80
60 - 70
50 - 60
40 - 50
30 - 40
20 - 30
10 - 20
0 - 10

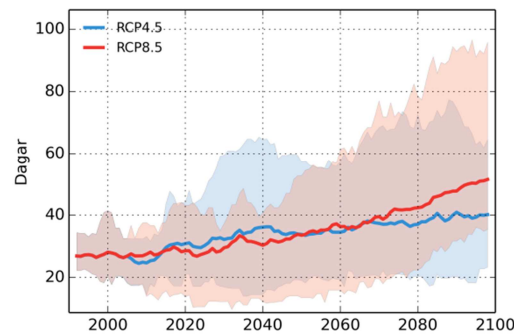
RCP4.5



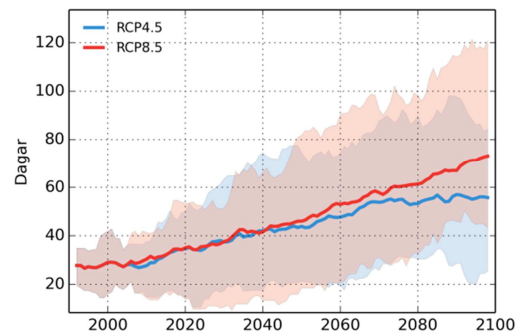
RCP8.5



Eskilstunaån



Kilaån



Antalet dagar då tillrinningen är låg ökar i framtiden. Diagrammen visar att antalet dagar då tillrinningen är låg ökar från ca 30 dagar till 40-55 dagar för Eskilstunaån och 60-75 dagar för Kilaån.

## 8 Tillrinningens årsdynamik

Tillrinningen varierar mellan år och under året beroende på hur nederbörd, temperatur, snötäcke, markfuktighet och avdunstning varierar och samspelar. För vattendragen ses dock vanligen en återkommande dynamik under året. Förändringar i årstidsförloppen kan ha stor betydelse för vattenförsörjning, miljö och biologisk mångfald, översvämningsrisker och vattenkraftsproduktion.

I figurerna visas medelvärden för tillrinningens årsdynamik. Svart linje representerar referensperioden 1963-1992 och de två övriga linjerna representerar framtidsperioden 2069-2098. Blå linje avser medelvärden av beräkningar enligt RCP4.5 och röd linje representerar motsvarande för RCP8.5.

Vattendragen uppvisar i dagens klimat för södra Sverige typiska drag, med hög vinter tillrinning och en relativt lång vegetationsperiod med låga flöden. I de flesta av vattendragen ses en tydlig flödestopp på våren, den s.k. vårfoden.

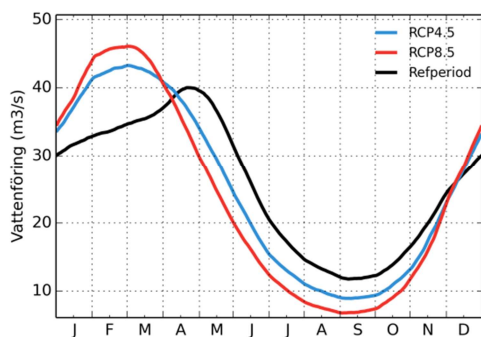
Framtidsscenarierna visar på högre vinterflöden och vårflödestopparna har förvunnit. Det beror på mer nederbörd under vintern och högre temperaturer som medför att nederbörden inte lagras som snö utan rinner av vintertid. Därmed uteblir också vårflödestoppen.

Diagrammen visar även på en längre säsong med lägre flöden vilket kan kopplas till en längre vegetationsperiod. Växterna tar mer vatten och det når då inte vattendragen.

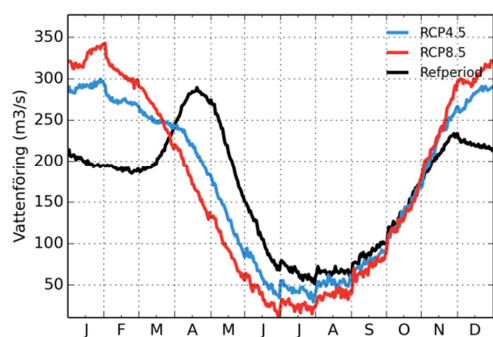
RCP8.5 ger högre vinter tillrinning och lägre sommartillrinning samt längre period med låg tillrinning än vad RCP4.5 ger.

Diagrammen visar medelvärden och därmed framträder de typiska dragen tydligare men variationen mellan år är stor.

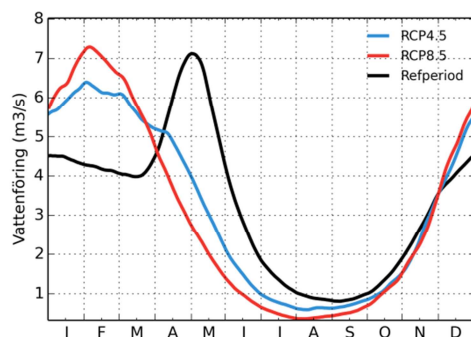
Eskilstunaån



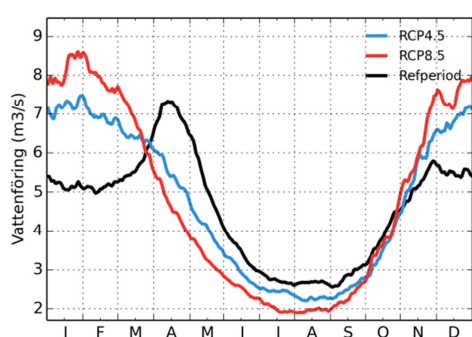
Mälaren vid Stockholm



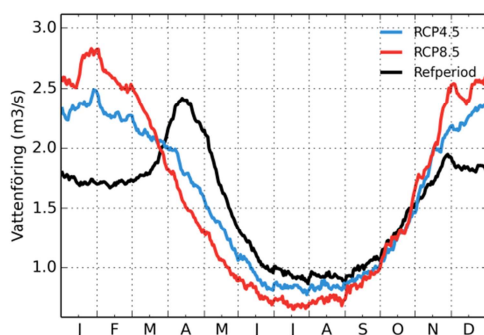
Trosaån



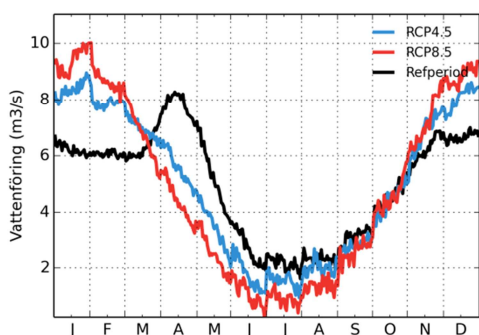
Nyköpingså Kolsnaren



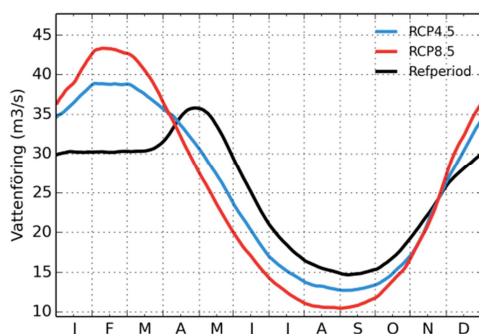
Nyköpingså Varbo



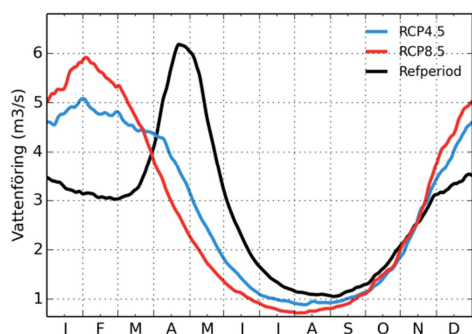
Nyköpingså Båven



Nyköpingså mynning



Kilaån



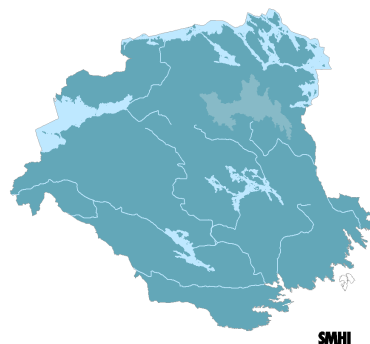
## 9 Markfuktighet

### Beräknat 1961-1990

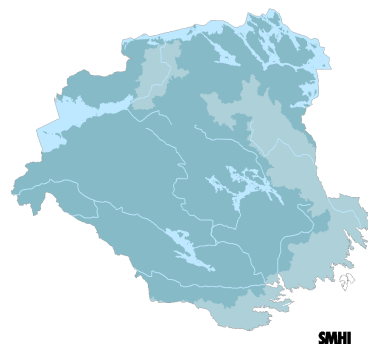


Antal dagar per år med låg markfuktighet. Indexet baseras på referensperiodens medelvärde av varje års längsta markfuktighet. Indexet kan ha intresse för långtidsplanering av bevattningsbehov och grödoval samt skogsbrandriskbedömning och skogsvårdsinsatser.

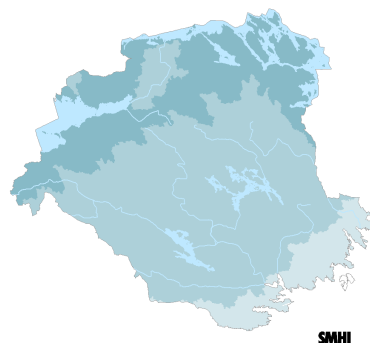
Beräknat 1961-1990



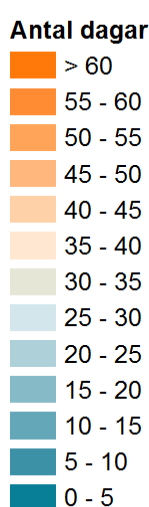
Beräknat 1991-2013



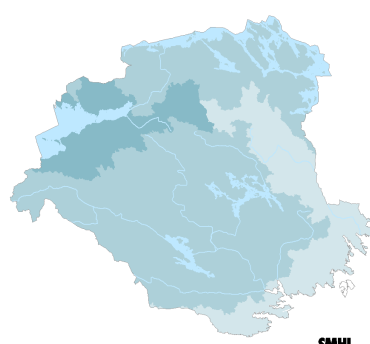
Beräknat 2021-2050



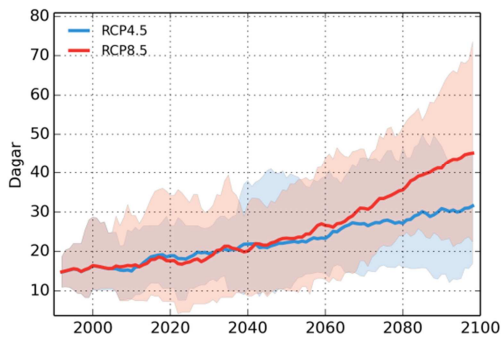
Beräknat 2069-2098



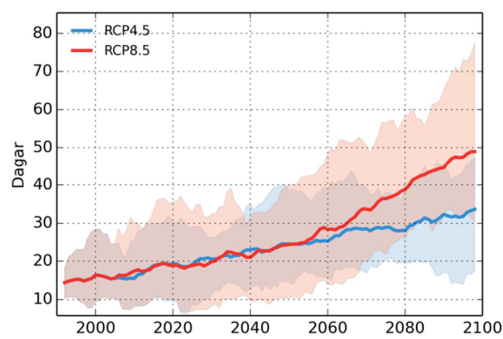
RCP4.5



## Eskilstunaån



## Kilaån



Perioden 1991-2013 har haft fler dagar med låg markfuktighet jämfört med 1961-1990. Denna tendens fortsätter under seklet och de två RCP-scenarierna visar relativt stora skillnader vid seklets slut. För större delen av länet visar RCP4.5 på 20-25 dagar och RCP8.5 på 40-50 dagar i slutet av seklet.

Avrinningsområdet Eskilstunaån har i dagens klimat ca 15 dagar med låg markfuktighet. Antalet dagar ökar långsamt men efter mitten på seklet sker ökningen snabbare. För avrinningsområdet Eskilstunaån förväntas 30-45 dagar och för avrinningsområdet Kilaån 35-50 dagar med låg markfuktighet i slutet av seklet.

## 10 Slutsatser

Hur klimatet i Södermanlands län utvecklas beror på hur den globala användningen av fossila bränslen ser ut i framtiden, dvs. hur mycket mängden växthusgaser ökar i atmosfären. I rapporten har beräkningar med två olika utvecklingsvägar analyserats fram till seklets slut. Scenariot RCP4.5 beskriver en framtid med kraftfull klimatpolitik och stora utsläppsminskningar, men för scenariot RCP8.5 fortsätter utsläppen att öka.

Årsmedeltemperaturen i Södermanlands län ligger idag på ca 6°C. Analyserna av framtida klimat visar en gradvis uppvärmning. I mitten på seklet visar RCP-scenarierna en uppvärmning på 2-3 grader jämfört med perioden 1961-1990. I slutet av seklet visar RCP4.5 en uppvärmning på ca 3 grader medan RCP8.5 hamnar på ca 5 graders uppvärmning. Fortsatta utsläppsökningar innebär alltså för Södermanlands län ett varmare temperaturklimat än vad Skåne har idag. Störst uppvärmning väntas ske under vintern, med upp mot 6 grader enligt RCP8.5.

I och med uppvärmningen ökar **vegetationsperiodens** längd, för RCP4.5 med ungefär två månader och för RCP8.5 drygt 3 månader. **Värmeböljorna** förväntas också öka då antalet varma dagar blir fler. RCP8.5 visar ett årsmedeldvärdet på drygt 20 dagar i följd med dygnsmedeltemperaturer på över 20°C i slutet av seklet. Behovet av uppvärmning minskar mer än vad behovet av kylling ökar.

En varmare atmosfär innebär högre avdunstning och snabbare cirkulation vilket ger mer nederbörd. Analyserna av **årsmedelnederbörd** bekräftar större regnmängder i det framtida klimatet. Årsmedelnederbörden beräknas öka med ca 15 % för RCP4.5 och upp mot 25 % för RCP8.5. Nederbörden ökar mest under vinter och vår, upp till 30 %. Den kraftiga nederbörden ökar också, **maximal dygnsnederbörd** kan öka med 20-30 % och **1-timmesnederbörd** upp till 35 %.

För länet beräknas en ökning av den totala **årsmedeltillrinningen** för Nyköpingsån Kolsnaren och Varbo med ca 5 % i slutet av seklet. Av diagrammen framgår att Mälaren, Nyköpingsån Båven samt mynning och Kilaån uppvisar oförändrade förhållanden i slutet av seklet. Eskilstunaån och Trosaån uppvisar en svag minskning med 5-10 % beroende på scenario. Den största förändringen av totala tillrinningen sker för vinterperioden eftersom nederbörden ökar och vintrarna blir milder. Ökningen är störst för Mälaren och Kilaån. Där visar RCP 8.5 på en ökning med ca 60 % och RCP4.5 på en ökning med ca 40 % i slutet av seklet. Under vår och sommar väntas minskad total tillrinning i de flesta av de analyserade vattendragen. Höstperioden väntas ha minskade totala tillrinningar för Eskilstunaån, Trosaån och Nyköpingsåns mynning.

För tillrinning med **återkomsttid** 10 år är de beräknade framtida förhållandena i länet lite blandade. Mot slutet av seklet ökar 10-års tillrinning enligt RCP8.5 förutom i de sydliga delarna där den minskar. RCP4.5 visar liknande förhållanden.

Vattendragen har under referensperioden haft tydliga **årstidsförlopp**, med vårflödestopp. Framtidsscenarierna visar på högre vinterflöden och vårflödestopparna har förvunnit. Antalet dagar då tillrinningen är låg väntas öka. Störst är ökningen för Kilaån som ökar från 15 dagar till 40-50 dagar beroende på scenario.

Beskrivningen baseras på medelförhållandet men det är viktigt att komma ihåg att variationen mellan år kan vara stor, även i ett framtida klimat.

## 11 Tackord

Förutom rapportförfattarna har även Kristoffer Hallberg, Joel Dahné och Johan Andréasson bidragit till rapporten. Tack också till alla som deltog i arbetet med nedskalning av RCP-scenarierna.

## 12 Referenser

- Eklund A., Axén-Mårtensson J., Bergström S., Björck E., Dahné J., Lindström L., Nordborg D., Olsson J., Simonsson L. och Sjökvist E. 2015. Sveriges framtida klimat. Underlag till Dricksvattenutredningen. SMHI Klimatologi Nr 14.  
<http://www.smhi.se/publikationer/publikationer/sveriges-framtida-klimat-underlag-till-dricksvattenutredningen-1.89524>
- ICONICS, 2013. Nakićenović N., Lempert R., and Janetos A (eds.). A Special Issue of Climatic Change journal on the Framework for the Development of New Socioeconomic Scenarios for Climate Change Research. <https://www2.cgd.ucar.edu/research/iconics/publications/ssps>
- IPCC 2001. Climate Change 2001: The Scientific Basis. Contribution of Working Group I to the Third Assessment Report of the Intergovernmental Panel on Climate Change. [Houghton, J.T., Ding, Y., Griggs, D.J., Nouger, M., van der Linden, P.J. Dai, X., Maskel, K. and Johnsen, C.A. (eds.)]. Cambridge University Press, Cambridge, United Kingdom and New York, NY, USA, 881 pp. [http://www.grida.no/publications/other/ipcc\\_tar/](http://www.grida.no/publications/other/ipcc_tar/)
- IPCC 2007. Climate Change 2007: The Physical Science Basis. Contribution of Working Group I to the Fourth Assessment Report of the Intergovernmental Panel on Climate Change. [Solomon, S., D. Qin, M. Manning, Z. Chen, M. Marquis, K.B. Averyt, M. Tignor and H.L. Miller (eds.)]. Cambridge University Press, Cambridge, United Kingdom and New York, NY, USA, 996 pp. [http://www.ipcc.ch/publications\\_and\\_data/ar4/wg1/en/contents.html](http://www.ipcc.ch/publications_and_data/ar4/wg1/en/contents.html)
- IPCC 2013. Climate Change 2013: The Physical Science Basis. Contribution of Working Group I to the Fifth Assessment Report of the Intergovernmental Panel on Climate Change [Stocker, T.F., D. Qin, G.-K. Plattner, M. Tignor, S.K. Allen, J. Boschung, A. Nauels, Y. Xia, V. Bex and P.M. Midgley(eds.)]. Cambridge University Press, Cambridge, United Kingdom and New York, NY, USA, 1535 pp. <http://www.ipcc.ch/report/ar5/wg1/>
- Länsstyrelsen Södermanlands län 2012. Riskbild Södermanland. Översiktlig regional klimat- och sårbarhetsanalys – naturolyckor. Rapport 2012:6.
- Nakićenović N., and R. Swart (eds.) 2000. Special Report on Emissions Scenarios. A Special Report of Working Group III of the Intergovernmental Panel on Climate Change. Cambridge University Press, Cambridge, United Kingdom and New York, NY, USA, 599 pp. <https://www.ipcc.ch/pdf/special-reports/spm/sres-en.pdf>
- Persson G., Strandberg G. och Berg P. 2015. Vägledning för användande av klimatscenarier. SMHI Klimatologi Nr 11. <http://www.smhi.se/klimatdata/framtidens-klimat/vagledning-klimatscenarier>
- Sjökvist E., Axén Mårtensson J., Dahné J., Köplin N., Björck E., Nylén L., Berglöv G., Tengdelius Brunell J., Nordborg D., Hallberg K., Södling J. och Berggreen-Clausen S. 2015. Klimatscenarier för Sverige – Bearbetning av RCP-scenarier för meteorologiska och hydrologiska effektstudier. SMHI Klimatologi Nr 15. <http://www.smhi.se/publikationer/publikationer/klimatscenarier-for-sverige-bearbetning-av-rcp-scenarier-for-meteorologiska-och-hydrologiska-effektstudier-1.87248>

## **SMHIs publiceringar**

SMHI ger ut sju rapportserier. Tre av dessa, R-serierna är avsedda för internationell publik och skrivs därför oftast på engelska. I de övriga serierna används det svenska språket.

### **Seriernas namn**

<b>Seriernas namn</b>	<b>Publiceras sedan</b>
RMK (Report Meteorology and Climatology)	1974
RH (Report Hydrology)	1990
RO (Report Oceanography)	1986
METEOROLOGI	1985
HYDROLOGI	1985
OCEANOGRAFI	1985
KLIMATOLOGI	2009

### **I serien KLIMATOLOGI har tidigare utgivits:**

- 1 Lotta Andersson, Julie Wilk, Phil Graham, Michele Warburton (University KwaZulu Natal) (2009)  
Local Assessment of Vulnerability to Climate Change Impacts on Water Resources in the Upper Thukela River Basin, South Africa – Recommendations for Adaptation
- 2 Gunn Persson, Markku Rummukainen (2010)  
Klimatförändringarnas effekter på svenska miljömålsarbete
- 3 Jonas Olsson, Joel Dahné, Jonas German, Bo Westergren, Mathias von Scherling, Lena Kjellson, Fredrik Ohls, Alf Olsson (2010)  
En studie av framtida flödesbelastning på Stockholms huvudavloppssystem
- 4 Markku Rummukainen, Daniel J. A. Johansson, Christian Azar, Joakim Langner, Ralf Döscher, Henrik Smith (2011)  
Uppdatering av den vetenskapliga grunden för klimatarbetet. En översyn av natur-vetenskapliga aspekter
- 5 Sten Bergström (2012)  
Framtidens havsnivåer i ett hundraårsperspektiv – kunskaps sammanställning 2012
- 6 Jonas Olsson och Kean Foster (2013)  
Extrem korttidsnederbörd i klimatprojektioner för Sverige
- 7 FNs klimatpanel – Sammanfattningsrapport för beslutsfattare. Effekter, anpassning och sårbarhet. Bidrag från arbetsgrupp 2 (WG 2) till den femte utvärderingen (AR 5) från Intergovernmental Panel on Climate Change, IPCC (2014)
- 8 Att begränsa klimatförändringar (2014)  
(Ej publicerad)
- 9 Erik Kjellström SMHI. Reino Abrahamsson, Pelle Boberg. Eva Jernbäcker Naturvårdsverket. Marie Karlberg, Julien Morel Energimyndigheten och Åsa Sjöström SMHI (2014)  
Uppdatering av det klimatvetenskapliga kunskapsläget
10. Risker och konsekvenser för samhället av förändrat klimat – en kunskapsöversikt (2014)
11. Gunn Persson (2015)  
Vägledning för användande av klimatscenarier
12. Lotta Andersson, Anna Bohman, Lisa van Well, Anna Jonsson, Gunn Persson och Johanna Farelius (2015)  
Underlag till kontrollstation 2015 för anpassning till ett förändrat klimat

13. Gunn Persson (2015)  
Sveriges klimat 1860-2014. Underlag till Dricksvattenutredningen.
14. Anna Eklund (2015)  
Sveriges framtida klimat. Underlag till Dricksvattensutredningen.
15. Elin Sjökvist, Jenny Axén Mårtensson, Joel Dahné, Nina Köplin, Emil Björck, Linda Nylén, Gitte Berglöv, Johanna Tengdelius Brunell, Daniel Nordborg, Kristoffer Hallberg, Johan Södling, Steve Berggreen-Clausen (2015)  
Klimatscenarier för Sverige - Bearbetning av RCP-scenarier för meteorologiska och hydrologiska effektstudier
16. Elin Sjökvist, Gunn Persson, Jenny Axén Mårtensson, Magnus Asp, Steve Berggreen-Clausen, Gitte Berglöv, Emil Björck, Linda Nylén, Alexandra Ohlsson och Håkan Persson (2015)  
Framtidsklimat i Dalarnas län – enligt RCP-scenarier.
17. Linda Nylén, Magnus Asp, Steve Berggreen-Clausen, Gitte Berglöv, Emil Björck, Jenny Axén Mårtensson, Alexandra Ohlsson, Håkan Persson, Elin Sjökvist (2015)  
Framtidsklimat i Värmlands län – enligt RCP-scenarier.
18. Gunn Persson, Magnus Asp, Steve Berggreen-Clausen, Gitte Berglöv, Emil Björck, Jenny Axén Mårtensson, Linda Nylén, Alexandra Ohlsson, Håkan Persson, Elin Sjökvist (2015)  
Framtidsklimat i Örebro län – enligt RCP-scenarier.
19. Alexandra Ohlsson, Magnus Asp, Steve Berggreen-Clausen, Gitte Berglöv, Emil Björck, Anna Johnell, Jenny Axén Mårtensson, Linda Nylén, Håkan Persson, Elin Sjökvist (2015)  
Framtidsklimat i Västmanlands län – enligt RCP-scenarier.
20. Elin Sjökvist, Magnus Asp, Steve Berggreen-Clausen, Gitte Berglöv, Emil Björck, Anna Johnell, Jenny Axén Mårtensson, Linda Nylén, Alexandra Ohlsson, Håkan Persson (2015)  
Framtidsklimat i Uppsala län – enligt RCP-scenarier.
21. Magnus Asp, Steve Berggreen-Clausen, Gitte Berglöv, Emil Björck, Anna Johnell, Jenny Axén Mårtensson, Linda Nylén, Alexandra Ohlsson, Håkan Persson, Elin Sjökvist (2015)  
Framtidsklimat i Stockholms län – enligt RCP-scenarier.





Sveriges meteorologiska och hydrologiska institut  
601 76 NORRKÖPING  
Tel 011-495 80 00 Fax 011-495 80 01

ISSN 1654-2258